



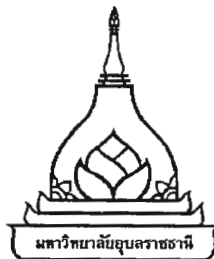
การแยกขนาดโมเลกุลของสารอินทรีย์ธรรมชาติโดยการกรอง
แบบอันตราไฟลเตอร์ชั้น

ไชยคณ์ ใจเอ็นดู

การค้นคว้าอิสระนี้เป็นส่วนหนึ่งของการศึกษาตามหลักสูตรปริญญาวิศวกรรมศาสตรมหาบัณฑิต^๑
สาขาวิชาวิศวกรรมสิ่งแวดล้อม คณะวิศวกรรมศาสตร์^๒
มหาวิทยาลัยอุบลราชธานี^๓

พ.ศ. 2548

ลิขสิทธิ์เป็นของมหาวิทยาลัยอุบลราชธานี^๔



**MOLECULAR WEIGHT FRACTIONATION OF NATURAL ORGANIC
MATTER BY ULTRAFILTRATION**

CHAIYAKOM JIENDOO

**AN INDEPENDENT STUDY SUBMITTED IN PARTIAL FULFILLMENT OF
THE REQUIREMENTS FOR THE DEGREE OF MASTER OF ENGINEERING
MAJOR IN ENVIRONMENTAL ENGINEERING**

**FACULTY OF ENGINEERING
UBON RAJATHANE UNIVERSITY**

YEAR 2005

COPYRIGHT OF UBON RAJATHANE UNIVERSITY



ใบรับรองการค้นคว้าอิสระ^๑
มหาวิทยาลัยอุบลราชธานี
วิศวกรรมศาสตร์
สาขาวิชาชีวกรรมสิ่งแวดล้อม คณะวิศวกรรมศาสตร์

เรื่อง การแยกขนาดโน้มเลกุลของสารอินทรีย์ธรรมชาติโดยการกรองแบบอัลตราไฟลเตอร์ชั้น

ผู้วิจัย นายไชยคณ์ ใจเอ็นดู

ได้พิจารณาเห็นชอบโดยคณะกรรมการสอบการค้นคว้าอิสระ

(ผู้ช่วยศาสตราจารย์ ดร.สุพัฒน์พงษ์ มัตราช)

(ดร.ชลอ จาตุสทธิรักษ์)

(ผู้ช่วยศาสตราจารย์ ดร.ไพรัตน์ แก้วสาร)

(รองศาสตราจารย์ ดร.สถาพร โภคภา)

มหาวิทยาลัยอุบลราชธานีรับรองแล้ว

(ศาสตราจารย์ ดร.ประกอบ วิโรจนกุญ)

อธิการบดีมหาวิทยาลัยอุบลราชธานี

ปีการศึกษา 2548

กิตติกรรมประกาศ

วิทยานิพนธ์ฉบับนี้สำเร็จลุล่วงไปได้ด้วยดี เนื่องจากผู้จัดทำได้รับความช่วยเหลือจากบุคคลผู้มีพระคุณหลายท่าน ดังนี้

พศ.คร. สุพัฒน์ พงษ์ มัตรชา อาจารย์ประจำภาควิชาวิศวกรรมเคมี คณะวิศวกรรมศาสตร์ มหาวิทยาลัยอุบลราชธานี ที่ได้ให้คำแนะนำ ข้อเสนอแนะ และคุ้มครองในระหว่างทำการทดลองที่มหาวิทยาลัยอุบลราชธานี และอบรมสั่งสอนทั้งด้านจริยธรรมและคุณธรรมเพื่อให้อยู่ได้ในสังคมอย่างมีความสุข

พศ.คร. ไพรัตน์ แก้วสาร หัวหน้าภาควิชาวิศวกรรมเคมี คณะวิศวกรรมศาสตร์ มหาวิทยาลัยอุบลราชธานี ที่ได้ให้คำแนะนำ ข้อเสนอแนะ และข้อคิดต่างๆ ในการนำไปใช้ในการดำเนินชีวิตเพื่อความก้าวหน้าของตนเองต่อไปในอนาคต

ดร. ชลอ จากรุสุทธิรักษ์ อาจารย์ประจำภาควิชาเคมี คณะวิทยาศาสตร์ สถาบันเทคโนโลยีพระจอมเกล้าเจ้าคุณทหารลาดกระบัง ที่ได้ให้คำแนะนำ ให้คำปรึกษา และช่วยแนะนำแนวทางการแก้ปัญหา รวมทั้งตรวจแก้วิทยานิพนธ์ฉบับนี้ให้สมบูรณ์ยิ่งขึ้น

อาจารย์สุมนา สริพัฒนาภูทที่แนะนำในการศึกษาต่อต่อจากให้คำปรึกษาแก้ไขปัญหา และอุปสรรคต่างๆ ที่เข้ามาให้สำเร็จผ่านไปได้ด้วยดี

เจ้าหน้าที่ประจำห้องปฏิบัติการเคมี คณะวิศวกรรมศาสตร์ มหาวิทยาลัยอุบลราชธานี ที่ให้ความช่วยเหลือในระหว่างทำการทดลอง และวิเคราะห์ตัวอย่างอยู่ที่มหาวิทยาลัยอุบลราชธานี บิดามารดา และบุคคลในครอบครัว รวมทั้งเพื่อนๆ และน้องๆ ที่เคยให้ความช่วยเหลือในเรื่องต่างๆ และเป็นกำลังใจให้สามารถทำวิทยานิพนธ์ฉบับนี้ให้สำเร็จไปได้ด้วยดี

นอกจากรายนามที่ได้กล่าวมาแล้ว ผู้จัดทำขอขอบพระคุณทุกท่านที่ทำให้วิทยานิพนธ์ฉบับนี้สำเร็จลุล่วงไปได้ด้วยดี



(ไซค์มนัส ใจอิ่นดุ)

ผู้วิจัย

บทคัดย่อ

ชื่อเรื่อง : การแยกขนาดโน้มเลกุลของสารอินทรีย์ธรรมชาติโดยการกรองแบบอัลตราฟิลเตอร์ชัน

โดย : ไชยคมน์ ใจเอ็นดู

ชื่อปริญญา : วิศวกรรมศาสตรมหาบัณฑิต

สาขาวิชา : วิศวกรรมสิ่งแวดล้อม

ประธานกรรมการที่ปรึกษา : ผศ. ดร. ศุภัฒน์ พงษ์ มัตรชา

คำที่สำคัญ : ขนาดโน้มเลกุล การกำจัดสารอินทรีย์ธรรมชาติ ค่าฟลักซ์ของเพอร์มีเอท การกรองแบบอัลตรา

ขนาดโน้มเลกุลของสารอินทรีย์ธรรมชาติ ที่พบอยู่ในการผลิตน้ำประปา มีผลต่อการเกิดสารประกอบอินทรีย์อันตรายต่างๆ เช่น กลุ่มไตราโนมีเทนและกลุ่มชาโลอะซิติก ในระหว่างกระบวนการฆ่าเชื้อโรค ซึ่งขนาดโน้มเลกุลของสารอินทรีย์ธรรมชาติเป็นปัจจัยสำคัญในการเกิดสารประกอบอินทรีย์อันตรายต่างๆ ในการผลิตน้ำประปา

วัตถุประสงค์ของงานวิจัยนี้เพื่อศึกษาถึงการแยกขนาดโน้มเลกุลของสารอินทรีย์ธรรมชาติโดยกระบวนการกรองแบบอัลตราฟิลเตอร์ชันและวิเคราะห์ผลของการกำจัดสารอินทรีย์ธรรมชาติได้แก่ พีเอช และความแรงของประจุของระบบการกรองแบบอัลตราฟิลเตอร์ชัน ในการศึกษาการแยกขนาดโน้มเลกุลของสารอินทรีย์ธรรมชาติ (NOM) โดยการกรองแบบอัลตราฟิลเตอร์ชันพบว่าค่าเบอร์เซ็นต์สารอินทรีย์คาร์บอนมีค่าเท่ากับ 40, 18.2, 10.9, 9, 7.2, 5.6, และ 4.7 เบอร์เซ็นต์ตามช่วงขนาดโน้มเลกุลที่มีค่ามากกว่า 100K, น้อยกว่า 1K, 30K-100K, 10K-30K, 5K-10K, 1K-3K และ 3K-5K ตามลำดับ ช่วงขนาดโน้มเลกุลขนาดมากกว่า 100K ให้ค่าขนาดโน้มเลกุลเฉลี่ยสูงสุดเท่ากับ 17,689 กรัมต่ำโน้มล ขณะที่ขนาดโน้มเลกุลเฉลี่ยของน้ำที่ไม่ผ่านการแยกมีขนาด 4,144 กรัมต่ำโน้มล โดยที่ขนาดโน้มเลกุลของสารอินทรีย์ธรรมชาติจากขนาดเล็กไปขนาดใหญ่ให้ค่า UV/TOC สูงขึ้นมา แสดงถึงค่าความเป็นไฮโดรฟิบิกเพิ่มขึ้นจากการศึกษาครั้งนี้พบว่าการเพิ่มความแรงประจุในสารละลายนี้ผลต่อการลดลงของค่าฟลักซ์และการกำจัดสารอินทรีย์_carbon ขณะที่การเพิ่มค่าพีเอชทำให้ลดค่าการลดลงของฟลักซ์และการกำจัดสารอินทรีย์_carbon ด้วย

ABSTRACT

TITLE : MOLECULAR WEIGHT FRACTIONATION OF NATURAL ORGANIC
MATTER BY ULTRAFILTRATION

BY : CHAIYAKOM JIENDOO

DEGREE : MASTER OF ENGINEERING

MAJOR : ENVIRONMENTAL ENGINEERING

CHAIR : ASST. PROF. DR. SUPATPONG MATTARAJ

KEYWORDS : MOLECULAR WEIGHT / NOM REMOVAL / PERMEATE FLUX /
ULTRAFILTRATION MEMBRAND

Natural organic matter (NOM), which presents in water supply system, plays an important role in producing many hazardous substances such as trihalomethanes and haloacetic acids during chlorination process. NOM molecular weight can be an important factor, which causes disinfection by-products in water supply system.

The purpose of this research is to study molecular weight fractionation of NOM by ultrafiltration (UF) and to evaluate the influence of NOM rejection, pH and ionic strength for hollow-fiber UF system. Experimental results showed that the present of organic carbon had about 40, 18.2, 10.9, 9, 7.2, 5.6 and 4.7% for NOM molecular weight of greater than 100K, less than 1K, 30K-100K, 10K-30K, 5K-10K, 1K-3K and 3K-5K, respectively. NOM molecular weight fraction greater than 100 kDa showed the highest averaged-molecular weight about 17,689 g/mole, while the averaged-molecular weight of unfractionated NOM was about 4,114 g/mole. The increment of molecular weight resulted in higher UV/TOC ratio, possibly higher NOM hydrophobicity. It was observed that increased ionic strength decreased solution flux and total organic carbon (TOC) rejection, while increased solution pH decreased flux decline and TOC rejection.

สารบัญ

หน้า

กิตติกรรมประกาศ	๑
บทคัดย่อภาษาไทย	๒
บทคัดย่อภาษาอังกฤษ	๓
สารบัญ	๔
สารบัญตาราง	๕
สารบัญรูปภาพ	๖

บทที่

๑ บทนำ

๑.๑ ความเป็นมาและความสำคัญของปัจจุหา	๑
๑.๒ วัตถุประสงค์ของงานวิจัย	๒
๑.๓ ขอบเขตของงานวิจัย	๒
๑.๔ สมมติฐานของการวิจัย	๒
๑.๕ ขั้นตอนของการทำงานวิจัย	๓
๑.๖ ประโยชน์ที่คาดว่าจะได้รับ	๓

๒ ทฤษฎีและงานวิจัยที่เกี่ยวข้อง

๒.๑ ทฤษฎีที่เกี่ยวข้อง	๔
๒.๒ กระบวนการเมมเบรน	๑๒
๒.๓ กระบวนการอัลตราฟิลเตอร์ชั้น (UF)	๑๔
๒.๔ ผลงานวิจัยที่เกี่ยวข้อง	๒๓

๓ วิธีดำเนินงานวิจัย

๓.๑ สารเคมีที่ใช้ในการทดลอง	๒๕
๓.๒ อุปกรณ์และ เครื่องมือ	๒๕
๓.๓ ขั้นตอนการดำเนินงานวิจัย	๓๓
๓.๔ ตัวอย่างน้ำและการเพิ่มความเข้มข้นของสารอินทรีย์ทางธรรมชาติ	๓๔
๓.๕ การแยกน้ำดิบจากน้ำเสียและการนำไปใช้เชิงคุณภาพสารอินทรีย์	๓๖

ธรรมชาติ

สารบัญ (ต่อ)

หน้า

3.6 การศึกษาการทำงานระบบเยื่อกรองแบบอัลตราฟิลเตอร์ชัน	37
3.7 การศึกษาปัจจัยที่มีผลต่อการอุดตันของเยื่อกรองแบบอัลตรา	40
3.8 การวิเคราะห์ตัวอย่าง	41
4 ผลการทดลอง	
4.1 คุณลักษณะของน้ำตัวอย่าง	43
4.2 การศึกษาสมดุลมวลของสารอินทรีย์ธรรมชาติ	44
4.3 ขนาดโมเลกุลของสารอินทรีย์ธรรมชาติ	47
4.4 การเปรียบเทียบขนาดโมเลกุลของสารอินทรีย์ธรรมชาติโดยเครื่อง อัลตราฟิลเตอร์ชันและเครื่อง HPLC	50
4.5 ผลการศึกษาปัจจัยต่างๆ ที่มีอิทธิพลต่อกำลังฟลักซ์และ ความสามารถในการกำจัดสารอินทรีย์ทางธรรมชาติ	57
5 สรุปการวิจัยและข้อเสนอแนะ	
5.1 สรุปผลการวิจัย	62
5.2 ข้อเสนอแนะ	63
เอกสารอ้างอิง	65
ภาคผนวก	69
ก ตารางแสดงผลฟลักซ์	70
ข ตารางแสดงความสามารถในการกำจัดสารอินทรีย์ของเยื่อกรองแบบอัลตรา	75
ค ตารางแสดงการดำเนินระบบแบบอัลตรา	78
ง วิธีการเตรียมสารละลายและตัวอย่างการคำนวณ	85
ประวัติผู้วิจัย	89

สารบัญตาราง

หน้า

ตารางที่

2.1	การกำจัดสารที่ทำให้เกิด THMs โดยใช้อิโโซน	8
2.2	ข้อดีและข้อเสียของการกำจัด NOM โดยกระบวนการต่างๆ	9
2.3	คุณภาพของน้ำดิบที่สามารถใช้ผลิตน้ำประปา	11
2.4	เปรียบเทียบกระบวนการเมมเบรนชนิดต่างๆ	13
2.5	เปรียบเทียบข้อดีของไมโครแล็ชันด	18
2.6	เมมเบรน UF ที่มีขายตามท้องตลาด	21
3.1	แสดงเยื่อกรองอัลตราฟิลเตอร์ชั้นแบบ hollow fiber cartridge	31
3.2	ค่าสัมประสิทธิ์การซึมผ่าน	32
3.3	ตารางสรุปการศึกษาปัจจัยที่มีผลต่อการอุดตันของเยื่อกรองแบบอัลตรา	37
3.4	คุณสมบัติของเยื่อกรองแบบอัลตราของ A/G Technology Corporation	38
3.5	ตารางสรุปการศึกษาปัจจัยที่มีผลต่อการอุดตันของเยื่อกรองแบบอัลตราฟิลเตอร์ชั้น	41
3.6	พารามิเตอร์ที่ศึกษาและเครื่องมือที่ใช้ในการวิเคราะห์ตัวอย่างน้ำ	42
4.1	คุณลักษณะทางกายภาพและทางเคมีของแหล่งน้ำ	43
4.2	ตารางเปอร์เซ็นต์มวลสารอินทรีย์ในช่วงขนาดไมโครคลต่างๆ และเปอร์เซ็นต์การสูญเสีย	44
4.3	ขนาดไมโครคลน้ำดีและค่าการกระจายตัวของสารอินทรีย์ธรรมชาติ	47
4.4	ตารางเปรียบเทียบระหว่างค่าyuvi และทีโอดีของช่วงไมโครคลขนาดต่างๆ	49

สารบัญรูปภาพ

หน้า

ภาพที่

2.1	การเปรียบเทียบการกรองแบบไหหล่อและไหเหลว	16
2.2	โมดูลของเมมเบรน 4 ชนิด	20
3.1	ความถ้วนพันธ์ระหว่างค่าการคูณกลืนແສงและความเข้มข้นของอินทรีเยิร์คาร์บอน	27
3.2	กราฟมาตราฐานของการวิเคราะห์ขนาดโมเลกุลด้วยเครื่อง HPLC	28
3.3	กราฟมาตราฐานเปรียบเทียบระหว่างค่าความแรงประจุกับค่าการนำไฟฟ้า	29
3.4	แผนภาพแสดงการทำงานของระบบเยื่อกรองแบบօอส莫ซิสผันกลับ	31
3.5	คุณสมบัติการซึมผ่านของแผ่นเมมเบรน	32
3.6	แผนภาพแสดงการทำงานของระบบเยื่อกรองแบบอัลตราฟิลเตอร์ชั้น	33
3.7	แผนภาพขั้นตอนการดำเนินงานวิจัย	34
3.8	ภาพแสดงระบบเยื่อกรองแบบօอส莫ซิสผันกลับ	36
3.9	ภาพระบบเยื่อกรองแบบอัลตราฟิลเตอร์ชั้น	40
4.1	ร้อยละของมวลสารอินทรีเยิร์คาร์บอน	45
4.2	ร้อยละของการสูญเสียมวลสารอินทรีเยิร์คาร์บอน	46
4.3	น้ำหนักโมเลกุลเฉลี่ยของแต่ละช่วงขนาดโมเลกุลต่างๆ	48
4.4	ค่าอัตราส่วนระหว่าง UV/TOC ในแต่ละช่วงขนาดโมเลกุลต่างๆ	49
4.5	กราฟแสดงการเปรียบเทียบขนาดโมเลกุลของสารอินทรีเยิร์คาร์บอนกับช่วงขนาดน้อยกว่า 1K	50
4.6	กราฟแสดงการเปรียบเทียบขนาดโมเลกุลของสารอินทรีเยิร์คาร์บอนกับช่วงขนาด 1K – 3K	51
4.7	กราฟแสดงการเปรียบเทียบขนาดโมเลกุลของสารอินทรีเยิร์คาร์บอนกับช่วงขนาด 3K – 5K	52
4.8	กราฟแสดงการเปรียบเทียบขนาดโมเลกุลของสารอินทรีเยิร์คาร์บอนกับช่วงขนาด 5K – 10K	53
4.9	กราฟแสดงการเปรียบเทียบขนาดโมเลกุลของสารอินทรีเยิร์คาร์บอนกับช่วงขนาด 10K – 30K	54

สารบัญรูปภาพ (ต่อ)

หน้า

ภาพที่

4.10 กราฟแสดงการเปรียบเทียบขนาดโมเลกุลของสารอินทรีชีรรมชาติของนำ้ดิน กับช่วงขนาด 30K – 100K	55
4.11 กราฟแสดงการเปรียบเทียบขนาดโมเลกุลของสารอินทรีชีรรมชาติของนำ้ดิน กับช่วงขนาดมากกว่า 100K	56
4.12 ผลของความแรงประจุที่มีต่อการลดลงของฟลักซ์	57
4.13 การเปรียบเทียบประสิทธิภาพการกำจัดสารอินทรีของเมมเบรนอัลตราฟิลเตอร์ชั้นขนาด 1K ที่มีความแรงประจุ 0.01 กับความแรงประจุ 0.05	58
4.14 การเปรียบเทียบประสิทธิภาพการกำจัดเกลือของเมมเบรนอัลตราฟิลเตอร์ชั้นขนาด 1K ที่มีความแรงประจุ 0.01 กับความแรงประจุ 0.05	59
4.15 ผลของพีเอชที่มีต่อการลดลงของฟลักซ์	60
4.16 ค่าการกำจัดสารอินทรีชีรรมชาติ pH 4,7 และ 10	60
4.17 ค่าการกำจัดเกลือที่ pH 4,7 และ 10	61

บทที่ 1

บทนำ

1.1 ความเป็นมาและความสำคัญของปัจจุบัน

โดยทั่วไปการผลิตน้ำประปาแบบ conventional water treatment process ซึ่งประกอบด้วยการกำจัดอนุภาค (screening) กระบวนการโคแอกกูเลชัน (coagulation) ฟลอกกูเลชัน (flocculation) การตกรตะกอน (sedimentation) และการฆ่าเชื้อโรคด้วยคลอริน (chlorination) ไม่สามารถที่จะกำจัด NOM (Natural Organic Matter) ออกจากน้ำได้อย่างเพียงพอที่จะสามารถควบคุมไม่ให้เกิดสาร Disinfection by-products (DBPs) ซึ่งเป็นสารก่อมะเร็งและบังทำให้ระบบประปาและการทำงานของตับได้และของมนุษย์กิจกรรมพิคปักติ (ปราภารณ์, 2546)

ซึ่งปัจจุบันได้มีการนำเอากระบวนการเมมเบรนมาใช้ในการกำจัด NOM (Natural Organic Matter) พร้อมๆ กันแล้วมากขึ้น จากงานวิจัยของ Kim และคณะ (2005) ได้นำเอาระบบ UF(Ultrafiltration)-NF(Nanofiltration) มาประยุกต์ใช้ในการกำจัด NOM โดยพบว่ากระบวนการ UF-NF สามารถที่จะใช้ในการกำจัด NOM ได้ดีกว่ากระบวนการผลิตน้ำประปาแบบทั่วไปและกระบวนการอัลตราฟิลเตอร์ชั้นนอกจากจะใช้ในการกำจัด NOM ยังใช้ในการศึกษาคุณลักษณะของ NOM จากงานวิจัยของ Cai (1999) พบว่าระบบอัลตราฟิลเตอร์ชั้นเป็นการดำเนินระบบที่ง่ายและสะดวกในการทำงานและสามารถที่จะทำการแยกสารอินทรีย์ธรรมชาติที่ความเข้มข้นน้อยโดยใช้ปริมาณของสารละลายเยอะ ได้ดี เนื่องจากขนาดโมเลกุลของสารอินทรีย์ธรรมชาติมีผลต่อการเกิดสาร DBPs มากน้อยต่างกัน จากงานวิจัยของ Chang และคณะ (2001) ได้ทำการศึกษาแยกกลุ่มของ NOM ออกเป็น 3 กลุ่ม ซึ่งแต่ละกลุ่มจะมีขนาดที่แตกต่างกัน โดยพบว่ากลุ่ม ไฮโดรฟิลิกที่ไม่ใช่กรด (Non-Acid Hydrophilics) เกิดปฏิกิริยากับคลอรินได้ดีกว่ากลุ่ม ไฮโดรฟิลิกที่สุด ส่วนกลุ่มของไฮโดรฟิลิก (Hydrophilic Substance) และกลุ่มของกรด ไฮโดรฟิลิก (Hydrophilic Acid) มีปริมาณลดหลั่นลงตามลำดับซึ่งผลการทดลองดังกล่าวบ่งชี้ได้ว่าสารอินทรีย์ธรรมชาติที่มีขนาดใหญ่มีอัตราการก่อตัวของสารจากการฆ่าเชื้อโรคเป็นสาร DBPs ของกลุ่ม ไฮโดรฟิลิกที่ไม่ใช่กรดมีปริมาณสูงสุดซึ่งสารกลุ่มนี้มีขนาดโมเลกุลค่อนข้างใหญ่ และจากงานวิจัยของ Gjessing (1966) รายงานผลจากการทดลองโดยใช้ Gel Filtration ถึงน้ำหนักโมเลกุลของกลุ่ม ไฮโดรฟิลิกที่ไม่ใช่กรดมีค่าระหว่างน้อยกว่า 700 ถึงมากกว่า 20,000 ดาลตัน

จากเหตุผลข้างต้นจึงมีความจำเป็นที่จะศึกษาคุณสมบัติของสารอินทรีย์ธรรมชาติและศึกษาประสิทธิภาพการกำจัด NOM โดยกระบวนการอัลตราฟิลเตอร์ชั้นของแหล่งน้ำธรรมชาติที่ใช้

ในการผลิตน้ำประปาในมหาวิทยาลัยอุบลราชธานีเพื่อใช้เป็นข้อมูลในการปรับปรุงคุณภาพน้ำอุบลราชธานีโดยการวิเคราะห์ในมหาวิทยาลัยอุบลราชธานีและประยุกต์ใช้กับแหล่งน้ำธรรมชาติแหล่งอื่น

1.2 วัตถุประสงค์ของงานวิจัย

- 1.2.1 เพื่อศึกษาผลไกในการทำงานของระบบอัลตราไฟว์เตอร์ชันในการแยกน้ำไม่เลกุลของสารอินทรีเย็นธรรมชาติ
- 1.2.2 เพื่อแยกน้ำไม่เลกุลตามปริมาณการรับอนของสารอินทรีเย็นธรรมชาติโดยใช้ระบบอัลตราไฟลเตอร์ชัน
- 1.2.3 เพื่อศึกษาประสิทธิภาพการกำจัดสารอินทรีเย็นธรรมชาติด้วยอัลตราไฟว์เตอร์ชัน เมมเบรน
- 1.2.4 เพื่อทราบขนาดของสารอินทรีเย็นธรรมชาติในแหล่งน้ำที่นำมาทำการศึกษา

1.3 ขอบเขตของงานวิจัย

- 1.3.1 น้ำตัวอย่าง NOM จากหนองอีเจมที่ผ่านกระบวนการแยกสารอินทรีเย็นธรรมชาติโดยระบบออกซิซิสเซ็นกลับ (RO) ถูกนำมาทดสอบกับระบบอัลตราไฟลเตอร์ชันเมมเบรน
- 1.3.2 ขนาดเมมเบรนอัลตราไฟว์เตอร์ชันที่ใช้ในการศึกษาได้แก่ 1,000 3,000 5,000 10,000 30,000 100,000 Da เพื่อศึกษาในการแยกน้ำไม่เลกุลของสารอินทรีเย็นธรรมชาติ
- 1.3.3 ศึกษาประสิทธิภาพของเยื่อกรองโดยศึกษาจาก
 - 1.3.3.1 ค่าฟลักซ์ที่ลดลง (Flux decline)
 - 1.3.3.2 เปอร์เซ็นต์การกำจัด (% Rejection)

1.4 สมมติฐานของการวิจัย

- 1.4.1 อัลตราไฟว์เตอร์ชันสามารถแยกน้ำไม่เลกุลของสารอินทรีเย็นธรรมชาติได้
- 1.4.2 อัลตราไฟว์เตอร์ชันสามารถกำจัดสารอินทรีเย็นธรรมชาติได้ขึ้นกับขนาดไม่เลกุลของเมมเบรน

1.5 ขั้นตอนของการทำงานวิจัย

- 1.5.1 ศึกษาและรวบรวมผลการศึกษาและทฤษฎีที่เกี่ยวข้องกับงานวิจัย
- 1.5.2 จัดซื้อและจัดเตรียมเครื่องมือและสารละลายที่ใช้ในการทดลอง
- 1.5.3 ดำเนินการทดลองและรวบรวมข้อมูลจากการทดลองต่าง ๆ
- 1.5.4 วิเคราะห์และสรุปผลของการทดลองพร้อมทั้งข้อเสนอแนะต่าง ๆ
- 1.5.5 จัดทำรูปเล่ารายงานและนำเสนอวิทยานิพนธ์

1.6 ประโยชน์ที่คาดว่าจะได้รับ

- 1.6.1 สามารถทราบถึงขนาดไม่เลกุดของ NOM ที่ใช้ทดสอบ
- 1.6.2 สามารถเข้าใจถึงกระบวนการดำเนินการกรองแบบอัลตราฟิวเตอร์ชัน
- 1.6.3 สามารถทราบถึงประสิทธิภาพการกำจัดสารอินทรีย์ธรรมชาติโดยอัลตราฟิวเตอร์ชัน
- 1.6.4 สามารถใช้เป็นข้อมูลในกระบวนการปรับปรุงคุณภาพน้ำอุปโภคบริโภคภายในมหาวิทยาลัยอุบลราชธานี
- 1.6.5 สามารถใช้เป็นข้อมูลของสารอินทรีย์ธรรมชาติในแหล่งน้ำผิวดินเพื่อประยุกต์ใช้เปรียบเทียบกับแหล่งน้ำอื่น

บทที่ 2

ทฤษฎีและงานวิจัยที่เกี่ยวข้อง

2.1 ทฤษฎีที่เกี่ยวข้อง

2.1.1 สารอินทรีย์ธรรมชาติ (Natural Organic Matter ; NOM)

2.1.1.1 คุณสมบัติของสารอินทรีย์ธรรมชาติ

สารอินทรีย์ธรรมชาติที่มีอยู่ในแหล่งน้ำธรรมชาติ เกิดจากการย่อยสลายของชากพืชชากสัตว์หรือเกิดจากการเจริญเติบโตและกระบวนการย่อยสลายตัวของจุลชีพต่างๆที่อยู่ในน้ำ NOM เป็นอนุภาคตัวหนึ่งที่ต้องกำจัดออก แหล่งที่มาที่สำคัญของ NOM ในแหล่งน้ำจีดคือสาหร่าย และ Cyanobacteria ซึ่งส่วนใหญ่อยู่ในรูป Aliphatic และปราศจากสารลิกนินโดยสารอินทรีย์จากแหล่งน้ำจะมีองค์ประกอบที่เป็น ฟีโนลิก (Phenolic) และ อารomatic (Aromatic) ในปริมาณที่ต่ำ ตรงข้ามกับสารอินทรีย์ที่เกิดจากดิน ซึ่งโดยมากจะมาจากชากพืชที่อยู่บนบกทำให้มีองค์ประกอบที่เป็นลิกนินในปริมาณที่สูง

ลิกนินมีโครงสร้างหลักเป็นสารอะโรมาติก ทำให้ NOM ที่มีแหล่งกำเนิดในน้ำนอกจากนี้สถานที่ และอายุของดินที่ทำให้เกิด NOM ก็มีอิทธิพลต่อองค์ประกอบของ NOM โดยองค์ประกอบที่สำคัญของ NOM ในน้ำผิวดินที่เกิดจากชากพืชที่ทับทมกัน แล้วถูกชะลงสูญแหล่งน้ำ จะมีองค์ประกอบหลักเป็นกรดฟลวิก ที่มีน้ำหนักโมเลกุลน้อย ซึ่งละลายน้ำได้และไม่ถูกติดโดยดินต่างจาก NOM ที่อยู่ในแหล่งน้ำบาดาลที่มีอายุมากซึ่งมักจะถูกกำจัดโดยการคุกคิด เนื่องจากเวลาสัมผัสถึงที่ยานานกับชั้น Aquifer ดังนั้น NOM ที่ขังละลายอยู่ในน้ำจะเป็นส่วนที่ถูกคุกคิดได้น้อย (Goel และคณะ, 1995 อ้างถึงใน ปฏิรูป, 2544)

NOM ในน้ำอาจจะอยู่ในรูปของอนุภาคคลอloyd's หรือในรูปของสารละลายน้ำ โดยทั่วไปอนุภาคสารอินทรีย์จะถูกกำจัดได้ง่ายโดยกระบวนการโคลอแกลชัน ฟลอกคุลชัน และการตกรตะกอน เมื่อนอกน้ำอนุภาคทั่วไปที่ทำให้เกิดความชุ่นในน้ำ NOM ละลายคือโมเลกุลของสารอินทรีย์ที่สามารถผ่านเมมเบรนที่ขนาด 0.45 ไมครอน ส่วน NOM ที่เป็นคลอloyd's จะแตกต่างจากโมเลกุลของ NOM ตรงที่สามารถกำจัดออกโดยใช้กระบวนการโคลอแกลชันแบบทำให้เป็นประจุเป็นกลาง(Charge Neutralization) (Crozes และคณะ, 1995 อ้างถึงใน ปฏิรูป, 2544)

NOM สามารถแบ่งออกได้เป็น 2 ส่วน คือ ส่วนที่เป็นสารชีวมิค และส่วนที่ไม่ใช่สารชีวมิค NOM ส่วนที่เป็นสารชีวมิคจะมีคุณสมบัติเป็นสาร Hydrophobic โดยประกอบด้วย กรดชีวมิค กรดฟลิก และชีวมิน ส่วน NOM ที่ไม่ใช่สารชีวมิคจะมีคุณสมบัติเป็นสาร Hydrophobic น้อยกว่าสารชีวมิค โดยประกอบด้วย Hydrophilic Acid โปรตีน กรดอะมิโน และคาร์โบไฮเดรต(Owen และคณะ, 1995 อ้างถึงใน ปฎิรูป, 2544) โดยทั่วไป NOM ส่วนที่เป็นสารชีวมิคจะมีประมาณ 45-65% และส่วนที่ไม่ใช่สารชีวมิคจะมีประมาณ 35-55% (Hanra และคณะ, 1996 อ้างถึงใน ปฎิรูป, 2544)

2.1.1.2 ปัญหาจาก NOM ในกระบวนการผลิตน้ำประปา

ในช่วงแรกที่ได้มีการศึกษาวิจัยการกำจัด NOM เกิดจากต้องการกำจัดสีที่เกิดจาก NOM ในแหล่งน้ำที่ใช้ในการผลิตน้ำประปาจึงเกิดงานวิจัยในเรื่องลักษณะคุณสมบัติของ NOM ในน้ำดื่มน้ำที่ช่วงก่อนปี ค.ศ.1970 หลังจากนั้นจึงได้มีการศึกษาถึงปัญหาอื่นๆ ที่เกี่ยวข้องกับ NOM ซึ่งประกอบไปด้วยความต้องการปริมาณสาร โคลาเกลูแลนท์ และสารฆ่าเชื้อ โรคที่มากขึ้นของน้ำที่มี NOM ความสามารถในการกำจัดโลหะและสารอินทรีย์เคลื่อนที่ การทำให้เกิดการกัดกร่อน และการเติบโตขึ้นใหม่ของแบคทีเรียในระบบจ่ายน้ำ โดยเฉพาะอย่างยิ่งเมื่อมีการใช้สารออกซิเดนท์ระหว่างกระบวนการบำบัด การทำให้เกิดกลิ่น และรสในน้ำ แนวโน้มในการเป็นตัวขัดขวางการกำจัดสารปนเปื้อนอื่นๆในน้ำ และการเป็นสารที่ก่อให้เกิดสาร Disinfection By-product (DBPs) ซึ่งเป็นปัญหาที่สำคัญมากในปัจจุบัน

เมื่อพิจารณาถึงคุณสมบัติทางเคมี และกระบวนการที่ใช้ในการผลิตน้ำประปา NOM ส่วนที่เป็นสารชีวมิคจะมีบทบาทสำคัญมากต่อปัญหาที่จะเกิดขึ้นกับน้ำประปานาๆ ขณะที่ NOM ส่วนที่ไม่ใช่สารชีวมิคจะทำให้เกิดปัญหาต่อคุณภาพน้ำประปาน้อยกว่า อย่างไรก็ตาม Owen และคณะ (1995) พบว่า NOM ส่วนที่ไม่ใช่สารชีวมิคสามารถทำให้เกิด DBPs ในปริมาณที่มีนัยสำคัญ นอกจากนั้น ยังอาจเป็นส่วนสำคัญของสารอินทรีย์ carcinogen ที่ย่อยสลายได้ซึ่งทำให้เกิดปัญหาการเติบโตขึ้นใหม่ของแบคทีเรียในระบบจ่ายน้ำ

2.1.1.3 ลักษณะสมบัติของสารชีวมิค

(1) โครงสร้างทางเคมีของสารชีวมิค

สารชีวมิค มีสูตรโมเลกุล และสูตรโครงสร้างที่ไม่แน่นอน อย่างไรก็ตาม เป็นที่ยอมรับกันโดยทั่วไปว่ากรดชีวมิคเป็นสารโพลิเมอร์ ที่ประกอบด้วย อะโรมาติกโมโนเมอร์ (Aromatic Monomers) ในปริมาณต่างๆ กัน Chistman และ Ghassemi (1966 อ้างถึงใน ปฎิรูป, 2544) ได้เสนอว่าโครงสร้างของกรดชีวมิค ประกอบไปด้วยกลุ่มทำปฏิกิริยา (Functional Groups) หลายกลุ่ม เช่น กรดคาร์บอชีลิก (Carboxylic Acid) ไฮดรอกซิล (Hydroxyl) และ คีโตน (Ketone) โดยพบว่ากลุ่มทำปฏิกิริยาที่เป็นการ์บอชีลิก มีปริมาณถึง 60-90% ของกลุ่มทำปฏิกิริยาทั้งหมด

ดังนั้นสารชีวมิกจึงมีประจุลบในช่วงค่าพีออยด์ของน้ำธรรมชาติและค่าพีออยด์ที่สูงกว่านี้ และเนื่องมาจากการกลุ่มทำปฏิกิริยาเหล่านี้ทำให้สารชีวมิกละลายน้ำได้ดีที่ค่าพีออยด์สูงๆ และมีความสามารถในการแยกเปลี่ยน และการเกิดสารประกอบกับอ่อนประจุบวกที่มีสองและสามวาเลนซ์ โดยอ่อนประจุบวกที่มีสองวาเลนซ์ ซึ่งเป็นส่วนสำคัญขององค์ประกอบของสารอินทรีย์ในน้ำธรรมชาติสามารถทำปฏิกิริยากับกลุ่มคาร์บอนชีลิก ในสารชีวมิกทำให้ประจุของสารชีวมิกมีค่าลดลง (Hanra และคณะ, 1996 ถึงใน ปฎิรูป, 2544)

Stevenson (1982 ถึงใน ปฎิรูป, 2544) อธิบายถึงลักษณะโครงสร้างของกรดชีวมิกว่าเป็นวงของโนเมเลกุลสายยาวๆ โนเมเลกุลซึ่งเชื่อมจากส่วนหนึ่งของวงไปยังส่วนอื่นๆ การเชื่อมของวงนี้อาจเชื่อมมาจากพันธะระหว่างส่วนที่เป็น Hydrophobic ของโนเมเลกุล เช่น ไฮโดรคาร์บอน และส่วนที่เป็น Hydrophobic อื่นๆ กับส่วนที่เป็น Hydrophobic (กลุ่มทำปฏิกิริยาที่มีชี้ว) โดยเกิดขึ้นในสารละลายในคิน หรือเกิดขึ้นโดยตรงกับผิวของแร่ธาตุในคิน

(2) น้ำหนักโนเมเลกุลของสารชีวมิก

น้ำหนักโนเมเลกุลของสารชีวมิกมีค่ากว้างมาก Gjessing (1966 ถึงใน ปฎิรูป, 2544) รายงานผลจากการทดลองโดยใช้ Gel Filtration ถึงน้ำหนักโนเมเลกุลของสารชีวมิกว่ามีค่าระหว่างน้อยกว่า 700 ถึงมากกว่า 20,000 ซึ่งค่าน้ำหนักโนเมเลกุลที่ได้ยังขึ้นอยู่กับวิธีที่ใช้ในการวิเคราะห์ด้วย เช่น น้ำหนักโนเมเลกุลของกรดชีวมิกโดยการใช้วิธีทางเคมีพบว่ามีค่าประมาณ 1,300-13,000 โดยวิธี Osmometric Cryoscopy และวิธี Diffusion และ Viscosity มีค่า 700-26,000 และโดยวิธี Ultracentrifugation และ Light Scattering มีค่าเท่ากับ 30,000-80,000 ส่วนกรดฟลีวิก พบร่วงส่วนใหญ่มีค่าน้ำหนักโนเมเลกุลต่ำประมาณ 200-1,000 (Gassemi และ Cristman, 1968 ถึงใน ปฎิรูป, 2544)

การหาค่าน้ำหนักโนเมเลกุลของสารชีวมิก สามารถทำได้ແเนื่องบนขึ้น เช่น Hassett และ Banwart (1992 ถึงใน ปฎิรูป, 2544) ได้สรุปค่าน้ำหนักโนเมเลกุลของกรดชีวมิกกว่ามีค่าอยู่ในช่วง 20,000-1,360,000 และน้ำหนักโนเมเลกุลของกรดฟลีวิกอยู่ในช่วง 275-2110

2.1.1.4 กระบวนการที่ใช้กำจัด NOM

(1) การกำจัด NOM ด้วยการเพิ่มประสิทธิภาพ

กระบวนการโภเออกุเลชั่น

การสำรวจโดยหน่วยงานของประเทศสหรัฐอเมริกา ภายใต้ชื่อ The National Organic Reconnaissance (NORS) ระบุว่าการกำจัดสาร NPTOC โดยกระบวนการ Convention Treatment สามารถทำได้ 30% โดยการใช้สารสัมตามด้วยการกรองด้วยทรายสามารถกำจัดสาร THMP ได้ประมาณ 2 ใน 3 (Symons และคณะ, 1975 ; Oliver และ Lawrence, 1979 ถึงใน ปฎิรูป, 2544)

Kavanaugh (1978 อ้างถึงใน ปฏิรูป, 2544) ได้ทำการศึกษาถึงการใช้ การเพิ่มประสิทธิภาพกระบวนการ โโคแอกกูเลชันในการกำจัดสาร THMP และสรุปว่าปัจจัยที่มีผล ต่อประสิทธิภาพในการกำจัดสาร THMP มีดังนี้คือ

ปัจจัยทางกายภาพ ประกอบด้วย การผสมข้นแรกรของสาร โโคแอกกู แลนท์ สภาพในการกวนในถังกวนช้าและ กระบวนการแยกระหว่างของแข็งกับของเหลว
ผลของปัจจัยทางเคมี ค่าพีอีอชที่เหมาะสม อยู่ในช่วง 5-6 สำหรับ กระบวนการ โโคแอกกูเลชันโดยใช้สารส้ม ในขณะที่พีอีอชที่เหมาะสมสำหรับกระบวนการ โโคแอกกูเลชันโดย Fe^{3+} มีค่าในช่วง 3-5 และพบว่า 15% ของกรดชิวมิกไม่ถูกกำจัดโดยการใช้ สารส้ม

ผลของประเภทของสารชิวมิก กรดฟลวิกต้องการปริมาณสารส้มสูง กว่ากรดชิวมิกเพื่อให้ได้ปอร์เซ็นต์การกำจัด 80% เท่ากัน

ความต้องการ โพลิเมอร์ การเกิดของฟลักซ์ ในสภาพที่ไม่มีความชุ่น ทำให้คุณสมบัติในการตกร่องไม่ดี

Crozes และคณะ (1995 อ้างถึงใน ปฏิรูป, 2544) สรุปผลของการวิจัย เพื่อเพิ่มประสิทธิภาพของกระบวนการ โโคแอกกูเลชันในการกำจัด NOM ว่า สาร โโคแอกกูแลนท์ที่ เป็นชาตุเหล็ก เช่น $FeCl_3$ มีประสิทธิภาพดีกว่าสารส้ม โดยค่าพีอีอชในกระบวนการ โโคแอกกูเลชัน เป็นปัจจัยสำคัญในการกำจัด NOM เมื่อใช้ $FeCl_3$ เป็นสาร โโคแอกกูแลนท์เบื้องต้น โดยการปรับค่า พีอีอชให้อยู่ในช่วง 6.0 _ +0.2 จะสามารถกำจัด NOM ได้ถึง 65% และลดปริมาณ โโคแอกกูแลนท์ลงถึง 60% แต่ยังไร์ก์ตามการเพิ่มประสิทธิภาพของกระบวนการ โโคแอกกูแลนท์อาจจะไม่พอเพียงใน การกำจัด NOM เพื่อความคุณปริมาณสารDBPs (Jacangelo และคณะ ,1995 อ้างถึงใน ปฏิรูป, 2544)

(2) การกำจัด NOM โดยกระบวนการคุณติดผิวcarบอนแบบเกร็ด

Mc Creary และ Snoeyink(1997 อ้างถึงใน ปฏิรูป, 2544) ศึกษาผล ของเกลืออนินทรีย์ และพีอีอชต่อการคุณติดผิวของ NOM โดยพบว่า การเพิ่มการคุณติดผิวของกรด ฟลวิกที่มีพีอีอชต่ำเป็นผลมาจากการคุณสมบัติที่ NOM มีความเป็นกรดอ่อน โดยการลดลงของพีอีอชทำ ให้ความสามารถในการละลายได้ลดลงและถูกคุณติดผิวcarบอนแบบเกร็ด ได้ดีขึ้น แหล่งที่มาของ NOM ก็เป็นปัจจัยสำคัญดังจะเห็นได้ว่ากรดฟลวิกที่เกิดจากการละลายตัวของพืชคุณติดผิวcarบอน แบบเกร็ดได้ดีกว่ากรดชิวมิกที่มีขابอยู่ตามห้องคลาด และกรดชิวมิกที่มาจากการดิน การใช้ กระบวนการคุณติดผิวcarบอนแบบเกร็ดในการกำจัด NOM อย่างมีประสิทธิภาพต้องทำการศึกษา ในสภาพเฉพาะของ NOM และcarบอนแบบเกร็ดในแต่ละแห่ง โดยการนำบัดเบื้องต้น หรือการ ปรับปรุงคุณสมบัติของ NOM จะสามารถลดค่าใช้จ่ายในการใช้กระบวนการคุณติดผิวcarบอนแบบ เกร็ดในการกำจัด NOM ได้ (Jacangelo และคณะ, 1995 อ้างถึงใน ปฏิรูป, 2544)

(3) การกำจัด NOM โดยใช้กระบวนการเติมโอโซน

การกำจัด NOM โดยใช้กระบวนการเติมโอโซนได้มีการทดลองใช้กระบวนการเติมโอโซนเพื่อลด NOM สำหรับโรงผลิตน้ำประปาบางแห่งในระดับ Pilot-scale ตามตารางสรุปผลจากการทดลองดังกล่าว โดยพิจารณาถึงการลดสาร THMs ทั้งหมดเมื่อใช้เวลาสัมผัสของคลอรีนประมาณ 24 ชม. สรุปผลการกำจัดสารที่ทำให้เกิด THMs โดยใช้โอโซน (Trussell และ Umphres, 1978 อ้างถึงใน ปฏิรูป, 2544) ได้ดังตารางที่ 2.1

ตารางที่ 2.1 การกำจัดสารที่ทำให้เกิด THMs โดยใช้โอโซน

สถานที่	ปริมาณโอโซนที่ใช้, มก/ล	คุณภาพน้ำ		ร้อยละการลดปริมาณ THMs ทั้งหมด
		TOC, มก./ล.	พีเอช	
Owens River	1	1.3	8.3	78
Lake Casitas	2	3.5	8.1	6
Columbia River	0.4-0.5	2.4	8.0	16
Ohio River	1.0-8.0	3.0	7.1	46
Bay Bull's big pond	1.0-3.0	-	5.7	27
Mokelumne	2.0-6.0	2.4	9.2	62
Middle River	2.6-11.0	3.5	7.3	32

ที่มา : Trussell และ Umphres ,1978 อ้างถึงใน ปฏิรูป, 2544

สำหรับปัจจัยที่อาจมีผลต่อความไม่แน่นอนในการกำจัดสารที่ทำให้เกิด THMs มี 5 ปัจจัย สำหรับการทดลองที่แตกต่างกัน (Trussell และ Umphres,1978 อ้างถึงใน ปฏิรูป, 2544) คือ

- ความเข้มข้นและคุณสมบัติจำเพาะของสารอินทรีย์ธรรมชาติ
 - คุณสมบัติทางเคมีของสารอินทรีย์ธรรมชาติในน้ำ
 - ประสิทธิภาพในการถ่ายเท โอโซน
 - ความแตกต่างของเวลาสัมผัสหลังจากการเติมคลอรีน
 - ความล่าช้าระหว่างเวลาในการเติมโอโซนกับเวลาในการเติมคลอรีน
- อย่างไรก็ตามการเติม โอโซนก็สามารถเกิด DBPs ได้เช่นกัน โดย Najm และ Krasner (1995 อ้างถึงใน ปฏิรูป, 2544) ศึกษาผลของ Br⁻ ในปริมาณสูงจะทำให้เกิดไบรเมท

(Bromate) ซึ่งเป็นสารก่อมะเร็งในปริมาณสูงด้วยภัยหลักการเติม ไอโอดิน และถ้าไม่มีค่า TOC สูงก็จะเพิ่มปริมาณความต้องการ ไอโอดิน ซึ่งจะทำให้เพิ่มปริมาณการผลิต ไบรมท์ด้วยเช่นกัน
 สรุปข้อดีและข้อเสียของการกำจัด NOM โดยกระบวนการต่างๆ
 (Marsono,1996 อ้างถึงใน ปฏิรูป, 2544) ได้ดังตารางที่ 2.2

ตารางที่ 2.2 ข้อดีและข้อเสียของการกำจัด NOM โดยกระบวนการต่างๆ

กระบวนการที่ใช้	ข้อดี	ข้อเสีย
โคลอแกกูเลชัน	<ul style="list-style-type: none"> - เป็นทางเลือกที่ประหยัดที่สุด - สามารถทำได้โดยปรับปรุงกระบวนการโคลอแกกูเลชันที่มีอยู่แล้ว - มีข้อมูลเกี่ยวกับกระบวนการนี้มาก - หลังจากกระบวนการโคลอแกกูเลชันอนุภาคจะมีขนาดใหญ่ขึ้นซึ่งเป็นผลดีต่อการใช้ GAC ในขั้นตอนต่อมา 	<ul style="list-style-type: none"> - ใช้สารสัมในปริมาณสูงถ้าน้ำมีความชุนต่ำและมีค่าของสีสูง - ประสิทธิภาพในการกำจัด THMs ได้ <60% และ DOC<50%
การดูดติดผิว การรับอนบนแบบเกร็ค	<ul style="list-style-type: none"> - สามารถกำจัดสี กลิ่น และรสออกจากริ่ม - ต้องการเวลาสัมผัสนานอย(10-15นาที) - สามารถกำจัดสารปนเปื้อนอื่นด้วย (เช่นยาฆ่าแมลง) 	<ul style="list-style-type: none"> - ประสิทธิภาพในการกำจัด DOC<50%, THMP 29-56% - ข้อมูลในการใช้ต้องศึกษาเฉพาะแต่ละแห่ง - การกำจัด Br⁻ ได้น้อย
ไอโอดิน	<ul style="list-style-type: none"> - สามารถกำจัดสี กลิ่น และรส ออกจากน้ำ - สามารถใช้เป็นสารฆ่าเชื้อโรคได้ด้วย - สามารถทำลายสารประกอบอนทรีฟิล์ม (เช่น พีโนอล) - ไม่ทำให้เกิดของแข็งละลายและพิอเขของน้ำไม่มีผลต่อระบบ 	<ul style="list-style-type: none"> - สามารถทำปฏิรูยกับ NOM เกิดเป็น Ozonation By-product. - ทำปฏิรูยกับ NOM และ Br⁻ เกิดเป็นสาร Brominated By-product

ที่มา : Marsono,1996 อ้างถึงใน ปฏิรูป, 2544

ในระบบผลิตน้ำสะอาด มีหลายวิธีที่ใช้ในการกำจัดสารอินทรีย์ธรรมชาติในแหล่งน้ำ เช่น ใช้วิธีโคลาเกกเลชันด้วยสารเคมี การดูดซับด้วยผงถ่านคาร์บอน และเมมเบรนฟิลเตอร์ชั้น วิธีดังกล่าวที่ใช้ในการกำจัดสารอินทรีย์ที่มีอยู่ในแหล่งน้ำธรรมชาติเพื่อให้น้ำมีคุณภาพอยู่ในเกณฑ์มาตรฐานอุปโภคบริโภค

สารอินทรีย์ธรรมชาติ เป็นสาเหตุหนึ่งที่ทำให้น้ำมีคุณภาพไม่ได้มาตรฐาน อาจจะเป็นสาเหตุหนึ่งทำให้น้ำเสีย หรือเป็นสาเหตุทำให้น้ำมีความชุนทำให้คุณภาพไม่ได้มาตรฐาน น้ำไม่น่าดื่มน้ำอุปโภคบริโภคหรืออาจจะไปรวมตัวกับสารชนิดอื่น เกิดเป็นสารอันตรายต่อสุขภาพมนุษย์ จึงจำเป็นต้องมีกระบวนการในการกำจัดสารอินทรีย์ธรรมชาติ ในขั้นตอนการผลิตน้ำสะอาดเพื่อให้อุปโภคบริโภคหรือใช้ในอุตสาหกรรมต่างๆที่จำเป็นจะต้องใช้น้ำที่มีคุณภาพสูง

(4) ดัชนีที่ใช้เป็นตัวแทนในการวัดปริมาณของ NOM

ค่าปริมาณสารอินทรีย์คาร์บอนทั้งหมด TOC และค่า UV 254 เป็นพารามิเตอร์ที่ใช้เป็นตัวแทนที่ดีในการวัดปริมาณของสารอินทรีย์ธรรมชาติในน้ำ

การวัดค่า TOC เป็นการวัดปริมาณสารอินทรีย์ทุกชนิดที่มีองค์ประกอบเป็นธาตุcarbonซึ่งประกอบด้วย สารcarbonอินทรีย์ละลาย (Dissolved Organic Carbon หรือ DOC) ซึ่งเป็น TOC ส่วนที่ผ่านสารกรองที่มีขนาดเส้นผ่านศูนย์กลางของรูกรอง 0.45 ไมครอน อนุภาคของสารอินทรีย์carbon (Particulate Organic Carbon หรือ POC) คือสารอินทรีย์carbonที่ไม่ละลายน้ำ และถูกกักโดยสารกรองที่มีขนาดเส้นผ่านศูนย์กลางของรูกรอง 0.45 ไมครอน สารcarbonอินทรีย์ละเหย (Volatile Organic Carbon หรือ VOC) คือสารอินทรีย์carbonที่สามารถตัวได้และถูกกำจัดออกโดย Gas stripping ภายใต้สภาวะจำเพาะ และสารcarbonอินทรีย์คงตัว (Nonpurgeable Organic Carbon หรือ NPOC) คือส่วนของ TOC ที่ไม่ถูกกำจัดออกโดยวิธี Gas Stripping

Edzwald และคณะ (1985 อ้างถึงใน ปฏิรูป, 2544) พบว่าค่า UV 254 เป็นตัวแทนที่ดีมากในการวัดปริมาณ Nonpurgeable TOC (NPTOC) และสารที่ทำให้เกิดสารไตรฮาโลเมเทน(Trihalomethane Precursors หรือ THMP) โดยอัตราส่วนระหว่างค่า UV254 กับค่า TOC ยังสามารถใช้ในการบอกถักยะสมบัติของ NOM ในน้ำได้ โดยยกถึงระดับความไม่อิ่มตัวของ NOM (Goel และคณะ, 1995 อ้างถึงใน ปฏิรูป, 2544)

การวัดค่า UV254 อาศัยหลักการที่ว่า สารอินทรีย์ที่เป็นสารอะโรมาติกหรือเป็นสารที่มีพันธะทางเคมีเป็นพันธะคู่ จะสามารถดูดกลืนแสงในช่วงความยาวคลื่นของรังสีอัลตราไวโอเลต โดยเฉพาะที่ความยาวคลื่น 254 นาโนเมตร จึงทำให้การวัดค่าดูดกลืนรังสีอัลตราไวโอเลตเป็นวิธีการที่ดีและเหมาะสมในการวัดปริมาณของ NOM เช่น สารชีวมิค เพราะมันประกอบด้วยสารอะโรมาติก และมีปริมาณมากในน้ำธรรมชาติ

Eaton (1995 อ้างถึงใน ปฏิรูป, 2544) ได้สรุปผลจากการใช้ค่าการคุณค่าลีน รังสีอัลตราไวโอลেตของสารอินทรีย์ในน้ำเพื่อใช้เป็นวิธีมาตรฐาน ซึ่งแสดงให้เห็นว่า มี ความสัมพันธ์อย่างมากกับปริมาณสารอินทรีย์ carbon สี THMs และสารที่ทำให้เกิดสารDBPs ชนิดอื่นๆ นอกจากนี้ยังใช้การคุณค่าลีนรังสีอัลตราไวโอลেตในการตรวจสอบน้ำเสียที่ปล่อยออกมานา จากร่องน้ำอุตสาหกรรม และประเมินประสิทธิภาพในการกำจัดสารอินทรีย์โดยกระบวนการ โภคเคมี เช่น การคุณค่าแบบน้ำเสียโดยการบดและกรองแบบอื่นๆ

ซึ่งโดยทั่วไปแล้วน้ำดิบที่จะสามารถกำจัดน้ำประปาต้องมีคุณภาพอยู่ใน เกณฑ์ที่จะสามารถนำมาระดับเป็นน้ำประปาได้ดังข้อมูลในตารางที่ 2.3

ตารางที่ 2.3 คุณภาพของน้ำดิบที่สามารถใช้ผลิตน้ำประปา (เกรียงศักดิ์ อุดมสิน ใจดี, 2535)

ลักษณะของน้ำดิบ	ค่าสูงสุดที่ยอมให้มีได้	
	องค์การอนามัยโลก	อเมริกา
สี, หน่วยสี ของแข็งละลายน้ำ (TDS), มก/ลิตร ไขมัน, มก/ลิตร โคดีฟอร์ม, จำนวนต่อ 100 มล.	300 1,500 1 -	75 500 ต้องไม่ปรากฏเห็น 10,000
Zinc, มก/ลิตร Copper, มก/ลิตร Manganese, มก/ลิตร Iron, มก/ลิตร Lead, มก/ลิตร Nitrate, มก/ลิตร Ammonia, มก/ลิตรของ N TKN, มก/ลิตรของ N Carbon Chloroform Extract BOD5, มก/ลิตร COD, มก/ลิตร	1.5 1.5 5 50 0.05 45 0.5 1.0 0.5 6 10	5 1.0 0.05 0.3 0.05 - 0.5 - 0.15 - -

2.2 กระบวนการเมมเบรน

เมมเบรน คือเยื่อฟิล์มนางที่สังเคราะห์ขึ้นจากวัสดุอินทรีย์หรือนินทรีย์ เช่น เซลลูโลส อะซิเตตและโพลีเอไมล์ ตามลำดับ ซึ่งสามารถนำมาใช้ในการเลือกกักแยกอนุภาคต่างๆ สารอินทรีย์ – อนินทรีย์และไออกอน ออกจากของเหลวหรือก๊าซได้

กระบวนการเมมเบรน หมายถึง กระบวนการต่างๆ ที่อาศัยเยื่อเมมเบรน (Semi-Permeable Membrane) ในการแยกสารละลายออกจากน้ำหรือของเหลวใช้แรงขับดันในการเคลื่อนของไวดให้ซึมผ่านเยื่อเมมเบรนไปและกักสารต่างๆ ไว้ในรูปของสารละลายเข้มข้นโดยไม่ยอมให้ผ่านไปได้

กระบวนการเมมเบรนที่ใช้ในการบำบัดน้ำและน้ำเสียที่สำคัญมี 4 แบบ คือ Reverse Osmosis (RO), Nanofiltration (NF), Ultrafiltration (UF) และ Microfiltration (MF)

ตารางที่ 2.4 เปรียบเทียบกระบวนการการเมมเบรนชนิดต่างๆ (Zeman and Zydny, 1996)

Process	Materials remover	Applications	Transmembrane	Pressures kPa (psi)
			Pressures kPa (psi)	
Microfiltration	ของแข็งละลายน้ำ และสารเวนอลอย ขนาดใหญ่	กำจัดแบคทีเรีย, สารเวนอลอย, ของแข็งละลายน้ำ ทั้งหมด		69 – 173 (90-25)
Ultrafiltration	สารเวนอลอย, โปรตีน, เชื้อจุลทรรศ์ที่ป่นเปื้อน ในน้ำ และสารอินทรี ไมเดกุลขนาดใหญ่	กำจัดไวรัส, กำจัดสารเวนอลอย และไมเดกุลสารอินทรี		103 – 690 (15 – 100)
Nanofiltration	สารอินทรีที่มีน้ำหนักโมเดกุลมากกว่า 200-400 ดาลตัน หรือปริมาณสารอินทรีقاربอนทั้งหมด	กำจัดสี, ความกระด้าง, ลดปริมาณของแข็งไม่ละลายน้ำทั้งหมด		345 – 1550(50 – 225)
Reverse osmosis	เกลือที่ไม่ละลายน้ำ, สารอินทรีและสารอินทรีที่มีโมเดกุลขนาดใหญ่กว่า 100 ดาลตัน	การกำจัดเกลือ, การนำน้ำเสียกลับมาใช้ใหม่, กระบวนการผลิตอาหาร และเครื่องดื่ม		1379 – 6895 (200 – 1000)

ประโยชน์ของกระบวนการเมมเบรนมีอีกหนึ่งประการนั่นคือ

- เป็นการกรองซึ่งแยกออกอย่างสมบูรณ์ ตรงข้ามกับการกรองแบบติดค้างในขั้นกรอง
- การแยกของแข็งออกจากของเหลวและการฆ่าเชื้อโรค โดยไม่มีการเติมสารเคมีเพิ่ม

- ไม่พับสาร โโคแอกกูเลชัน และสารม่าเชื้อโรค เหลือตอกค้างในน้ำออก
- ขนาดกระหัดรัด และช่วยลดต้นทุนการเดินระบบและบำรุงรักษา
- การใช้เครื่องจักรแทนการทำงานของมนุษย์
- คุณภาพของน้ำที่ผ่านการกรองคงที่และมีคุณภาพสูง แม้ว่าคุณภาพเหล่าน้ำเปลี่ยนไปจากน้ำที่เริ่มมีการใช้กระบวนการ เมมเบรนในการปรับปรุงคุณภาพน้ำแทน

กระบวนการบ้าบัดแบบธรรมชาติ เนื่องจากเหตุผลดังที่ได้กล่าวไว้แล้วข้างต้น

2.3 กระบวนการอัลตราฟิลเตอร์ชัน (UF)

กระบวนการอัลตราฟิลเตอร์ชัน (UF) เป็นกระบวนการทางกายภาพ อาศัยแรงดันที่ต่ำ เป็นแรงขับดันให้ของเหลวผ่านช่องว่างของเมมเบรน ในการแยกอนุภาคขนาดเล็กที่มีขนาดใหญ่ รวมทั้งแบคทีเรียและจุลชีพอื่นๆ ออกจากของเหลว กระบวนการ UF เป็นกระบวนการที่สำคัญ กระบวนการหนึ่ง เนื่องจากมีอัตราการผลิตน้ำสูงกว่ากระบวนการเมมเบรนแบบอื่นที่ความดันเดียวกัน น้ำที่ผ่านการกรองมีคุณภาพดีกว่าน้ำที่ได้จากการแยกทั่วไป เช่น การตัดตอน การเหวี่ยงหนีศูนย์ การกรองทราย เป็นต้น นอกจากนี้สารมลพิษในน้ำส่วนใหญ่ จะมีขนาดอนุภาคอยู่ในช่วง 0.05 – 10 ไมโครเมตร ทำให้สามารถกำจัดได้โดยกระบวนการ UF เนื่องจากขนาดอนุภาคดังกล่าวอยู่ในช่วงค่าที่กำหนดของ UF พอดี

2.3.1 กลไกการทำงานของกระบวนการ UF

กลไกการทำงานของกระบวนการ UF จะแตกต่างจากกระบวนการกรองแบบธรรมชาติ (Conventional filtration) คือ ในระบบการกรองแบบธรรมชาติ เมื่อปล่อยให้น้ำไหลผ่านชั้นกรองอนุภาคขนาดเล็กที่ผิวน้ำของสารกรอง (Surface filtration) หรือติดค้างในชั้นกรอง (Indepth filtration) ส่วนใน UF อนุภาคขนาดเล็กหรือสารอินทรีจะถูกกำจัดโดยจะติดค้างอยู่ในช่องว่างของเมมเบรน เรียกกลไกนี้ว่า “กลไกการแยกสารแบบคัดขนาดอนุภาค (Sieve Mechanism)” สำหรับสารอินทรี เช่น โปรตีน แบคทีเรีย อนุภาคขนาดเล็ก อาจถูกกำจัดด้วยกลไกการคัดติดผิวน้ำของเมมเบรนหรือภายในโครงสร้าง ขึ้นอยู่กับวัสดุที่ใช้ทำเมมเบรน คือ วัสดุชนิด Hydrophobic จะมีสมบัติในการคัดติดสารอินทรีสูง และยอมให้น้ำไหลผ่านได้น้อยกว่าชนิด Hydrophilic (เทียบกับ MWCO เดียวกัน) แต่จะก่อให้เกิดการอุดตันเมมเบรน

- จุลชีพอาจถูกกำจัดด้วยกลไกที่เป็นไปได้ (Jacangelo และคณะ, 1995) คือ
- การเกาะติดของอนุภาคซึ่งอยู่ในน้ำดีบและสามารถถูกกำจัดโดยเมมเบรนได้
 - การกำจัดโดยการเกิดชั้นเค็กขึ้นที่ผิวน้ำของเมมเบรน

- การกำจัดโดย membrane foulants ซึ่งอัดแน่นโดยไม่สามารถล้างขอนโดยอาศัยแรงดันน้ำแก้ไขให้คืนสภาพเดิมได้

2.3.2 ลักษณะการกรองในกระบวนการ UF

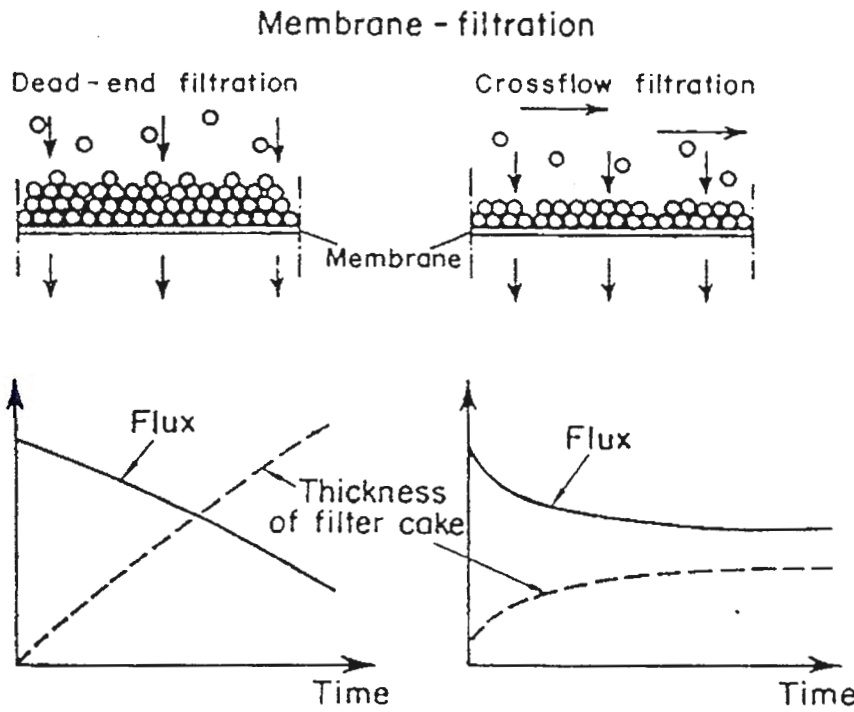
ลักษณะการกรองแบ่งได้เป็น 2 แบบ คือ Dead – end และ Crossflow

1) การกรองแบบ Dead – end

เป็นการใช้ความดันป้อนสารละลายให้ไหลในทิศทางที่ตั้งฉากกับเมมเบรน ดังแสดงในภาพที่ 2.1 สารแขวนลอยที่มีขนาดใหญ่กว่ารูพรุนของเยื่อแผ่นจะถูกกักไว้บนผิวน้ำ ของเมมเบรน หรืออยู่ในรูพรุนของเมมเบรน ทำให้เกิดการอุดตันของอนุภาคบนผิวน้ำของเมมเบรนและเกิดการสะสมอย่างต่อเนื่อง เรียกว่า “เค้ก (cake)” ปริมาณ permeate ที่ได้จะลดลงอย่างมาก ในทางปฏิบัติอาจต้องทำการล้างเมมเบรนบ่อยครั้งหรือเปลี่ยนเมมเบรนใหม่ ก่อนทำการต่อไปได้อย่างมีประสิทธิภาพ ซึ่งระบบนี้เหมาะสมสำหรับใช้เมื่อสารละลายประกอบด้วยอนุภาคขนาดเล็กและมีความเข้มข้นต่ำ

2) การกรองแบบ Crossflow

เป็นการใช้ความดันป้อนสารละลายให้ไหลในแนวต้านกับเยื่อแผ่น หรือตั้งฉากกับทิศทางการไหลของ permeate ดังแสดงในภาพที่ 2.1 ซึ่งทำให้เกิดแรงเฉือนบริเวณผิวน้ำของเมมเบรน ภาชนะที่เก็บบริเวณนี้ให้กลับเข้าไปในสารละลายอย่างต่อเนื่อง ทำให้สามารถควบคุมการอุดตันของเมมเบรนได้ดี ปริมาณ permeate ที่ได้จะมีสูงกว่าการกรองแบบแรก ดังนั้นการประยุกต์ใช้ในปัจจุบัน จึงเป็น UF แบบไหลwang โดยส่วนใหญ่



ภาพที่ 2.1 การเปรียบเทียบการกรองแบบไหลผ่านและไหลขาว (Ripperger และคณะ, 1989)

2.3.3 ทฤษฎีอัตราฟิลเตอร์ชัน

ในกระบวนการ UF แบบไหลขาว ค่าฟลักซ์จะเป็นตัวบวกถึงประสิทธิภาพของการกรอง โดยแสดงในรูปปริมาตรของ permeate ที่ผ่านรูพรุนของเมมเบรนต่อหน่วยพื้นที่ของเมมเบรนต่อเวลา ซึ่งในการกรองสารละลายhexenoloy ค่า permeate flux ของสารละลายที่ผ่านรูพรุนของเยื่อแผ่น สามารถแสดงในรูปของความต้านทานการกรองดังนี้

$$J_v = L_p (\Delta P - \sigma \Delta \pi) = \frac{Q_p}{A_m} \quad (2.1)$$

โดยที่ J_v คือ อัตราการซึมผ่านเมมเบรน มีหน่วยเป็น $\text{Lm}^{-2}\text{hr}^{-1}\text{kPa}^{-1}$

L_p คือ สัมประสิทธิ์การซึมผ่านของเมมเบรน มีหน่วยเป็น $\text{Lm}^{-2}\text{hr}^{-1}\text{kPa}^{-1}$

ΔP คือ ความดันเฉลี่ยมีค่าเท่ากับ $\left[\frac{(P_f + P_r)}{2} - P_p \right]$ มีหน่วยเป็น kPa

σ คือ Osmotic reflection coefficient มีค่าเท่ากับ $1 - \frac{C_p}{C_m}$

$\Delta \pi$ คือ ค่าความแตกต่างของแรงดันอสโนมติก

(Osmotic pressure $\pi_m - \pi_p$) มีหน่วยเป็น kPa
 ส่วนการกำจัดสารละลายนอกจากน้ำ (Rejection) โดยการกรองผ่านเยื่อกรองจะ^{ชี้}สกัดเอาสารละลายน้ำต่างๆ ออกจากรากน้ำ ซึ่งประสิทธิภาพในการกำจัดสารละลายน้ำสามารถคำนวณได้จากสมการ (2.2)

$$R_{\text{feed}} = 1 - \frac{C_{\text{perm}}}{C_{\text{feed}}} \quad (2.2)$$

โดยที่ R_{feed} คือ อัตราการกำจัดสารละลายนอกจากน้ำ (%)
 C_{perm} คือ ความเข้มข้นของเพอร์มีโอท (mg.L^{-1})
 C_{retent} คือ ความเข้มข้นของสารละลายน้ำใน (mg.L^{-1}) (Mattaraj and Kilduff, 2003)

2.3.4 การหาขนาดโมเลกุล

ในการหาขนาดโมเลกุลที่ทำการแยก โดยใช้กระบวนการกรองอัลตราฟิลเตอร์ชั้นสามารถที่จะคำนวณได้จากสมการที่ (2.6) และสมการที่ (2.7)

$$M_w = \frac{\sum_{i=1}^N MW_i(t) M_i(t)}{M_T} \quad (2.3)$$

โดยที่ M_w คือ ขนาดโมเลกุลเฉลี่ยของสารอินทรีย์ธรรมชาติ

$M_i(t)$ คือ มวลในแต่ละช่วงเวลา

$MW_i(t)$ คือ ขนาดโมเลกุลในแต่ละช่วงเวลา

$\sum_{i=1}^N MW_i(t) M_i(t)$ คือ ผลรวมขนาดโมเลกุลทั้งหมดในช่วงเวลาที่วิเคราะห์

M_T คือ มวลทั้งหมดของตัวอย่าง

$$M_n = \frac{\sum_{i=1}^N M_i(t)}{\sum_{i=1}^N M_i(t) / MW_i(t)} \quad (2.4)$$

โดยที่ $\sum_{i=1}^N M_i(t)$ คือ ผลรวมของมวลในช่วงการวิเคราะห์

$\sum_{i=1}^N M_i(t) / MW_i(t)$ คือ ผลรวมของมวลในช่วงเวลานั้นส่วนด้วยขนาดโมเลกุล

ของสารอินทรีย์ธรรมชาติในช่วงเวลานั้น

2.3.5 ไมโครลูปนิคต่างๆ ของกระบวนการ UF

ไมโครลูปที่ใช้สำหรับกระบวนการ UF มี 4 แบบ ดังแสดงในภาพที่ 2.2 คือ

- แบบม้วน (Spiral wound)
- แบบท่อ (Tubular)
- แบบเส้นไอกลาง (Hollow fiber)
- แบบแผ่น (Plate and frame)

สำหรับข้อดีของไมโครลูปแต่ละชนิด แสดงในตารางที่ 2.5

ตารางที่ 2.5 เปรียบเทียบข้อดีของไมโครลูปแต่ละชนิด (Mallevalle และคณะ, 1996)

เกณฑ์มาตรฐาน	แบบแผ่น	แบบม้วน	แบบท่อ	แบบเส้นไอกลาง		แผ่นงาน/ หลอดปลายเปิด	กระบวนการ
				Fine (RO)	(UF/MF)		
ความหนาแน่น	+	++	-	+++	+++	-	
ความสะอาด							
- ลักษณะเมมเบรน	+	-	++	-	-	+	
- ลักษณะกลับ	-	-	-(1)	-	+++	-	
ราคา	+	+++	-	+++	+++	-	
ความดัน	-	++	+++	++	++	+++	
ควบคุมปริมาณตร	+	+	-	+++	++	-	
ความนิยมในการใช้งาน							
ใช้งาน	+	-	+++	-	++	+++	

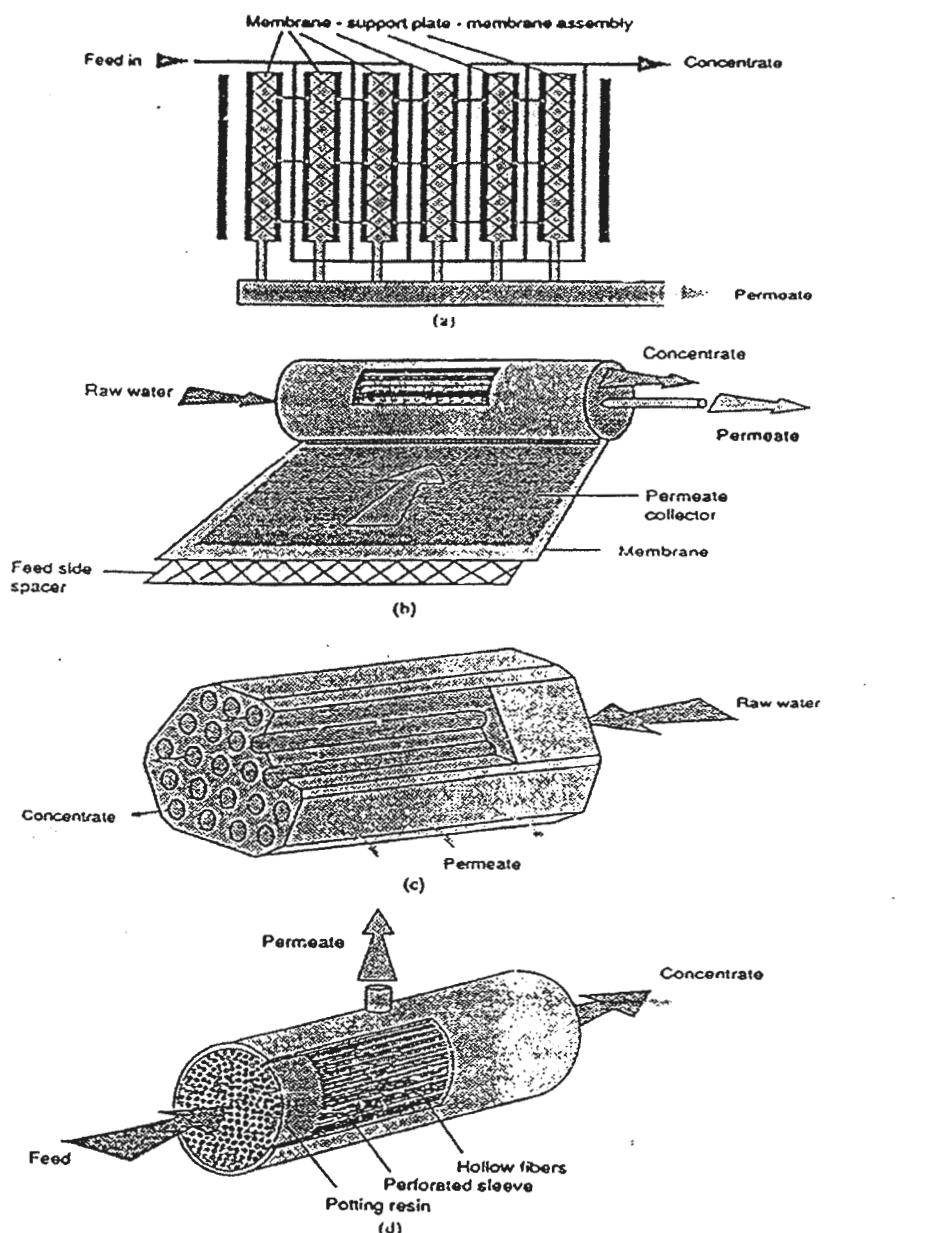
- ข้อเดียวกับ

+++ ข้อได้เปรียบ

(1) : โดยที่ไม่มีการเปรียบเทียบ ไมโครลูปแบบเซรามิกเนื่องจากวัสดุที่ใช้ทำเมมเบรนเป็นคนละชนิดกับข้อมูลที่จะนำมาเปรียบเทียบกัน

ในการกระบวนการ UF ไม่นิยมใช้เมมเบรนแบบม้วน เนื่องจากโครงสร้างเมมเบรนเป็นแบบแผ่น ซึ่งหากต้องการทำความสะอาดผิวน้ำของเมมเบรน แต่สำหรับแบบเส้นไอกลางและแบบท่อ สามารถทำการล้างย้อน ซึ่งเป็นกลไกในการควบคุมการอุดตันเนื่องจากอนุภาคและ

สารอินทรีย์ เมมเบรน UF ที่มีขายในท้องตลาด แสดงในตารางที่ 2.6 ในที่นี้จะกล่าวถึงเฉพาะ
แบบเส้นไขกลวง เนื่องจากใช้ในการทำงานวิจัย



ภาพที่ 2.2 โนมูลของเมมเบรน 4 ชนิด (Mallevalle และคณะ, 1996)

a) แบบแผ่น b) แบบม้วน c) แบบท่อ d) แบบเส้นไบกลวง

ตารางที่ 2.6 เมมเบรน UF ที่มีข่ายตามห้องต่อต่อ (Mallevialle และคณะ, 1996))

Pore size μm				Mambrane area permodule	manufacturer
	Configuration	Material	m ² (min – max)		
2, 3, 5	T	C	0.02 – 7.1	US Filters	
1.4	T	C	0.005 – 7.4	US Filters	
1	T	C	0.09 – 10.0	CTI Techsep	
0.5, 0.7, 0.8	T	C	0.02 – 7.1	US Filters	
0.5	T	C	0.13 – 11.5	Ceramem	
0.45	T	C	0.09 – 10.0	CTI Techsep	
0.45	HF	PS	0.01 – 3.7	AG Technology	
0.2	T	C	0.02 – 7.1	US Filters	
0.2	T	C	0.13 – 11.5	Ceramem	
0.2	T	C	0.09 – 10.0	CTI Techsep	
0.2	HF	PP	2.0	Akzo	
0.2	HF	PP/VF	10.8 – 15	Memtee	
0.2	T	C		Membralox	
0.2	HF	VF		Dow	
0.2 – 0.5	T	PWF	4.7 – 106	Renovexa Technology	
0.1	T	C	0.02 – 7.1	US Filters	
0.1	HF	PS	0.01 – 3.7	AG Technology	
0.1	HF	PVA	0.09 – 12.0	Kuraray	
0.1	SW	PTFE	0.5 – 8.0	Desal	
0.05	T	C		Membralox	

HF	=	hollow Fiber	PS	=	polysulfone
SW	=	spiral wound	PVA	=	polyvinylalcohol
T	=	ceramic	VF	=	fluorinated polymer
C	=	ceramic	PWF	=	polyester woman fiber
PP	=	polypropylene			

2.3.6 Hollow Fiber Capillary Membrane

ลักษณะโครงสร้างของ Hollow Fiber Capillary Membrane เหมือนกับท่อขนาดเล็กหรือเส้นผม ด้านในจะมีผิวคล้ายฟองน้ำล้อมรอบผิวชั้นใน เมื่อมองรูปตัดจะเป็นรูปปีกม้าหรือตัวยู (U) ปลายทั้ง 2 ข้างของเส้นไขญาติร่องดิคกับทางน้ำออก บรรจุอยู่ในท่อรูปทรงกระบอก เรียกว่าโนดูล ซึ่งประกอบด้วยเส้นใยหลายร้อยถึงหลายพันเส้นทำให้มีพื้นที่กว้าง

นอกจากนี้ Hollow Fiber Capillary Membrane ยังสามารถใช้งานได้ในอีกลักษณะหนึ่งคือ นำเส้นใยมาจึงเรียงเป็นแผ่นปลายทั้ง 2 ข้าง ติดกับทางน้ำออก 2 ห้อง มีลักษณะเป็นโนดูลแบบเปลือย ติดตั้งลงด้วยอุปกรณ์ใต้น้ำภายในถัง โดยดูดซึมน้ำผ่านเข้าภายในเส้นไปไอลตามรูกลวงไปรวมกันที่ท่อทางน้ำออก ดังแสดงในภาพที่ 2.3

2.3.7 ปัจจัยที่มีผลต่อการทำงานของ UF

เนื่องจากกลไกการกำจัดอนุภาคของกระบวนการ UF เป็นการกรองแบบคัดขนาด ดังนั้นปัญหาที่มักเกิดขึ้นในการทำงาน คือ การอุดตันที่เกิดจากสิ่งสกปรกต่างๆ ที่อยู่ในน้ำ ทำให้อัตราการผลิตน้ำ (Permeate flux) และอัตราการใช้งานของเมมเบรนลดลง ซึ่งปัจจัยต่างๆ มีดังนี้

1) ลักษณะสมบัติของน้ำดิบ

ความเข้มข้นและชนิดของสารอินทรีย์ในน้ำ จะมีผลถึงลักษณะสมบัติของน้ำที่จะผ่านเมมเบรนโดยตรง ไม่เลกุลสารอินทรีย์ที่ติดค้างจะทำปฏิกิริยากับเมมเบรน เช่น ดูดติดเกิดเจลขึ้น ที่บริเวณผิวเมมเบรนกับความต้านทานการไหลที่ต่างๆ กันของประกอบของสารอินทรีย์ในน้ำจะแตกต่างกันในแต่ละแห่ง และเปลี่ยนแปลงเป็นบางครั้งในแหล่งเดียวกัน

2) วัสดุที่ใช้ทำเมมเบรน

วัสดุที่ใช้ทำเมมเบรน ขนาดของรูกรอง และการกระจายขนาดของรูในเมมเบรน มีผลต่อลักษณะการอุดตันในระบบ UF วัสดุที่ใช้ทำเมมเบรนแบ่งได้เป็น 2 กลุ่ม คือ วัสดุที่ชอบน้ำ (Hydrophilic) และวัสดุที่ไม่ชอบน้ำ (Hydrophobic) โดยเมมเบรนชนิดที่ชอบน้ำจะดูดซับสารอินทรีย์น้อยกว่าเมมเบรนแบบไม่ชอบน้ำ ด้วยเหตุนี้จึงสามารถกล่าวได้ว่า การเกิดการอุดตันจะขึ้นอยู่กับชนิดของสารอินทรีย์ในน้ำ และชนิดของวัสดุที่ใช้ทำเมมเบรน

3) การปรับสภาพน้ำเบื้องต้น

สารปนเปื้อนที่พบในแหล่งน้ำธรรมชาติ แบ่งเป็น 4 ประเภทคือ อนุภาคแขวนลอย (ส่วนใหญ่เป็นสารอินทรีย์ แต่จะรวมถึงสารอินทรีย์ด้วย) เกลืออนินทรีย์ละลายสารอินทรีย์ละลาย จุลชีพ ซึ่งสารเหล่านี้จะทำให้เกิดการอุดตันของเมมเบรนและอัตราการผลิตน้ำลดลง วิธีการป้องกันการอุดตันอาจทำได้โดย การปรับสภาพน้ำก่อนเข้าสู่กระบวนการ UF ได้แก่

การกำจัดอนุภาคแขวนลอยขนาดใหญ่ การเติมสารโพแทกซ์แอลน์ด์หรือผงถ่านกัมมันต์ การปรับ pH และอุณหภูมิ

4) ความดัน

การเพิ่มแรงดันมากขึ้นจะทำให้อัตราการผลิตน้ำและคุณภาพน้ำที่ได้ดีขึ้น แต่ถ้าแรงดันเพิ่มขึ้นจนเกินขีดจำกัด จะทำให้อนุภาคและโครงสร้างต่างๆ ที่สะสมบริเวณผิวน้ำของเมมเบรนอุดตัวกันแน่น จนทำให้ค่าฟลักซ์ลดลง และอาจทำลายโครงสร้างภายในของเมมเบรน จนไม่อาจคืนสภาพการกรองน้ำได้ดังเดิม

5) ความเร็วของการไอลของของเหลว

การไอลของของเหลวด้วยความเร็วสูงผ่านเมมเบรนทำให้เกิดแรงเฉือน ซึ่งจะช่วยลดการอุดตันที่หน้าของเมมเบรน ทำให้อัตราการผลิตน้ำสูงขึ้น ในการประยุกต์ใช้อัตราการเกิดแรงเฉือน สามารถควบคุมโดยปั๊มและรูปร่างทางเรขาคณิตของเมมเบรนได้

2.4 ผลงานวิจัยที่เกี่ยวข้อง

COSTAS PELEKANI (1999) การศึกษาคุณลักษณะของสารอินทรีย์ธรรมชาติโดยใช้เครื่อง High performance Exclusion Chomatography (HPLC) โดยได้ทำการศึกษาคุณลักษณะของสารอินทรีย์ธรรมชาติจากแหล่งน้ำ 2 แหล่งในตอนใต้ของอสเตรเลีย ได้ศึกษาน้ำดิบไม่濁กุลของสารอินทรีย์ธรรมชาติในช่วง (<500, 500-3000, 3000-10000, 10000-30000 และ >30000) โดยใช้ Ultafiltration แยกเอาขนาดของสารอินทรีย์ธรรมชาติออกมาก่อนที่จะนำไปวัดด้วยเครื่อง HPLC โดยทำการศึกษาเปรียบเทียบกับวิธีอื่น โดยเปรียบเทียบกับวิธี Flow field –Flow Fractionation (FIFFF) ซึ่งเป็นวิธีแยกขนาดไม่濁กุลของสารอินทรีย์ธรรมชาติโดยใช้หลักการความแตกต่างทางด้านไไซโตรไดนามิกในการเพร์สารอินทรีย์ธรรมชาติในการที่จะแยกขนาดไม่濁กุลซึ่งแตกต่างจากวิธี High performance Exclusion Chomatography (HPLC) ที่ใช้หลักการแยกโดยผ่านรูเจลที่ใช้ในการแยกขนาดไม่濁กุลของสารอินทรีย์ธรรมชาติ ซึ่งจากการศึกษาเปรียบเทียบกันโดยใช้ขนาดไม่濁กุลของสารอินทรีย์ธรรมชาติในช่วง (<500, 500-3000, 3000-10000, 10000-30000, >30000) โดยกำหนดพารามิตเตอร์ที่จะวัดคือ น้ำหนักเฉลี่ยของไม่濁กุลของสารอินทรีย์ธรรมชาติ ขนาดไม่濁กุล ช่วงไม่濁กุลที่พบมากที่สุดพบว่าวิธี HPLC จะได้กราฟข้อมูลขนาดของไม่濁กุลที่ชัดเจนกว่า เร็วกว่า และวิเคราะห์ขนาดได้ไม่濁กุลหลายขนาดกว่าคือสามารถวิเคราะห์ได้ละเอียดกว่าเครื่อง FIFFF

JAMES KILDUFF AND WALTER J. WEBBER (1999) เป็นการศึกษาการกำจัดสารอินทรีย์ธรรมชาติโดยวิธี Ultafiltration โดยศึกษาผลกระทบของความเข้มข้นประจุของ

สารละลายน้ำมีผลต่อการกำจัดสารอินทรีย์ธรรมชาติโดยวิธี Ultafiltration หรือไม่ซึ่งได้ใช้สาร poly styrene sulfonate เป็นตัวเปรียบเทียบในการหาขนาดของสารอินทรีย์ธรรมชาติเพราasm ลักษณะโครงสร้างคล้ายกันกับสารอินทรีย์ธรรมชาติ โดยเมมเบรนที่ใช้ในการกำจัดสารอินทรีย์ธรรมชาติโดยวิธี Ultafiltration เป็นพวก cellulosic type ใช้ในการศึกษาโดยใช้ขนาดโมเลกุลของสารอินทรีย์ที่ใช้ในการทดลอง 2 ขนาด (3000 Da ,10000Da) โดยศึกษาอัตราการ ไหลของน้ำดีว่ามีอัตราการ ไหลเพิ่มขึ้นหรือไม่เมื่อเพิ่มจำนวนประจุในน้ำจากการศึกษาพบว่าเมื่อเพิ่มจำนวนประจุพบว่า อัตราการ ไหลของน้ำดีไหลออกมากเพิ่มขึ้นเนื่องจากว่าผลของการเพิ่มจำนวนประจุไปทำให้โครงสร้างของสารอินทรีย์ธรรมชาติหลุดสั้นลงทำให้ขนาดของสารอินทรีย์ลดน้อยลงทำให้การอุดตันเมมเบรนลดน้อยลงไปด้วย

Taylor และคณะ (1987) ใช้กระบวนการเมมเบรน 3 ชนิด คือ RO NF และ UF ในการกำจัดสาร THMP ออกจากน้ำาคาด และน้ำผิวดิน พบว่าต้องการเมมเบรนที่มีค่า MWCO น้อยกว่าหรือเท่ากับ 400 ในสภาวะปกติในการดำเนินระบบ เพื่อควบคุม THMP และสรุปผลการวิจัยว่ากระบวนการเมมเบรนให้ผลดีทั้งทางด้านประสิทธิภาพและเศรษฐศาสตร์ ในการควบคุม THMP ในแหล่งน้ำที่มีสารอินทรีย์ในปริมาณสูง และควรใช้เป็นระบบบำบัดเบื้องต้นสำหรับควบคุมปริมาณ THMs

Tan และ Amy (1991) ทำการเปรียบเทียบระหว่างกระบวนการเติมโอโซนกับกระบวนการเมมเบรนในการกำจัดสารและควบคุมปริมาณ DBPs พบว่ากระบวนการทั้งสองมีประสิทธิภาพใกล้เคียงกันในการกำจัดสารออกจากน้ำาคาด โดยกระบวนการเมมเบรนกำจัดสารออกโดยกระบวนการทางเคมีภาพ ในขณะที่กระบวนการเติมโอโซนเปลี่ยนรูปสีในน้ำได้สารที่เกิดขึ้นก่อให้เกิด DBPs กระบวนการเมมเมเบรนสามารถควบคุมการเกิด DBPs ได้ดีกว่า เนื่องมาจากประสิทธิภาพในการกำจัดสารที่ก่อให้เกิด DBPs ที่ดีกว่า นอกจากนั้นกระบวนการเติมโอโซนยังทำให้เกิด Ozonation By-product ด้วย

บทที่ 3

วิธีดำเนินงานวิจัย

3.1 สารเคมีที่ใช้ในการทดลอง

3.1.1 Hydrochloric Acid (HCl), Analytical univar reagent, APS Finechem

3.1.2 Di-Sodium hydrogen phosphate dodecahydrate ($\text{Na}_2\text{H}_2\text{PO}_4 \cdot 12\text{H}_2\text{O}$), Analytical univar reagent, APS Finechem

3.1.3 Sodium chloride (NaCl), Analytical univar reagent, APS Finechem

3.1.4 Sodium hydroxide (NaOH), Analytical univar reagent, Ajax Finechem

3.1.5 Sodium dihydrogen orthophosphate ($\text{NaH}_2\text{PO}_4 \cdot \text{H}_2\text{O}$), Analytical univar reagent, APS Finechem

3.2 อุปกรณ์และเครื่องมือ

3.2.1 อุปกรณ์

3.2.1.1 บีกเกอร์ขนาด 100 มิลลิลิตร

3.2.1.2 บีกเกอร์ขนาด 400 มิลลิลิตร

3.2.1.3 บีกเกอร์ขนาด 1000 มิลลิลิตร

3.2.1.4 แท่นแก้วคนสาร

3.2.1.5 ถังผสมน้ำตัวอย่าง

3.2.1.6 ถังสำหรับใส่น้ำตัวอย่างที่เตรียมแล้ว

3.2.1.7 ข้อมูลสารเคมี

3.2.1.8 เครื่องชั่งความละเอียด 2 ตำแหน่ง

3.2.1.9 สายยางซิลิโคน

3.2.1.10 ถังน้ำขนาด 20 ลิตร

3.2.2 เครื่องมือวิเคราะห์

3.2.2.1 เครื่องวัดค่าพีเอช (Wissenschaftlich-Technische Werkstatten GMBH,

ประเทศเยอรมัน)

3.2.2.2 เครื่องวัดสภาพการนำไฟฟ้า (Wissenschaftlich-Technische Werkstatten GMBH, ประเทศเยอรมัน)

3.2.2.3 เครื่อง UV-Visible Spectrophotometer (Shimadzu Corporation รุ่น UV mini 1240, ประเทศญี่ปุ่น)

3.2.2.4. เครื่องวิเคราะห์ Total Organic Carbon (TOC) (Shimadzu Corporation รุ่น TOC-VCPh, ประเทศญี่ปุ่น)

หลักการและวิธีการทำงานของเครื่องมือที่ใช้ในการวิจัย

1) เครื่องมือวิเคราะห์การดูดกลืนแสง (UV-Vis spectrophotometer)

เครื่องมือวิเคราะห์การดูดกลืนแสง (UV-VIS spectrophotometer) รุ่น UV mini 1240 จากบริษัท Shimadzu corporation (Japan) เป็นเครื่องแบบ single beam 5 nm ที่ใช้วิเคราะห์ การดูดกลืนแสงของสารอินทรีย์ธรรมชาติ สามารถทำได้โดยใช้เครื่องมือวิเคราะห์ค่าการดูดกลืนแสง UV-VIS spectrophotometer โดยค่าความยาวคลื่นที่ใช้ในการวิเคราะห์ค่าการดูดกลืนแสง ของสารอินทรีย์ตัดที่ความยาวคลื่นเท่ากับ 254 นาโนเมตร การวัดค่า UV₂₅₄ อาศัยหลักการที่ว่า สารอินทรีย์ที่เป็นสารอะโรมาติกหรือเป็นสารที่มีพันธะทางเคมีเป็นพันธะคู่ จะสามารถดูดกลืนแสง ในช่วงความยาวคลื่นของรังสีอัลตราไวโอลेट โดยเฉพาะที่ความยาวคลื่น 254 นาโนเมตร จึงทำให้ การวัดค่าการดูดกลืนแสงในช่วงความยาวคลื่นของรังสีอัลตราไวโอลेटเป็นวิธีการที่ดีและ เหมาะสมในการวัดปริมาณของสารอินทรีย์ธรรมชาติ

2) เครื่องมือวิเคราะห์คาร์บอนทั้งหมดของสารอินทรีย์ (Total Organic Carbon, TOC)

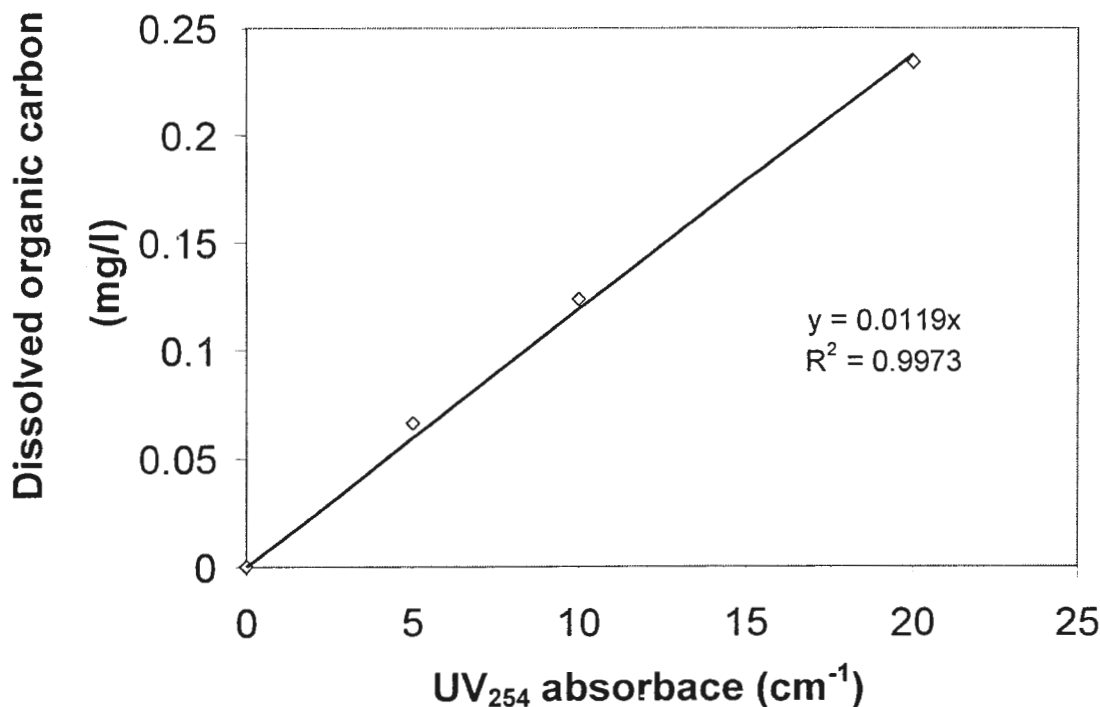
เครื่องมือวิเคราะห์คาร์บอนทั้งหมดของสารอินทรีย์ (Total Organic carbon, TOC) รุ่น TOC-VCPh ของบริษัท Shimadzu Corporation (Japan) เป็นเครื่องมือที่ใช้ในการ วิเคราะห์สารคาร์บอนของสารอินทรีย์ในน้ำตัวอย่าง ภาพที่ 3.1 แสดงความสัมพันธ์ของสาร คาร์บอนทั้งหมดและค่าการดูดกลืนแสงที่ความยาวคลื่น 254 นาโนเมตร โดยใช้น้ำตัวอย่างจาก แหล่งน้ำหนึ่งอีเจมส์มหาวิทยาลัยอุบราชธานี

หลักการทำงานของเครื่อง TOC แยกออกเป็น 3 ระบบ คือ

1. วิเคราะห์ total organic carbon โดยนำตัวอย่างจะถูกนำไปที่ combustion tube ซึ่งตัวอย่างจะถูกทำการเผาไหม้ที่อุณหภูมิ 680 องศาเซลเซียสโดยสกัดอากาศเป็นก๊าซcarbon dioxide ออกจากน้ำที่ทำให้เย็นลงโดย cooling tubing จากนั้นจะถูกกำจัดความชื้นโดยการดูดซับที่ pure water trap และส่งต่อไปที่ halogen scrubber เพื่อดูดซับอากาศกลุ่ม halogen จากนั้นส่งไปที่ NDIR เพื่อทำการวัดความเข้มข้นของแสงออกมานเป็นพื้นที่ไดกราฟ

2. วิเคราะห์หา inorganic carbon โดยนำตัวอย่างจะถูกเติมด้วยกรดฟอตฟลอริก เพื่อเปลี่ยนกลุ่มสาร inorganic carbon เป็นกําชาร์บอน ได้ออกไชด์จากนั้นเครื่องกํจะทำการวิเคราะห์ผลเหมือนกับขั้นตอนการวิเคราะห์ total organic carbon

3. วิเคราะห์หา inorganic carbon ในตัวอย่างน้ำที่มีปริมาณสาร inorganic carbon มากกว่าสาร organic carbon มากมาก โดยการเติมกรดໄลส่วนที่เป็น organic carbon ออกแล้ว วิเคราะห์ส่วนที่เป็น inorganic carbon



ภาพที่ 3.1 ความสัมพันธ์ระหว่างค่าการดูดกลืนแสงและความเข้มข้นของอินทรีย์คาร์บอน

วิธีการวิเคราะห์เครื่อง TOC

1. เตรียม ค่าความเข้มข้นของ Potassium Hydrogen Phthalate ที่ความเข้มข้น 0, 5000, 10000 และ 20000 ppb

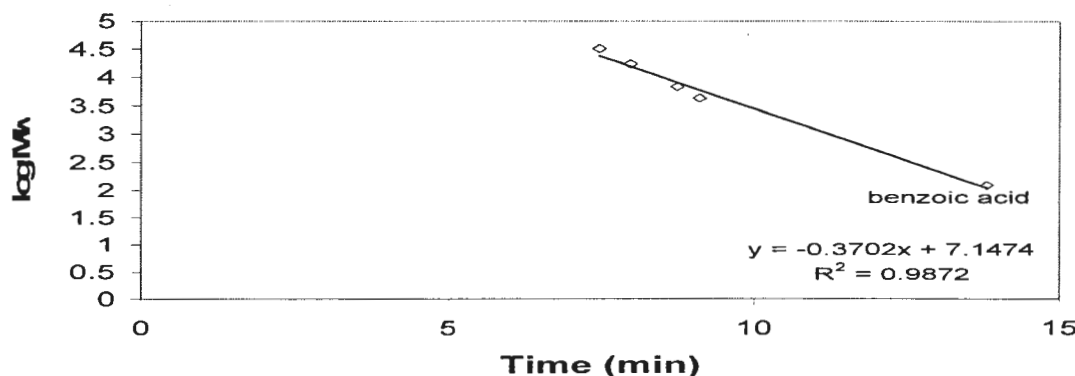
2. เตรียมตัวอย่างที่จะทำการวิเคราะห์โดยเจือจากความเข้มข้นของน้ำตัวอย่างให้มีค่าอยู่ในช่วงความเข้มข้นของ standard ที่นำมาทำการวิเคราะห์

3. ทำการวิเคราะห์โดยการนำตัวอย่างเข้าเครื่อง TOC โดยการใช้การวิเคราะห์แบบ Auto dilution สำหรับการวิเคราะห์ standard และทำการวิเคราะห์แบบ Auto injection สำหรับ วิเคราะห์ตัวอย่าง

3) เครื่องมือวิเคราะห์โคมาโโทรกราฟของเหลวสมรรถนะสูง (High performance liquid chromatography, HPLC)

เครื่องมือวิเคราะห์ขนาดโมเลกุลโดยใช้กระบวนการแยกแบบใช้ความดันสูง (High performance liquid chromatography, HPLC) รุ่น CTO – 10 Avp ของบริษัท Shimadzu Corporation (Japan) เป็นเครื่องมือที่ใช้ในการวิเคราะห์ขนาดโมเลกุลของสารอินทรีย์ในน้ำตัวอย่าง หลักการทำงานของเครื่อง HPLC

โดยนำตัวอย่างถูกฉีดเข้าไปใน column installation จากนั้นจะถูกสารที่เป็น mobile phase ซึ่งออกจาก column จากนั้นตัวอย่างจะถูกส่งต่อไปที่ UV detector โดยสารที่มีขนาดโมเลกุลที่ใหญ่กว่าจะถูกดูดออกมาก่อนเครื่องจะวิเคราะห์ออกมานเป็นพื้นที่ไดกราฟ ระหว่างค่าคูณกึ่นแสงของ UV กับเวลา



ภาพที่ 3.2 グラฟมาตรฐานของการวิเคราะห์ขนาดโมเลกุลด้วยเครื่อง HPLC

วิธีวิเคราะห์เครื่อง HPLC

- เตรียมตัวอย่าง standard ของ polysulfonate ที่ขนาดโมเลกุล 4300 6800 17000 32000 ดอลตัน และ benzoic acid ขนาดน้ำหนักโมเลกุล 122 กรัมต่อโมล
- จากนั้นทำการวิเคราะห์ตัวอย่างโดยต้องทำการกรองน้ำตัวอย่างผ่านกรวยกรองขนาด 0.45 ไมครอนก่อนนำไปทำการวิเคราะห์
- วิเคราะห์ตัวอย่างโดยการฉีดแบบ Auto injection

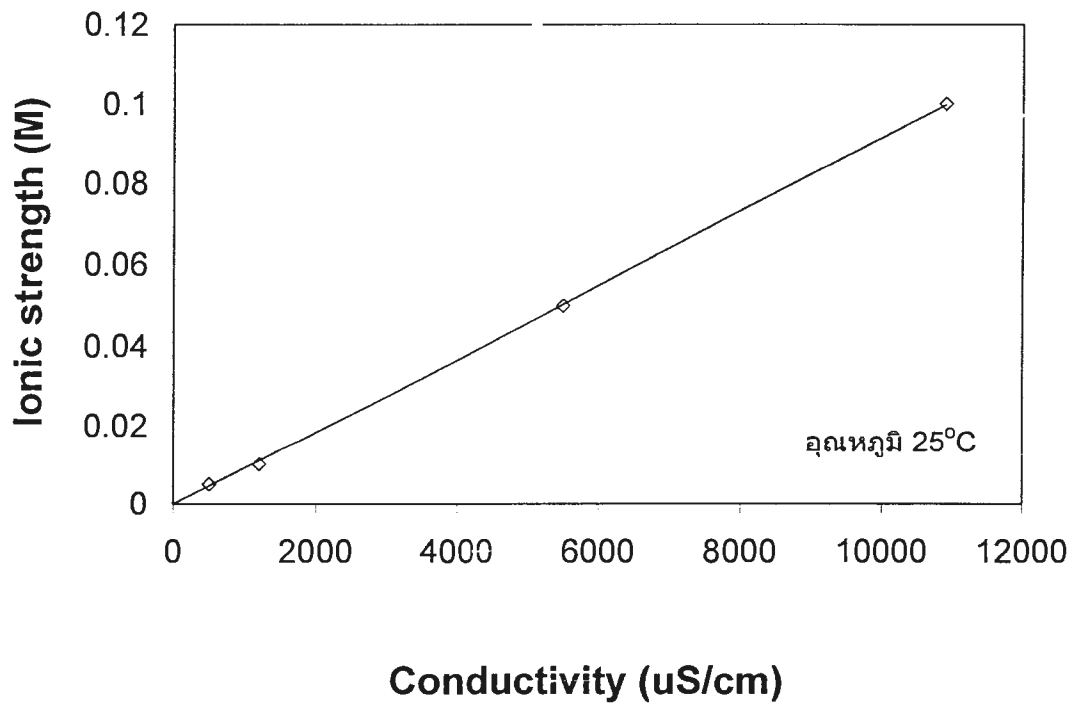
4) เครื่องวิเคราะห์ค่าการนำไฟฟ้า (Conductivity meter)

เครื่องมือวิเคราะห์ค่าการนำไฟฟ้า (Conductivity meter) รุ่น inoLab Cond

Level 2 จากบริษัท Wissenschaftlich- Technische Werkstatten (WTW) GmbH & Co. (Weilheim, Germany) เป็นเครื่องมือที่ใช้ในการวิเคราะห์ค่าการนำไฟฟ้าหรือปริมาณไอออนที่อยู่ในน้ำตัวอย่าง เช่น ไอออนที่เป็นประจุลบและเป็นประจุบวก แสดงหน่วยเป็นไมโครซีเมนต์ต่อเซนติเมตร ($\mu\text{S}/\text{cm}$) หรือ มิลลิซีเมนต์ต่อเซนติเมตร (mS/cm) ภาพที่ 3.3 แสดงความสัมพันธ์ระหว่างความเข้มข้นของโซเดียมคลอไรด์และค่าการนำไฟฟ้า แสดงเป็นสมการได้ดังนี้

$$\text{NaCl concentration (M)} = 9.0 \times 10^{-6} \times (\text{conductivity, } \mu\text{S}/\text{cm}) ; r^2 = 1$$

โดยที่ค่า Conductivity มีหน่วยเป็นไมโครซีเมนต์ต่อเซนติเมตร



ภาพที่ 3.3 กราฟมาตรฐานเปรียบเทียบระหว่างค่าความแรงประจุกับค่าการนำไฟฟ้า

3.2.3 ระบบเยื่อกรอง

3.2.3.1 ระบบเยื่อกรองแบบօσ莫ซิສผันกลับ (Reverse Osmosis Membrane)

ดังแสดงในภาพที่ 3.4 ประกอบด้วย

- เยื่อกรองแบบօσ莫ซิສผันกลับ จากบริษัท GE Osmonics ประเทศ

สหรัฐอเมริกา ประเภท Brackish Water- RO Polyamide PA Membrane ชนิด Thin-film composite (TFC) membrane รุ่น AG4040F (Spiral wound crossflow)

- ปั๊มแบบทราบสภาพปั๊ม Transfer pump (Model PL-95 M) จาก Barcelona

ประเทศสเปน

- ปั๊มที่มีความดันสูงแบบ High pressure boost pump (Model 25) จาก

GRUNDFOS

- ปั๊มน้ำแบบจุ่มลงในน้ำ (Submersible pump) ของ Monoflo จากประเทศ

ออสเตรเลีย

- ถังบรรจุ Cation exchange resin

- ถังกรองทราย

- ชุดกรองขนาด 5 ไมครอน (μm) เป็นแบบโพลีไพริเพลน (Polypropylene) ชนิด Purtrexdept cartridge filters, บริษัท GE Osmonics ประเทศสหรัฐอเมริกา

- ชุดกรองขนาด 1 ไมครอน (μm) เป็นแบบโพลีไพริเพลน (Polypropylene) ชนิด Purtrexdept cartridge filters, บริษัท GE Osmonics ประเทศสหรัฐอเมริกา

- ชุดกรองขนาด 0.45 ไมครอน (μm) เป็นแบบโพลีไพริเพลน (Polypropylene) ชนิด Flotrex PN pleated filters, บริษัท GE Osmonics ประเทศสหรัฐอเมริกา

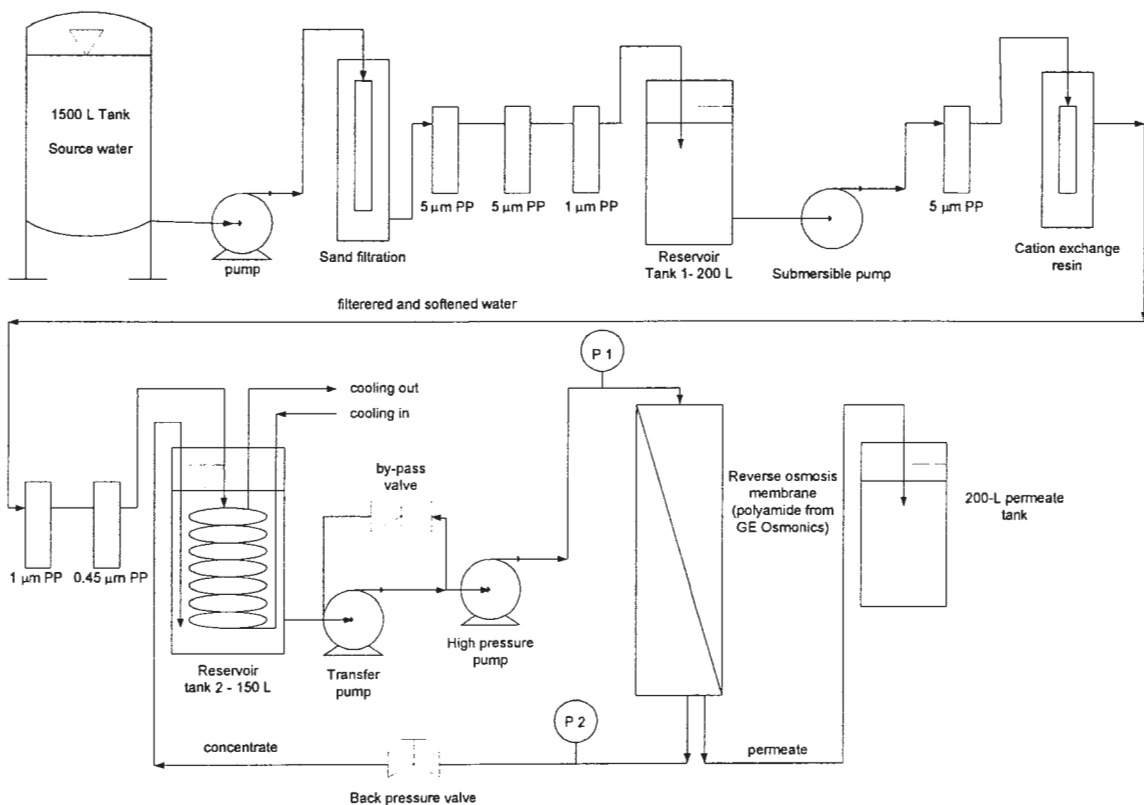
- เครื่องชั่งของ Kern & Sohn GMBH (Model EOB 60K50) ประเทศเยอรมนี

- ถังน้ำสแตนเลส ขนาด 1,500 ลิตร ของ บริษัท แอล.วี.พี. กรุ๊ปโปรดักส์ ประเทศ

ไทย

- ถังน้ำสแตนเลส ขนาด 150 ลิตร

- ถังน้ำ ขนาด 200 ลิตร



ภาพที่ 3.4 แผนภาพแสดงการทำงานของระบบเยื่อกรองแบบօสโมซิสผันกลับ

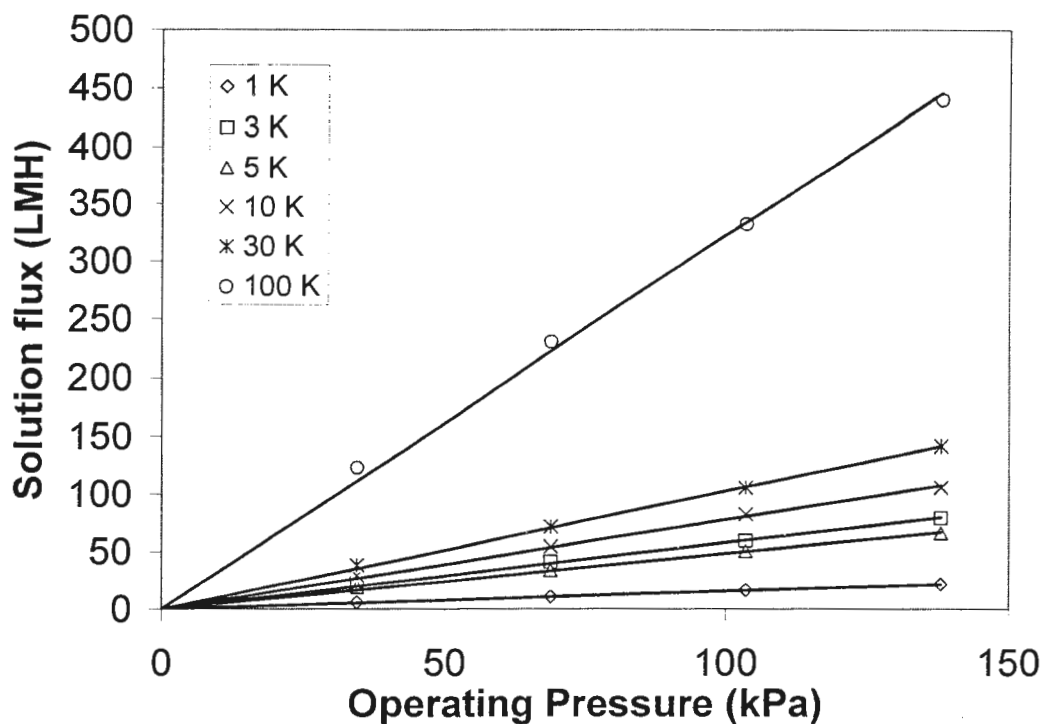
3.2.3.2 ระบบเยื่อกรองแบบขั้ลตัว (Ultrafiltration Membrane)

ดังแสดงในภาพที่ 3.5

ตารางที่ 3.1 แสดงเยื่อกรองอัลตราฟิลเตอร์ชันแบบ hollow fiber cartridge

ขนาดรูพรุน	Model Number	พื้นที่หน้าตัด(cm ²)	Batch Number
1 K	UFP-1- C-4 MA	625	4-1533
3 K	UFP-3- C-4 MA	625	4-1134
5 K	UFP-5- C-4 MA	625	4-1484
10 K	UFP-10- C-4 MA	625	4-1408
30 K	UFP-30- C-4 MA	625	4-1436
100 K	UFP-100- C-4 MA	625	4-1349

- ปั๊มน้ำดูดเล็กของ Watsan Marlow 323 Pump ประเทศสหรัฐอเมริกา
- เครื่องซั่งของ Shimadzu รุ่น BL-2200H ผลิตในประเทศญี่ปุ่น

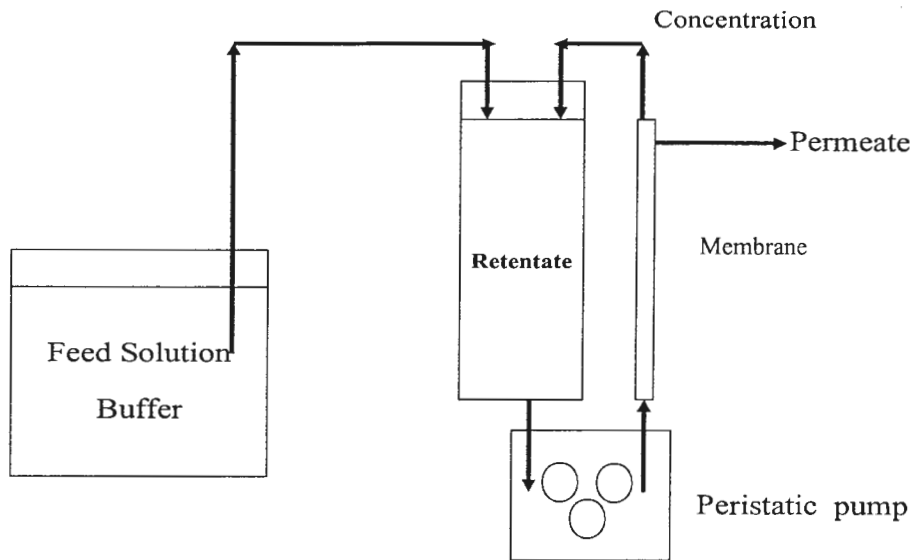


ภาพที่ 3.5 คุณสมบัติการซึมผ่านของแผ่นเมมเบรน

จากภาพที่ 3.5 เป็นกราฟแสดงค่าพลักซ์ต่างๆ ของแต่ละเมมเบรนที่เปลี่ยนแปลงไปตามความดันที่ใช้ทดสอบในการดำเนินระบบ และจากการศึกษาคุณสมบัติของการซึมผ่านแผ่นเมมเบรนแต่ละขนาดจะทำให้ทราบค่าสัมประสิทธิ์การซึมผ่านของแผ่นเมมเบรนแต่ละขนาด โดยการหาค่าความชันของแต่ละกราฟจะได้ค่าสัมประสิทธิ์การซึมผ่านของแผ่นเมมเบรนตามตารางที่ 3.2

ตารางที่ 3.2 ค่าสัมประสิทธิ์การซึมผ่าน

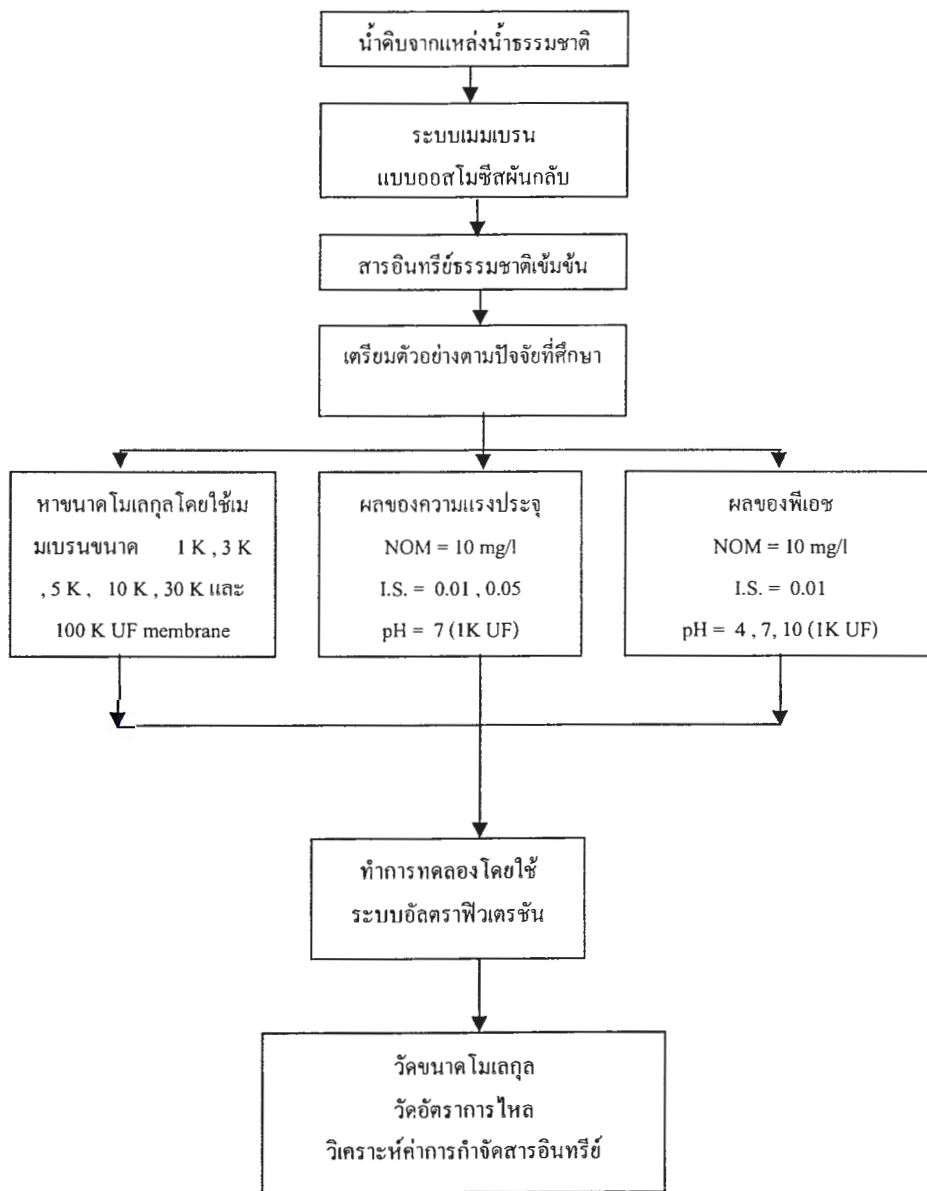
ขนาดรูพรุนแผ่นเมมเบรน (ดาลตัน)	ค่าสัมประสิทธิ์การซึมผ่าน ($\text{Lm}^{-2}\text{hr}^{-1}\text{kPa}^{-1}$)
100000	3.23
30000	1.03
10000	0.78
5000	0.59
3000	0.49
1000	0.16



ภาพที่ 3.6 แผนภาพแสดงการทำงานของระบบเยื่อกรองแบบอัลตราฟิลเตอร์ชั้น

3.3 ขั้นตอนการดำเนินงานวิจัย

ในการวิจัยนี้แบ่งขั้นตอนการดำเนินงานออกเป็น 2 ขั้นตอนใหญ่ๆ ได้แก่ 1) การหาขนาดโมเลกุลของสารอินทรีย์ธรรมชาติ และ 2) การศึกษาปัจจัยที่มีผลต่อการอุดตันของเยื่อกรองแบบอัลตราฟิลเตอร์ชั้น ได้แก่ พีเอช และสภาพความแรงของไออกอน การหาขนาดโมเลกุลของสารอินทรีย์ธรรมชาติ ภาพที่ 3.6 แสดงแผนภาพขั้นตอนการดำเนินงานวิจัย



ภาพที่ 3.7 แผนภาพขั้นตอนการดำเนินงานวิจัย

3.4 ตัวอย่างน้ำและการเพิ่มความเข้มข้นของสารอินทรีทางธรรมชาติ

3.4.1 การเก็บตัวอย่างน้ำ

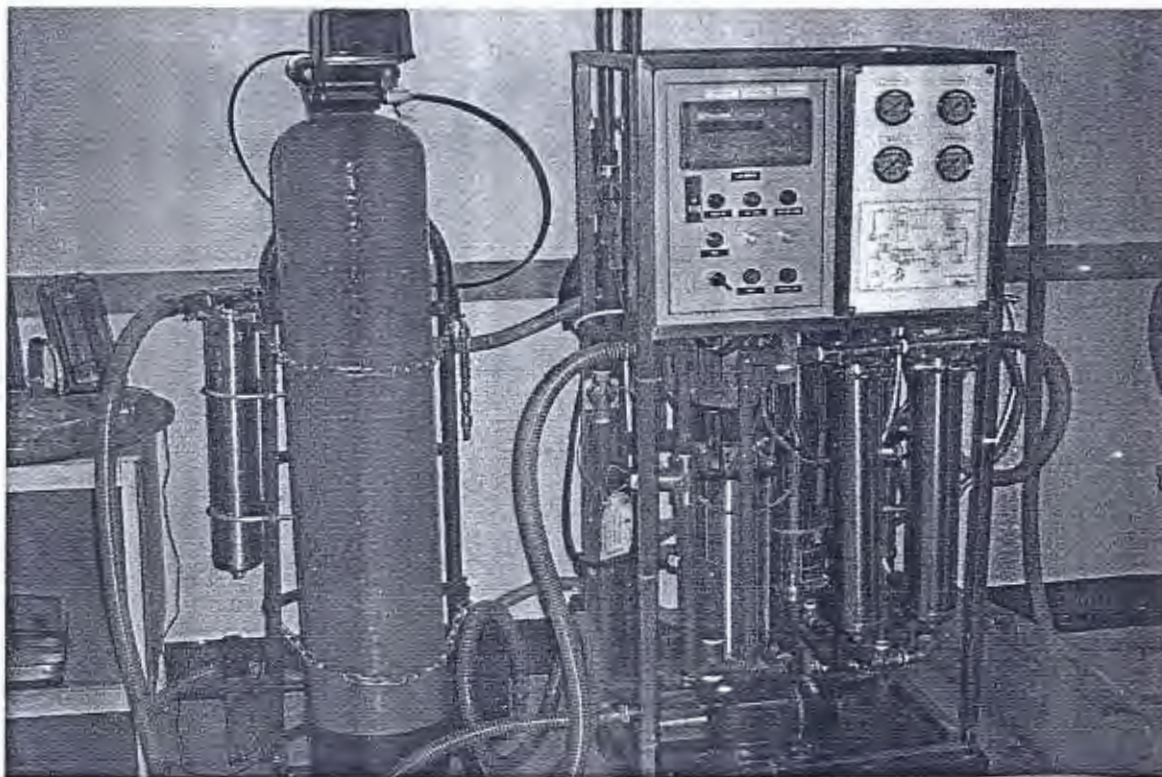
ตัวอย่างน้ำถูกนำมาจากแหล่งน้ำผิวดินธรรมชาติภายในบริเวณมหาวิทยาลัย อุบลราชธานี ซึ่งใช้เป็นแหล่งน้ำดิบสำหรับกระบวนการผลิตน้ำเพื่อการอุปโภคและบริโภคภายในมหาวิทยาลัย ตัวอย่างน้ำประมาณ 1,500 ลิตรถูกเก็บไว้ภายในถังสแตนเลส ก่อนนำไปสู่กระบวนการเพิ่มความเข้มข้นของสารอินทรีทางธรรมชาติโดยใช้ระบบอํอสโนซิสพันกัลบ น้ำตัวอย่างถูกเก็บตัวอย่างและทำการวิเคราะห์คุณลักษณะต่างๆ ได้แก่ พีเอช, ค่าการนำไฟฟ้า

(Conductivity), ค่าการดูดกลืนแสง UV_{254 nm} และสารอินทรีย์คาร์บอนทั้งหมด (Total Organic Carbon)

3.4.2 การเพิ่มความเข้มข้นของสารอินทรีย์ทางธรรมชาติ

ระบบเยื่อกรองแบบօอส โมซิสพันกลับ เป็นระบบที่ใช้แยกสารอินทรีย์ทางธรรมชาติในแหล่งน้ำธรรมชาติ ดังแสดงในภาพที่ 3.4 การเพิ่มความเข้มข้นของสารอินทรีย์ทางธรรมชาติมีขั้นตอนดังนี้

1. เก็บตัวอย่างน้ำจากแหล่งน้ำดิบประมาณ 1,000 ลิตร
2. ผ่านเข้าสู่กระบวนการรับน้ำดิบเมื่อต้นเพื่อกำจัดสิ่งสกปรกที่มีขนาดใหญ่ และกำจัดไอออนที่ส่งผลต่อการเกิดตะกรันบนผิวของเยื่อกรองแบบօอส โมซิสพันกลับ
3. การผ่านน้ำเข้าสู่ระบบเยื่อกรองทำให้สามารถแยกน้ำออกมาได้เป็น 2 ส่วน คือน้ำที่มีผ่านระบบเยื่อกรองแบบօอส โมซิสพันกลับที่มีความสะอาดสูงหรือมีความเข้มข้นของสารอินทรีย์ต่ำมากเรียกว่า เพอร์เมอต (Permeate) และน้ำที่ไม่ผ่านเยื่อกรอง เรียกว่า คอนเซนเกรต (Concentrate) ซึ่งมีความเข้มข้นของสารอินทรีย์ทางธรรมชาติสูง อันเนื่องมาจากความสามารถในการกักกัน (Retention) ของเยื่อกรอง
4. ทำการเวียน (Retentate) น้ำคอนเซนเกรตกลับไปปั้งถังป้อน ผสมกับน้ำดิบเพื่อป้อนเข้าสู่ระบบเยื่อกรองตลอดเวลาที่เดินระบบ ส่วนน้ำเพอร์เมอตที่ผลิตได้ ถือว่าเป็นน้ำที่มีความบริสุทธิ์สูง ถูกเก็บแยกในถังเก็บ เพื่อนำไปใช้ในกระบวนการล้างระบบต่อไป
5. หยุดการเดินระบบเยื่อกรอง ตามข้อ 4. เมื่อปริมาณน้ำเพอร์เมอตที่ผลิตได้มีค่าประมาณ 970 ลิตร และน้ำคอนเซนเกรตในถังป้อน ลดลงเหลือประมาณ 30 ลิตร
6. เก็บน้ำคอนเซนเกรต ซึ่งมีความเข้มข้นของสารอินทรีย์ทางธรรมชาติสูงนำไปวิเคราะห์ค่าความเข้มข้นของสารอินทรีย์เพื่อใช้ในการศึกษาประสิทธิภาพ และการเกิดการอุดตันของสารอินทรีย์ทางธรรมชาติบนผิวของเยื่อกรองแบบอัลตราฟิลเตอร์ชั้นต่อไป



ภาพที่ 3.8 ภาพแสดงระบบเยื่อกรองแบบօโซโนซิสผันกลับ

3.5 การแยกขนาดโมเลกุลและการหาเปอร์เซ็นต์ของมวลสารอินทรีย์ธรรมชาติ

โดยทำการดำเนินระบบออกเป็น 2 ส่วนการทำงาน ได้แก่ Concentration Mode กับ Dialfiltration Mode

3.5.1 Concentration Mode มีขั้นตอนดังนี้

1. เตรียมน้ำด้วยย่างความเข้มของสารอินทรีย์ 40 มิลลิกรัมต่อลิตร ค่าความแรงของประจุเท่ากับ 0.01 และพีอ่อนเท่ากับ 7 ปริมาตร 10 ลิตร

2. ทำการ feed น้ำด้วยย่างที่เตรียมไว้โดยทำการแยกขนาดจากเมมเบรนที่มีขนาด 100 K ก่อน

3. ดำเนินระบบไปจนถึงกระทั้งน้ำในส่วนที่อยู่ในส่วน Concentrate เหลือปริมาตร 1.5 ลิตร

4. ทำการ Dialfiltration Mode เก็บน้ำด้วยย่างในส่วนของ Concentrate แล้วนำไปวัดขนาดโมเลกุล

3.5.2 Dialfiltration Mode มีขั้นตอนดังนี้

1. ทำการ feed สารละลายน้ำ Buffer ที่มีค่าความแรงประจุเท่ากับ 0.01 และมีค่า pH เอชเท่ากับ 7
2. ดำเนินระบบต่อไปจนกระทั่งสารละลายน้ำ Buffer หมดไป 1.5 ลิตร
3. นำส่วนของน้ำเพอร์มิเอทธิ์ที่ผ่านกระบวนการอัลตราฟิลเตอร์ชั้นทั้ง 2 ระบบไปทำการแยกขนาดโมเลกุลที่ 30K, 10K, 5K, 3K, และ 1K ตามลำดับต่อไป
4. นำส่วนของน้ำที่เป็น Concentrate ของแต่ละเมมเบรนที่ได้ไปทำการวัดขนาดโมเลกุลของสารอินทรีย์ที่ทำการศึกษา

ตารางที่ 3.3 ตารางสรุปการศึกษาปัจจัยที่มีผลต่อการอุดตันของเยื่อกรองแบบอัลตรา

ปัจจัยที่ศึกษา	ค่าที่ศึกษา	ปัจจัยควบคุม
ขนาดโมเลกุลของสารอินทรีย์ธรรมชาติ	<1K, 1K-3K, 3K-5K, 5K-10K, 10K-30K, 30K-100K และ >100K	pH = 7, I.S. = 0.01 M, NOM = 40 mg.L ⁻¹ Buffer (pH = 7, I.S. = 0.01 M)

3.6 การศึกษาการทำงานระบบเยื่อกรองแบบอัลตราฟิลเตอร์ชั้น

3.6.1 แผ่นเมมเบรนแบบอัลตราชั้น

ในการวิจัย ใช้เยื่อกรองแบบอัลตราของ A/G Technology Corporation ลักษณะของเมมเบรนจะเป็นแบบท่อม้วนของพานอกจะคล้ายโมดูลแบบท่อจะเก็บรักษาโดยแท่งไว้ในสารละลายน้ำ Sodium Azide ความเข้มข้น 100mg/L เพื่อป้องกันการทำปฏิกิริยากับออกซิเจน แล้วนำไปเชื่อมต่อเข้ากับอุปกรณ์เพื่อผลการเริ่มต้นโดยติดต่อกันโดยไม่มีรอยต่อ โดยเยื่อกรองแบบอัลตราฟิลเตอร์ชั้นที่ใช้ในการทดลองมีคุณสมบัติดังตารางที่ 3.3

ตารางที่ 3.4 คุณสมบัติของเยื่อกรองแบบอัลตราของ A/G Technology Corporation

คุณลักษณะ	ค่า
ประเภทของเยื่อกรอง	Hollow fiber cartridge
วัสดุที่ใช้ทำเยื่อกรอง	Polysulfone
ขนาดรูพรุน	<1K, 1K-3K, 3K-5K, 5K-10K, 10K-30K, 30K-100K และ >100K
พื้นที่ผิว	0.625 m ²
ความยาว	31.8 cm.
เส้นผ่านศูนย์กลาง	3.2 cm.
ความดันของการดำเนินการ	15 psi (724.5 kPa)

3.6.2 การทำความสะอาดเยื่อกรอง

มีขั้นตอนดังนี้

- นำเยื่อกรองแบบอัลตราที่ได้เก็บรักษาไว้ออกแบบ ล้างด้วยน้ำปราศจากไออกอน
- ติดตั้งเยื่อกรองในชุดทดลองเยื่อกรอง
- ทำการล้างเบส โดยใช้ดับสารละลาย NaOH เข้มข้น 0.001 โมลต่อลิตร โดยการฟลัชซิ่งประมาณ 45 นาที
- ล้างออกด้วยน้ำปราศจากไออกอน โดยผ่านน้ำปราศจากไออกอนจนกระหั่งพีเอชของน้ำที่ออกจากระบบเท่ากับพีเอชของน้ำที่เข้าสู่ระบบ
- ทำการเดินระบบด้วยน้ำตัวอย่าง

3.6.3 การเก็บรักษาเมมเบน

เก็บไว้ในสารละลายโซเดียมเอไซด์ความเข้มข้น 100 mg/l เก็บไว้ในภาชนะปิดเพื่อไม่ให้สัมผัสกับอากาศที่อุณหภูมิ 4 องศาเซลเซียส

3.6.4 ขั้นตอนการเดินระบบเยื่อกรองแบบอัลตรา

เครื่องมือที่ใช้ในการทดสอบการทำงานของเยื่อกรองแบบอัลตราฟิลเตอร์ชั้นได้แก่ ชุดทดลองเยื่อกรอง (A/G Technology Corporation) ซึ่งเป็นระบบเยื่อกรองแบบไอลาวง (Crossflow filtration unit) ดังภาพที่ 3.5 โดยในการทดลองคึ่งระบบเยื่อกรองแบบอัลตราทำการควบคุมการทำงานของระบบดังนี้

- อัตราการไ Choiเริ่มต้น (Initial flux) :	1.68 ลิตรต่อนาที
- ความดันของการดำเนินการ	15 พีโซช์ไฮ
- เวลาที่ใช้ในการเดินระบบ :	250 นาที

ขั้นตอนการเดินระบบเบื้องต้น

1. ติดตั้งเบื้องต้นในระบบ และทำความสะอาดเบื้องต้น ดังได้กล่าวมาแล้วในข้อ

3.5.1 และ 3.5.2

2. ทำความสะอาดเบื้องต้นใช้โดย เดินระบบด้วย NaOH 0.0001M เป็นเวลา อย่างน้อย 45 นาที วัดอัตราการไหลของน้ำผ่านเบื้องต้น (Pure water permeability) ปรับสภาพการทำงานของระบบดังได้กล่าวมาแล้วข้างต้น

3. ผ่านน้ำตัวอย่างที่ต้องการศึกษา เริ่มจับเวลาหนึ่งแต่น้ำตัวอย่างผ่านเข้าสู่ระบบเบื้องต้น

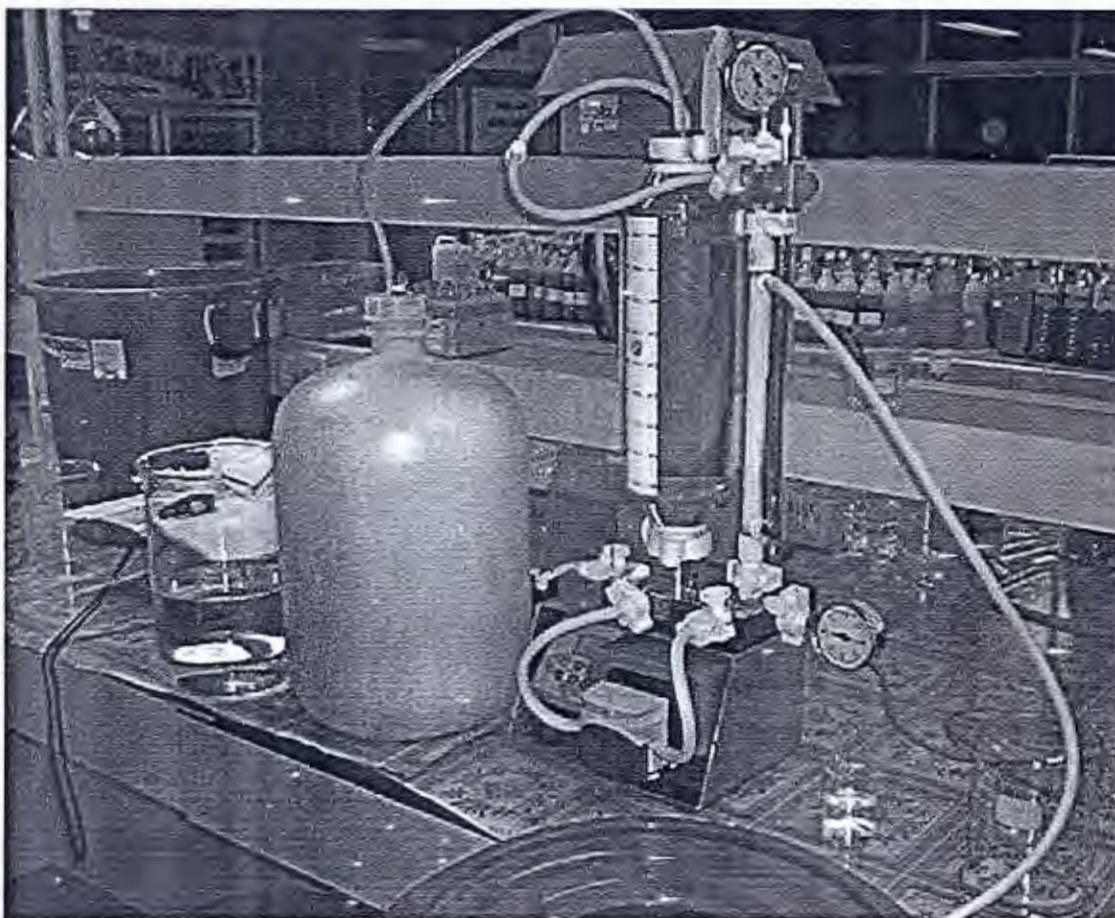
4. วัดอัตราการไหล ทุก 10 นาทีในช่วง 1 ชั่วโมงแรกและทุก 30 นาทีหลังจากนั้น ตลอดการเดินระบบ เพื่อศึกษาการทดลองของอัตราการไหลอันเนื่องมาจากการอุดตัน การวัดอัตราการไหล โดยใช้บีกเกอร์ขนาด 100 มิลลิลิตร รองน้ำที่ผ่านออกมายางเพอร์มีเอท เป็นเวลา 1 นาที แล้วนำไปปั่งน้ำหนัก (เนื่องจากต้องการความแม่นยำจึงต้องใช้การซ้ำน้ำหนัก) เพื่อคำนวณหาอัตราการไหลของเพอร์มีเอท

5. เก็บตัวอย่างน้ำและนำไปวิเคราะห์ค่าพีโซช์ สภาพการนำไฟฟ้า ค่าการดูดกลืน แสง สารอินทรีย์ทั้งหมด เพื่อทดสอบความสามารถของเบื้องต้นในการกักสาร โดยเก็บตัวอย่างทั้งหมด 6 ตัวอย่าง ที่ปริมาตร 250 มิลลิลิตร, 1,000 มิลลิลิตร, 1,500 มิลลิลิตร, 2,000 มิลลิลิตร, 2,500 มิลลิลิตร, และ 3,000 มิลลิลิตร โดยทำการเก็บตัวอย่างน้ำเพอร์มีเอท

6. ทำความสะอาดเบื้องต้นด้วยน้ำปราศจากไอออนเมื่อเดินระบบครบเวลาที่กำหนด โดยการใช้น้ำปราศจากไอออนໄไล่สารอินทรีย์ทางธรรมชาติในระบบออกมานอก โดยใช้น้ำประมาณ 1,000 มิลลิลิตร เป็นการทำความสะอาดสารอินทรีย์ที่เกาะอยู่บนผิวน้ำเบื้องต้น โดยการฟลัชชิ่งใช้เวลาประมาณ 45 นาที วัดอัตราการไหลของน้ำเพอร์มีเอท ด้วยการผ่านน้ำปราศจากไอออน

7. ทำความสะอาดเบื้องต้นด้วยค่าง โดยผ่านด้วยสารละลายโซเดียมไฮดรอกไซด์ เก็บขั้น 0.0001 ไมลตอลิตร โดยการฟลัชชิ่งประมาณ 45 นาที เพื่อทำความสะอาดสารอินทรีย์ทางธรรมชาติที่ถูกดูดซับและอุดตันเบื้องต้นที่ยังเหลืออยู่หลังจากทำความสะอาดด้วยน้ำปราศจากไอออนแล้ว วัดอัตราการไหลของน้ำเพอร์มีเอท ด้วยการผ่านน้ำปราศจากไอออน

8. ถังเยื่อกรองด้วยน้ำปราศจากไออกอนอิกซ์ และเก็บเยื่อกรองที่ผ่านการใช้งานแล้ว เพื่อนำไปวิเคราะห์หาหลักฐานการอุดตันต่อไป



ภาพที่ 3.9 ภาพระบบเยื่อกรองแบบอัลตราฟิลเตอร์ชั้น

3.7 การศึกษาปัจจัยที่มีผลต่อการอุดตันของเมมเบรนแบบอัลตรา

การศึกษาปัจจัยที่มีผลต่อการอุดตันเยื่อกรองแบบอัลตราสามารถที่จะสรุปได้ดังตารางที่ 3.5

ตารางที่ 3.5 ตารางสรุปการศึกษาปัจจัยที่มีผลต่อการอุดตันของเมมเบรนแบบอัลตราฟิลเตอร์ชั้น

ปัจจัยที่ศึกษา	ค่าที่ศึกษา	ปัจจัยควบคุม
ค่าความแรงของประจุ	0.01, และ 0.05 M	$\text{NOM} = 10 \text{ mg.L}^{-1}$, pH = 7
ค่าพีอีอช	4, 7, และ 10	$\text{NOM} = 10 \text{ mg.L}^{-1}$, I.S. = 0.01

3.7.1 ผลของการความแรงของประจุ (Ionic Strength)

1. เจือจางสารอินทรีย์ทางธรรมชาติที่มีความเข้มข้นสูง ด้วยน้ำประปาจากไ้อ่อนให้มีค่าความเข้มข้นประมาณ 10 มิลลิกรัมของคาร์บอนต่อลิตร
2. ปรับพีอีอชให้มีค่าประมาณ 7 โดยการใช้ HCl ความเข้มข้น 0.01 โมลต่อลิตรหรือ NaOH ความเข้มข้น 0.01 โมลต่อลิตร
3. วัดค่าการนำไฟฟ้าเพื่อใช้ในการปรับค่าความแรงของประจุ (Ionic Strength)
4. ปรับค่าความแรงของประจุ โดยใช้ NaCl โดยแบร์ค่าความแรงของประจุเท่ากับ 0.01, และ 0.05 โมลต่อลิตร
5. ทำการเดินระบบเมมเบรนแบบอัลตราฟิลเตอร์ชั้นตามที่ได้กล่าวไว้แล้วในหัวข้อ 3.5

3.7.2 ผลของการพีอีอช

1. เจือจางสารอินทรีย์ทางธรรมชาติที่มีความเข้มข้นสูง ด้วยน้ำประปาจากไ้อ่อนให้มีค่าความเข้มข้นประมาณ 10 มิลลิกรัมของคาร์บอนต่อลิตร
2. ปรับพีอีอช โดยแบร์ค่าพีอีอช ที่ 4, 7 และ 10 โดยใช้ HCl เข้มข้น 0.01 โมลต่อ ลิตร หรือ NaOH เข้มข้น 0.01 โมลต่อลิตร
3. วัดค่าการนำไฟฟ้าเพื่อใช้ในการปรับค่าความแรงของประจุ (Ionic Strength)
4. ปรับค่าความแรงของประจุ โดยใช้ NaCl ให้มีค่าเท่ากับ 0.01 โมลต่อลิตร
5. ทำการเดินระบบเมมเบรนแบบอัลตราฟิลเตอร์ชั้นตามที่ได้กล่าวไว้แล้วในหัวข้อ 3.5

3.8 การวิเคราะห์ตัวอย่าง

ตัวอย่างนี้ที่เก็บจากการศึกษาผลกระทบของปัจจัยต่างๆ จากการเดินระบบ เมมเบรนแบบอัลตราฟิลเตอร์ชั้น นำมาวิเคราะห์ค่าพารามิเตอร์ต่างๆ ดังแสดงไว้ในตารางที่ 3.6

ตารางที่ 3.6 พารามิเตอร์ที่ศึกษาและเครื่องมือที่ใช้ในการวิเคราะห์ตัวอย่างน้ำ

พารามิเตอร์	เครื่องมือ
สภาพการนำไฟฟ้า	เครื่องวัด Conductivity
ค่าการดูดกลืนแสง	UV-Visible Spectrophotometer
สารอินทรีย์ทั้งหมด	Total Organic Carbon Analyzer (TOC)
ขนาดโมเลกุลสารอินทรีย์ธรรมชาติ	HPLC

บทที่ 4

ผลการทดลอง

4.1 คุณลักษณะของน้ำตัวอย่าง

แหล่งน้ำผิวดินที่ใช้ในการผลิตน้ำประปาเพื่อการอุปโภคและบริโภคภายในมหาวิทยาลัย

ตารางที่ 4.1 คุณลักษณะทางกายภาพและทางเคมีของแหล่งน้ำ

พารามิเตอร์	ค่าที่วัดได้
พีเอช	7.04
สารคาร์บอนทั้งหมด (Total organic carbon)	5.54 mg.L ⁻¹
การดูดกลืนแสง UV _{254nm} (UV Absorbance)	0.1432 cm ⁻¹
การดูดกลืนแสงจำเพาะ (Specific UVA (UV _{254nm} /TOC))	5.98 L. mg ⁻¹ . m ⁻¹
การนำไฟฟ้า (Conductivity) ที่อุณหภูมิ 25°C	30.7 μ S.cm ⁻¹
ความขุ่น (Turbidity)	6.25 NTU
ความกระด้าง (Hardness)	15.4 mg as CaCO ₃ /L
ความเป็นกรด (Alkalinity) i.e. HCO ₃ ⁻	22 mg as CaCO ₃ /L
ปริมาณแคลเซียม (Ca ²⁺)	5.6 mg as CaCO ₃ /L
ปริมาณแมกนีเซียม (Mg ²⁺)	9.8 mg as CaCO ₃ /L
ปริมาณคลอไรด์ (Cl ⁻)	3.25 mg Cl ⁻ /L
ปริมาณซัลเฟต (SO ₄ ²⁻)	0.07 mg SO ₄ ²⁻ /L

จากข้อมูลในตารางจะเห็นได้ว่าค่าจากพารามิเตอร์ของน้ำตัวอย่าง มีค่าคุณสมบัติทั้งทางกายภาพและคุณสมบัติทางเคมีอยู่ในเกณฑ์มาตรฐานของน้ำดื่ม ที่สามารถนำมาทำการผลิตน้ำประปาได้เป็นอย่างดีเมื่อเทียบกับตารางคุณภาพน้ำดื่มตามตารางที่ 2.3 และค่าพีเอชของที่วัดได้มีค่าเท่ากับ 7.04 อยู่ในช่วงของค่าพีเอชที่จะทำการศึกษาคืออยู่ในช่วงพีเอช 4-10 ส่วนค่าของสาร

การบอนทั้งหมดของน้ำดินมีค่าเท่ากับ 5.54 มิลลิกรัมต่อลิตรซึ่งอยู่ในช่วงที่ใช้ทำการศึกษาคือ 10 มิลลิกรัมต่อลิตรจากการเตรียมน้ำดื่วอย่างที่ผ่านกระบวนการกรองแบบข้อกลับ

4.2 การศึกษาสมดุลมวลของสารอินทรีย์ธรรมชาติ

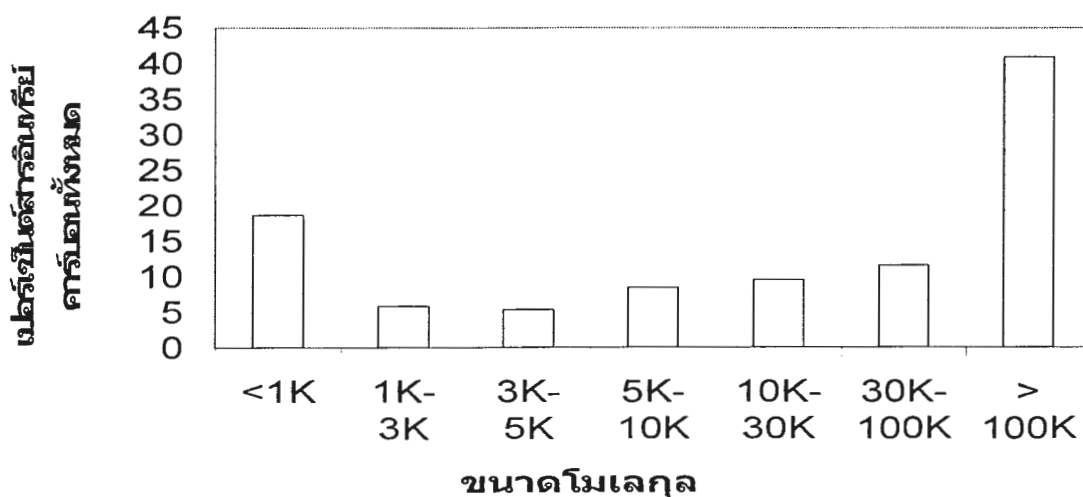
ในการศึกษาสมดุลมวลของสารอินทรีย์ธรรมชาติของแหล่งน้ำที่ทำการศึกษาโดยใช้กระบวนการกรองแบบอัลตราฟิลเตอร์ชั้น ทำการแยกขนาดโมเลกุลของสารอินทรีย์ธรรมชาติโดยใช้ เมมเบรนขนาด 100 K, 30K, 10K, 5K, 3K, และ 1K ตามลำดับ สามารถแยกช่วงขนาดโมเลกุลของสารอินทรีย์ธรรมชาติได้ตามช่วงขนาดมากกว่า 100K, ช่วงขนาดโมเลกุล 30K-100K, ช่วงขนาดโมเลกุล 10K-30K, ช่วงขนาดโมเลกุล 5K-10K, ช่วงขนาดโมเลกุล 3K-5K, ช่วงขนาดโมเลกุล 1K-3K และช่วงขนาดน้อยกว่า 1K ตามลำดับ และทำการวัดหาปริมาณมวลของสารอินทรีย์ธรรมชาติ ตามแต่ละช่วงของขนาดโมเลกุลต่างๆ โดยใช้เครื่อง TOC

ตารางที่ 4.2 ตารางเปอร์เซ็นต์มวลของสารอินทรีย์ในช่วงขนาดโมเลกุลต่างๆ และเปอร์เซ็นต์ การสูญเสีย

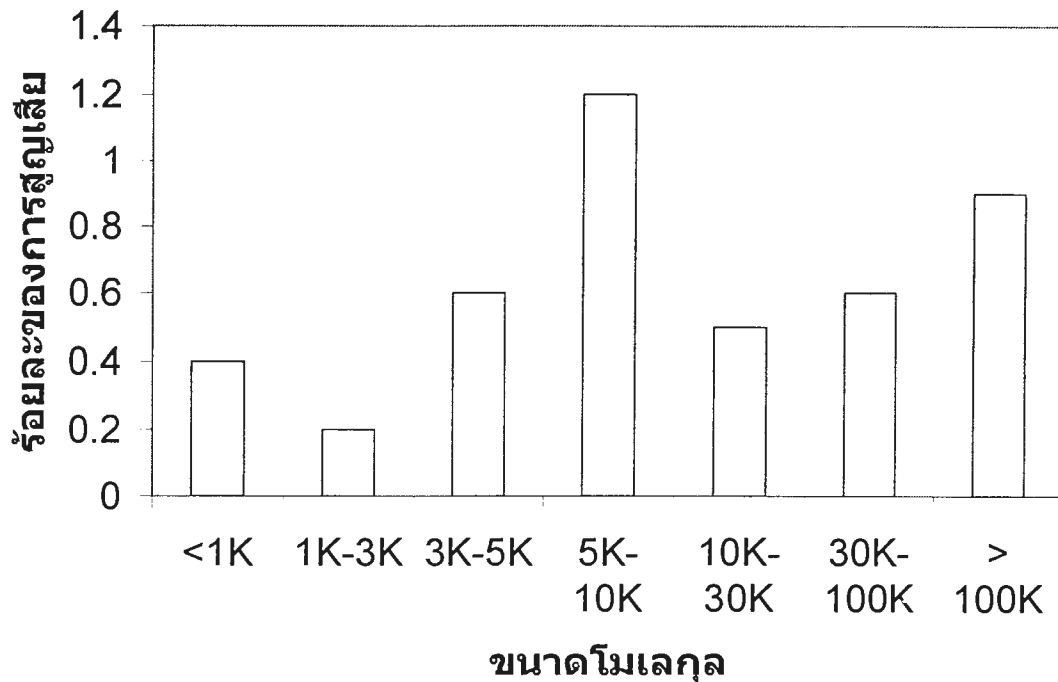
ช่วงขนาดโมเลกุล (ดาตัน)	ร้อยละของมวลสารอินทรีย์	ร้อยละของการสูญเสีย
<1000	18.2	0.4
1000-3000	5.6	0.2
3000-5000	4.7	0.6
5000-10000	7.2	1.2
10000-30000	9.0	0.5
30000-100000	10.9	0.6
> 100000	40.0	0.9
รวม	95.6	4.4

จากค่าในตารางพบว่าค่าเปอร์เซ็นต์การสูญเสียเปอร์เซ็นต์มวลของสารอินทรีย์ที่สูญเสียไปเนื่องมาจากการติดค้างบนผิวเมมเบรนโดยที่แผ่นเมมเบรนขนาด 5000 ดาตันที่ทำการแยกขนาดโมเลกุลของสารอินทรีย์ธรรมชาติในช่วง 5K-10K มีค่าเปอร์เซ็นต์การสูญเสียน้ำ ของสารอินทรีย์มากที่สุดคือ 1.2 เปอร์เซ็นต์เนื่องจากว่าขนาดโมเลกุลของสารอินทรีย์ธรรมชาติในน้ำดินมีขนาด 4,144 กรัมต่้อมล ซึ่งมีขนาดค่อนข้างที่จะใกล้เคียงกับขนาดของเมมเบรนและจาก การศึกษาสมดุลมวลพบว่าช่วงขนาดโมเลกุลมากกว่า 100K มีขนาด 17,687 กรัมต่้อมล และมี

ເປົ່ອຮັ້ນຕົ້ມວລານາກທີ່ສຸດນີ້ຄ່າເທົ່າກັບ 40 ເປົ່ອຮັ້ນຕົ້ມຈຶ່ງມີໂຄສະກຳທີ່ຈະຕິດຄ້າງບນຜິວເມນແບຣນນາກຈຶ່ງ
ສ່ວນຄ່າເປົ່ອຮັ້ນຕົ້ມການສູງເສີຍເປົ່ອຮັ້ນຕົ້ມວລາຂອງສາຣອິນທຣີຢີໃນຊ່ວງ 1K-3K ນີ້ຄ່າເປົ່ອຮັ້ນຕົ້ມການ
ສູງເສີຍມວລາຂອງສາຣອິນທຣີຢີນ້ອຍທີ່ສຸດຄືອ 0.2 ເປົ່ອຮັ້ນຕົ້ມເນື່ອງຈາກເປົ່ອຮັ້ນຕົ້ມວລາຂອງສາຣອິນທຣີຢີທີ່ມີ
ຂນາດນ້ອຍກວ່າ 1K ມີຄ່າຄ່ອນຂ້າງນາກຈຶ່ງມີໂຄສະກຳທີ່ຫຼຸດລອດຜ່ານຮູບຂອງເມນແບຣນຄ່ອນຂ້າງສູງຈຶ່ງທຳໄໝໃໝ່
ສາຣອິນທຣີຢີຮຽນຫາຕິດຄ້າງບນຜິວເມນແບຣນຄ່ອນຂ້າງນ້ອຍແລະຄ່າເປົ່ອຮັ້ນຕົ້ມການສູງເສີຍເປົ່ອຮັ້ນຕົ້ມ
ມວລາຂອງສາຣອິນທຣີຢີຮຽນທີ່ກົມທັງໝົດເທົ່າກັບ 4.4 ເປົ່ອຮັ້ນຕົ້ມ



ກາພົຖ້າ 4.1 ຮູບຍະດູຂອງມວລສາຣອິນທຣີຢີຄາຮັບອນ



ภาพที่ 4.2 ร้อยละของการสูญเสีย岷สารอินทรียธรรมชาติ

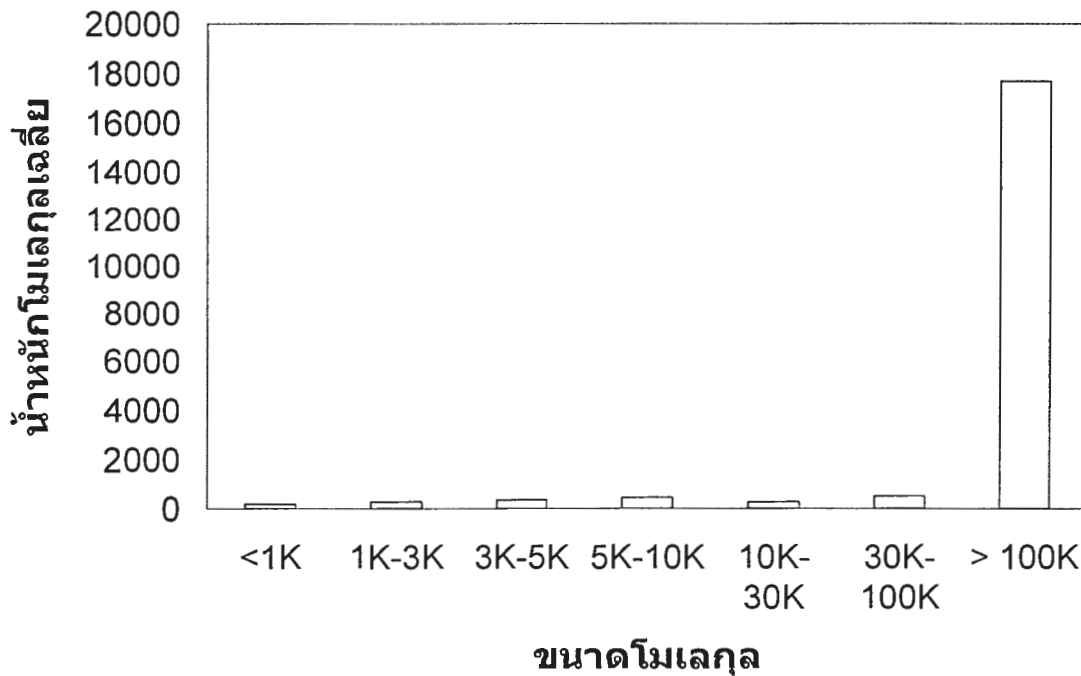
จากการภาพที่ 4.1 เปอร์เซ็นต์มวลของสารอินทรีคาร์บอนขนาด โนมเลกุลมากกว่า 100 K มีค่ามากที่สุดประมาณ 40 เปอร์เซ็นต์และขนาดน้อยกว่า 1K มีเปอร์เซ็นต์มวลของสารอินทรีคาร์บอนรองลงมาประมาณ 18.2 เปอร์เซ็นต์และขนาด โนมเลกุลของสารอินทรีธรรมชาติช่วง 30K-100K, 10K-30K, 5K-10K, 1K-3K และ 3K-5K มีปริมาณมีเปอร์เซ็นต์มวลของสารอินทรีคาร์บอนน้อยลงมาตามลำดับ โดยมีค่าประมาณ 10.9, 9, 7.2, 5.6 และ 4.7 เปอร์เซ็นต์ตามลำดับ และจากกราฟภาพที่ 4.2 จะพบว่าร้อยละของการสูญเสียของสารอินทรีคาร์บอนช่วงขนาด โนมเลกุล 5K-10K มีร้อยละของการสูญเสียของสารอินทรีคาร์บอนเท่ากับ 1.2 รองลงมาช่วงขนาด โนมเลกุลมากกว่า 100K, ช่วงขนาด โนมเลกุล 30K-100K, ช่วงขนาด โนมเลกุล 3K-5K, ช่วงขนาด โนมเลกุล 10K-30K, ช่วงขนาด โนมเลกุลน้อยกว่า 1K และช่วงขนาด โนมเลกุล 1K-3K มีร้อยละของการสูญเสียของสารอินทรีคาร์บอนเท่ากับ 0.9, 0.6, 0.6, 0.5, 0.4 และ 0.2 ตามลำดับ ซึ่งสอดคล้องกับงานวิจัยของ Fan และคณะ (1997) พบว่ามวลของสารอินทรีธรรมชาติส่วนใหญ่ของแหล่งน้ำพิวัตินในธรรมชาติเป็นกลุ่มไฮโดรฟอฟบิกที่มีขนาด โนมเลกุลค่อนข้างใหญ่

4.3 ขนาดโมเลกุลของสารอินทรีย์ธรรมชาติ

จากการศึกษามวลสมดุลของสารอินทรีย์ธรรมชาติโดยทำการแยกขนาดโมเลกุลของสารอินทรีย์ข้างต้น แล้วนำขนาดโมเลกุลของสารอินทรีย์ธรรมชาติต่อละช่วงขนาดโมเลกุลมากขึ้นโดยใช้เครื่อง HPLC โดยจะศึกษาหาค่า M_w ซึ่งคือค่า น้ำหนักโมเลกุลเฉลี่ย และค่า M_n ซึ่งเท่ากับค่า จำนวนโมเลกุลเฉลี่ย ซึ่งจะนำเอาสองค่านี้มาเปรียบเทียบอัตราส่วนระหว่าง M_w/M_n จะทำให้สามารถทราบลักษณะของสารอินทรีย์ธรรมชาติในแหล่งน้ำ ว่ามีการกระจายตัวของขนาดโมเลกุลของสารอินทรีย์ธรรมชาติในแหล่งน้ำมากน้อยเพียงใด โดยที่ถ้าช่วงขนาดโมเลกุลของสารอินทรีย์ธรรมชาติที่มีค่า M_w/M_n มีค่าน้อยกว่าหนึ่งแสดงว่าช่วงขนาดโมเลกุลของสารอินทรีย์ธรรมชาตินั้นมีขนาดค่อนข้างที่จะใกล้เคียงกัน แต่ถ้าช่วงขนาดโมเลกุลของสารอินทรีย์ธรรมชาติที่มีค่า M_w/M_n มีค่ามากกว่าหนึ่งแสดงว่าช่วงขนาดโมเลกุลของสารอินทรีย์ธรรมชาตินั้นมีขนาดการกระจายตัวของสารอินทรีย์ธรรมชาตินั้นค่อนข้างจะมีขนาดโมเลกุลหลายขนาด

ตารางที่ 4.3 ขนาดโมเลกุลเฉลี่ยและค่าการกระจายตัวของสารอินทรีย์ธรรมชาติ

ขนาดโมเลกุล	MW	MN	ค่าการกระจายตัว = MW / MN
<1K	187	209	0.89
1K-3K	277	136	2.02
3K-5K	352	174	2.02
5K-10K	441	219	2.02
10K-30K	267	281	0.95
30K-100K	500	863	0.57
>100K	17687	827	21.37
น้ำดิบ	4144	244	16.95

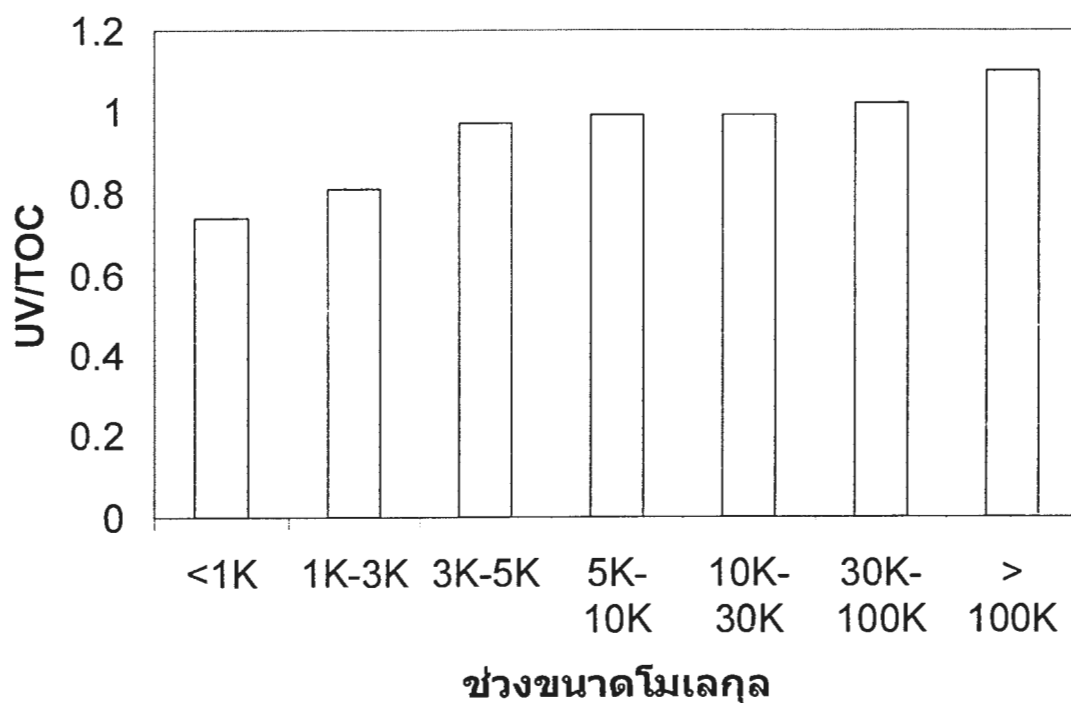


ภาพที่ 4.3 น้ำหนักโน้มเลกุลเฉลี่ยของแต่ละช่วงขนาดโน้มเลกุลต่างๆ

จากราคากราฟที่ 4.3 จะเห็นได้ว่าค่าการกระจายตัวของช่วงขนาดโน้มเลกุลของสารอินทรีที่มีขนาดมากกว่า 100K มีค่าการกระจายตัวมากที่สุดมีค่าเท่ากับ 21.37 และช่วงขนาดโน้มเลกุลของสารอินทรีที่ 30K-100K มีค่าเท่ากับ 0.57 ซึ่งค่าการกระจายเป็นค่าที่ใช้บ่งบอกให้ทราบถึงการที่โน้มเลกุลของสารอินทรีที่เราทำการศึกษามีขนาดโน้มเลกุลหลายขนาดที่ปั้นกันอยู่ในสารละลายนั้นๆ และจากราฟที่ 4.3 จะพบว่าน้ำหนักโน้มเลกุลเฉลี่ยของช่วงขนาดโน้มเลกุลน้อยกว่า 1K, ช่วงขนาดโน้มเลกุล 1K-3K, ช่วงขนาดโน้มเลกุล 3K-5K, ช่วงขนาดโน้มเลกุล 5K-10K, ช่วงขนาดโน้มเลกุล 10K-30K และ ช่วงขนาดโน้มเลกุล 30K-100K นั้นมีขนาดน้ำหนักโน้มเลกุลใกล้เคียงกัน แสดงให้เห็นว่าน้ำหนักในแหล่งน้ำนี้ส่วนใหญ่จะมีขนาดโน้มเลกุลที่เล็กกับขนาดโน้มเลกุลที่ใหญ่เบ่งไห้เห็นเป็นสองกลุ่มใหญ่ๆ ซึ่งสัมพันธ์กับค่าร้อยละส่วนใหญ่ของสารอินทรีธรรมชาติที่ส่วนจะมีร้อยละของมวลสารอินทรีธรรมชาติ 40 ในช่วงขนาดโน้มเลกุลน้อยกว่า 1K ซึ่งมีร้อยละของมวลสารอินทรีค่อนข้างมากในแหล่งน้ำที่ใช้ศึกษาในครั้งนี้

ตารางที่ 4.4 ตารางเปรียบเทียบระหว่างค่าyuวีและค่าที่โอดีของช่วงโนเมเลกุลขนาดต่างๆ

ขนาดโนเมเลกุล	TOC (mg/L)	UV (1/cm)	UV/ TOC (L/mg-m)
< 1K	7.28	0.0544	0.74
1K-3K	14.93	0.1224	0.81
3K-5K	12.53	0.1222	0.97
5K-10K	19.20	0.1902	0.99
10K-30K	3.60	0.0355	0.99
30K-100K	4.36	0.0449	1.02
> 100K	109.00	1.2032	1.10
น้ำดิบ	40.00	0.4021	1.00



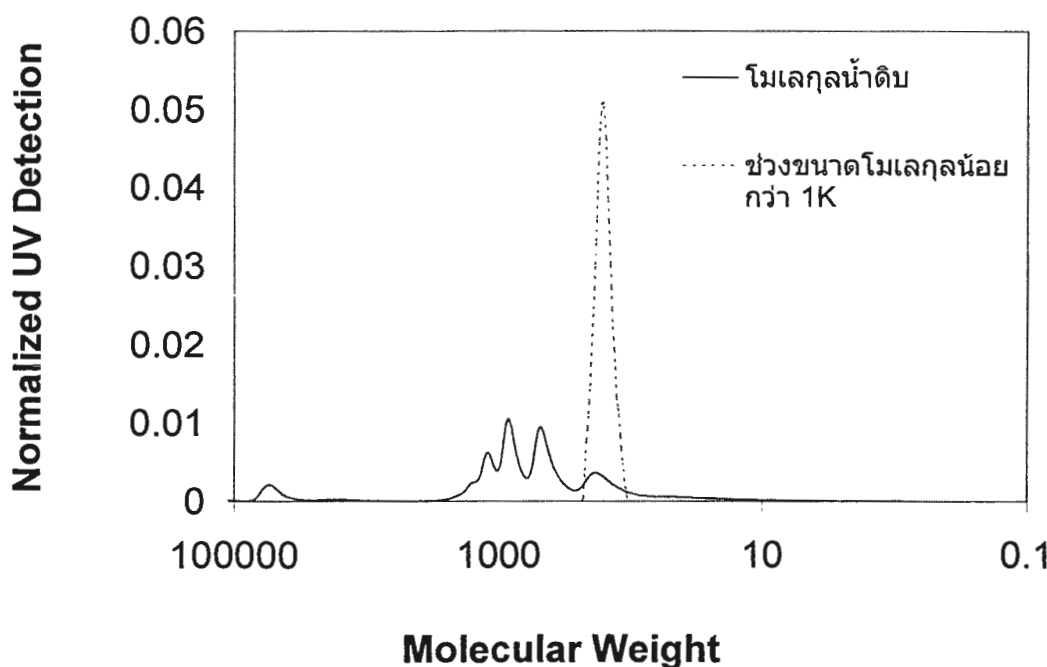
ภาพที่ 4.4 ค่าอัตราส่วนระหว่าง UV/ TOC ในแต่ละช่วงขนาดโนเมเลกุลต่างๆ

จากตารางที่ 4.4 พนวณค่าอัตราส่วนyuวีต่อที่โอดีของช่วงขนาดโนเมเลกุลมากกว่า 100K มีค่ามากที่สุดมีค่าเท่ากับ 1.10 ส่วนค่าอัตราส่วนyuวีต่อที่โอดีของช่วงขนาดโนเมเลกุลน้อยกว่า 1K มีค่าน้อยที่สุดมีค่าเท่ากับ 0.74 ซึ่งอัตราส่วนของค่าyuวีต่อที่โอดีเป็นค่าคงที่แสดงถึงช่วงขนาดโนเมเลกุลที่มีขนาดใหญ่ขึ้นมีค่าyuวีต่อที่โอดีเพิ่มขึ้นเนื่องจากคลื่นแสงyuวีจะมีการตรวจจับพันธุ์ของโนเมเลกุล

ของสารอินทรีย์ไดค์ ซึ่งไม่เลกุลของสารอินทรีย์ที่มีพันธะคู่จะมีขนาดไม่เลกุลค่อนข้างใหญ่ดังนั้น จากค่าในตารางข้างต้นแสดงให้เห็นว่าในในแหล่งน้ำที่ใช้ในการศึกษาพบว่าช่วงขนาดไม่เลกุลมากกว่า 100K มีเปอร์เซ็นต์มวลมากที่สุดและมีขนาดไม่เลกุลเท่ากับ 17,687 กรัมต่อโมลซึ่งมีขนาดค่อนข้างใหญ่และสัมพันธ์กับค่าญี่วีต่อที่โอดี และจากการภาพที่ 4.4 จะพบว่าค่าญี่วีต่อที่โอดีจะเพิ่มขึ้นตามช่วงขนาดไม่เลกุลที่เพิ่มขึ้น

4.4 การเปรียบเทียบขนาดไม่เลกุลของสารอินทรีย์ธรรมชาติโดยเครื่องอัลตราไฟลเตอร์ชัน และเครื่องHPLC

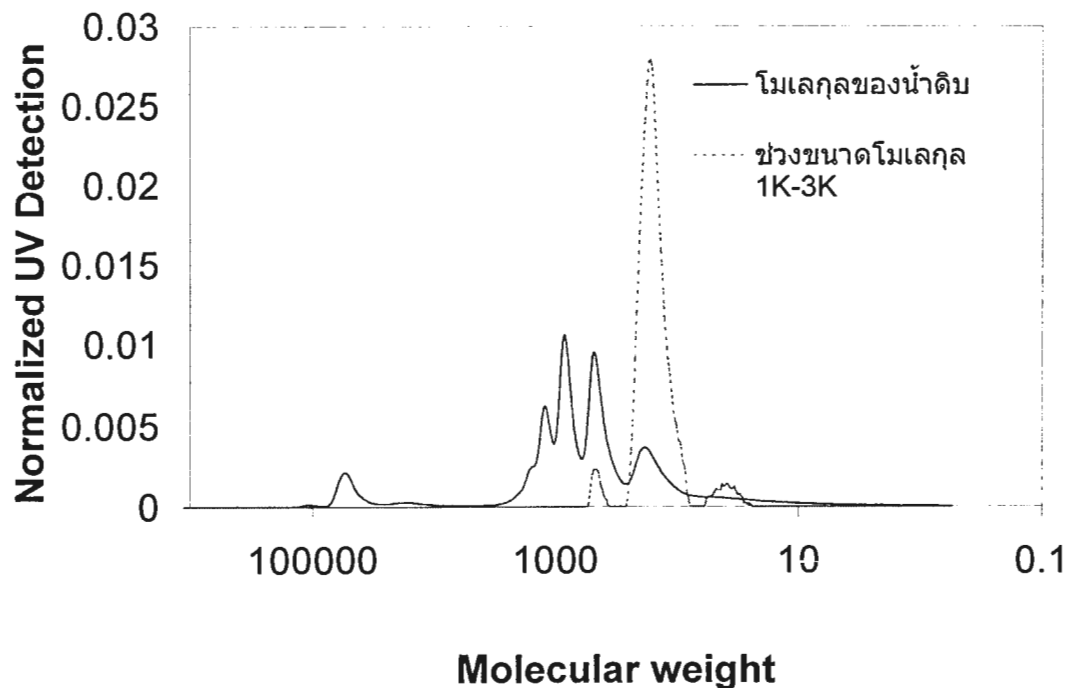
โดยศึกษาการแยกขนาดไม่เลกุลของสารอินทรีย์ธรรมชาติโดยการกรองแยกขนาดไม่เลกุลด้วยเยื่อกรองอัลตราไฟลเตอร์ชันศึกษาเปรียบเทียบระหว่างไม่เลกุลของน้ำดิบกับช่วงขนาดของสารอินทรีย์ธรรมชาติที่ผ่านการกรองด้วยระบบอัลตราไฟลเตอร์ชันในช่วงขนาดน้อยกว่า 1K , 1K-3K, 3K-5K, 5K-10K, 10K-30K, 30K-100K และขนาดมากกว่า 100K แสดงผลตามข้อมูลดังนี้



ภาพที่ 4.5 กราฟแสดงการเปรียบเทียบขนาดไม่เลกุลของสารอินทรีย์ธรรมชาติของน้ำดิบกับช่วงขนาดน้อยกว่า 1K .

จากการภาพที่ 4.5 ในช่วงขนาดไม่เลกุลของสารอินทรีย์ที่มีขนาดน้อยกว่า 1K มีฐาน Graf ค่อนข้างแคบซึ่งสอดคล้องกับค่า M_w/M_n ซึ่งมีค่าเท่ากับ 0.89 ซึ่งมีค่าน้อยกว่า 1 แสดงให้เห็น

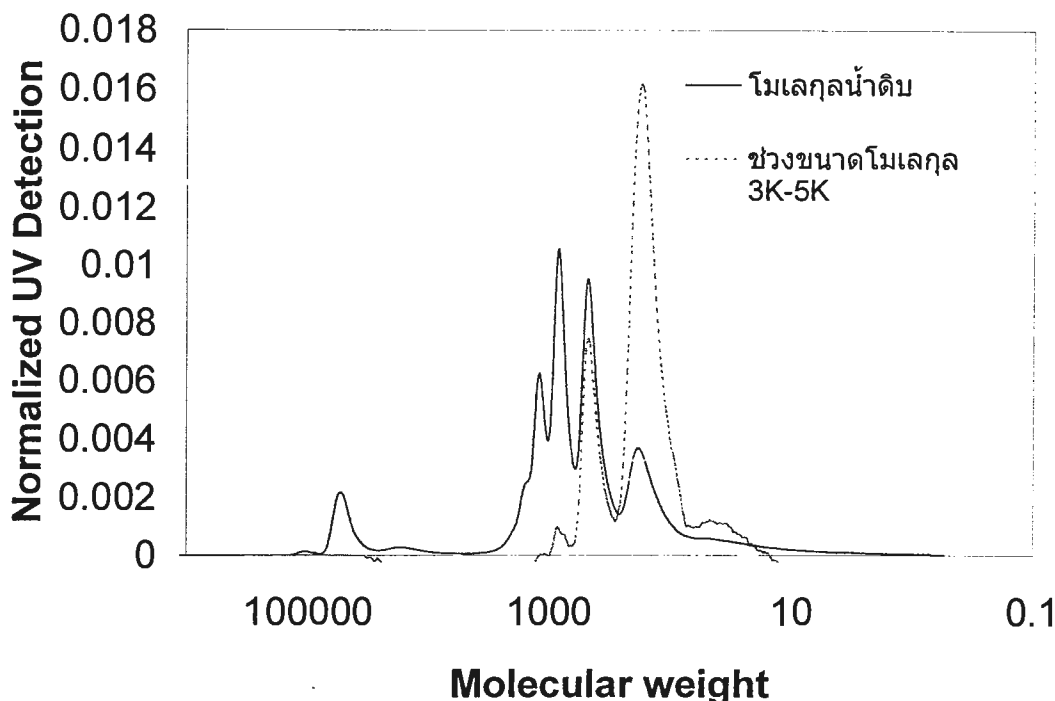
ว่าการกระจายตัวของสารอินทรีย์ธรรมชาติมีค่อนข้างน้อย เพราะจำนวนโมเลกุลเฉลี่ยส่วนใหญ่มีขนาดน้ำหนักโมเลกุลเฉลี่ยค่อนข้างใกล้เคียงกันและมีค่าญี่ต่อค่าที่โอซีเท่ากับ 0.74 ซึ่งจะมีขนาดโมเลกุลของสารอินทรีย์ธรรมชาติที่เป็นพันธะคู่ค่อนค้างน้อยดังนั้น โมเลกุลส่วนใหญ่จึงมีขนาดเล็กเมื่อเปรียบเทียบกับกราฟขนาด โมเลกุลของน้ำดิน พบร่วมกับกราฟค่อนข้างกว้างซึ่งสัมพันธ์กับค่าน้ำหนักโมเลกุลเฉลี่ยต่อค่าจำนวน โมเลกุลเฉลี่ยที่มีค่าสูง แสดงให้เห็นว่าขนาด โมเลกุลของสารอินทรีย์ในแหล่งน้ำที่ใช้ทำการศึกษามีการกระจายตัวของขนาด โมเลกุลของสารอินทรีย์ธรรมชาติค่อนข้างสูง และเมื่อเปรียบเทียบกับกราฟของน้ำดินพบว่าส่วนที่มีโมเลกุลขนาดใหญ่ของน้ำดินนั้นหายไปเนื่องจากถูกทำการแยกขนาด โมเลกุลที่มีขนาดใหญ่กว่าขนาดครูพรุนของแพ่นแม่นเบรนที่ใช้ออกไปโดยระบบอัตตราฟิลเตอร์ชั้น



ภาพที่ 4.6 그래ฟแสดงการเปรียบเทียบขนาด โมเลกุลของสารอินทรีย์ธรรมชาติของน้ำดินกับชั่งขนาด 1K-3K

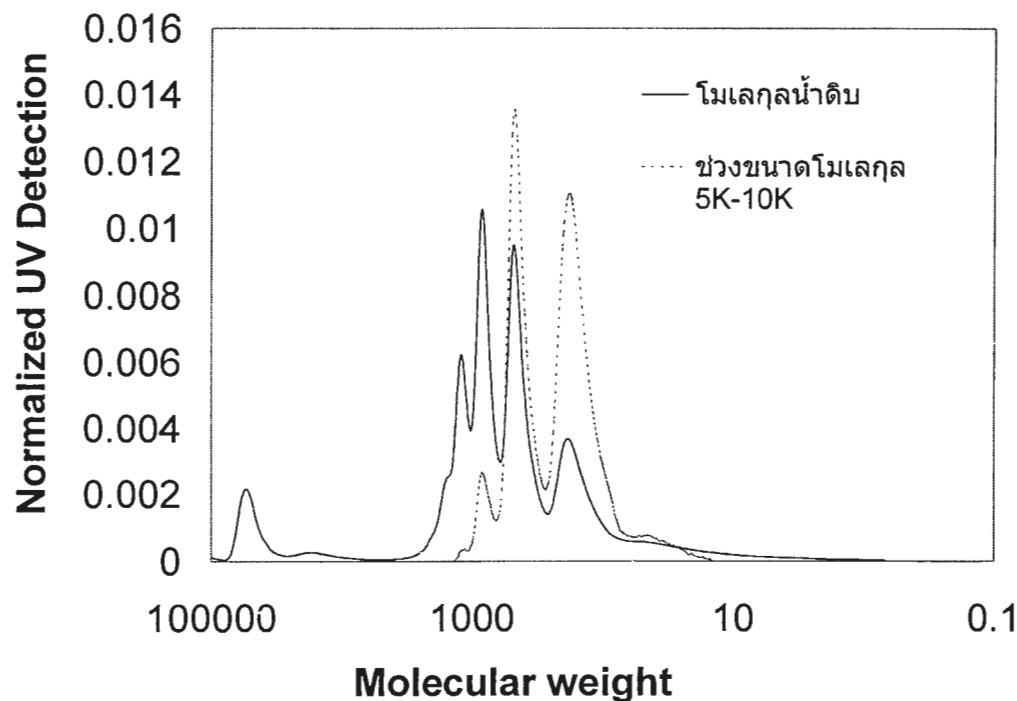
จากราฟภาพที่ 4.6 จะเห็นได้ว่ากราฟของขนาด โมเลกุลของสารอินทรีย์ในชั่งขนาด 1K-3K จะมีช่วงความกว้างของกราฟที่แคบกว่าเส้นกราฟของน้ำดินแต่มีความกว้างของกราฟมากกว่าช่วงขนาด โมเลกุลที่น้อยกว่า 1K ซึ่งสอดคล้องกับค่าญี่ต่อค่าที่โอซีเท่ากับ 0.81 ตามตารางที่ 4.4 เพราะมีการกระจายตัวของสารอินทรีย์ธรรมชาติน้อยกว่าในน้ำดินแต่มากกว่าช่วง โมเลกุลขนาดน้อยกว่า 1K และมีค่า M_w/M_n เท่ากับ 2.02 ซึ่งมีค่ามากกว่า 1 แสดงให้เห็นว่าค่าน้ำหนักโมเลกุล

เนลีบต่อค่าจำนวนโมเลกุลเฉลี่ยมีการกระจายตัวของสารอินทรีย์ธรรมชาติค่อนข้างสูงกว่าช่วงโมเลกุลขนาดน้อยกว่า 1K และเมื่อเปรียบเทียบกับกราฟของน้ำดินพบว่าส่วนที่มีโมเลกุลขนาดใหญ่ของน้ำดินนั้นหายไปเนื่องจากถูกทำการแยกขนาดโมเลกุลที่มีขนาดใหญ่กว่าขนาดครูพรุนของแผ่นเมมเบรนที่ใช้ออกไปโดยระบบอัลตราไฟลเตอร์ชัน



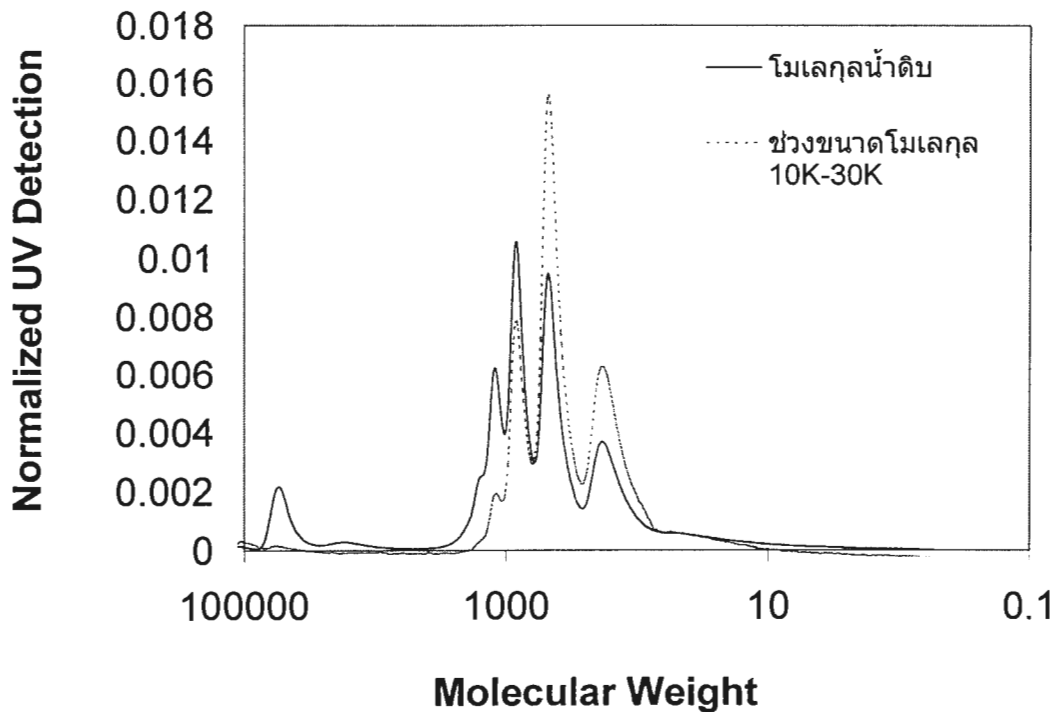
ภาพที่ 4.7 กราฟแสดงการเปรียบเทียบขนาดโมเลกุลของสารอินทรีย์ธรรมชาติของน้ำดินกับช่วงขนาด 3K-5K

จากราฟภาพที่ 4.7 จะเห็นได้ว่ากราฟของขนาดโมเลกุลของสารอินทรีย์ในช่วงขนาด 3K-5K จะมีช่วงความกว้างของกราฟที่แคบกว่าเส้นกราฟของน้ำดินแต่มีความกว้างของกราฟมากกว่าช่วงขนาดโมเลกุลที่น้อยกว่า 1K ซึ่งสอดคล้องกับค่าญี่ต่อค่าที่โอลซีเท่ากับ 0.97 ตามตารางที่ 4.4 เพราะมีการกระจายตัวของสารอินทรีย์ธรรมชาติน้อยกว่าในน้ำดินแต่มากกว่าช่วงโมเลกุลขนาด 1K-3K กับช่วงโมเลกุลขนาดน้อยกว่า 1K กับ ซึ่งดูได้จากมีค่าจำนวนโมเลกุลเฉลี่ยที่มีค่ามากกว่าทำให้กราฟมีการกระจายตัวมากกว่าและมีค่า M_w/M_n เท่ากับ 2.02 ซึ่งมีค่ามากกว่า 1 แสดงให้เห็นว่าค่าน้ำหนักโมเลกุลเฉลี่ยต่อค่าจำนวนโมเลกุลเฉลี่ยมีการกระจายตัวของสารอินทรีย์ธรรมชาติค่อนข้างสูงกว่าช่วงโมเลกุลขนาดน้อยกว่า 1K และเมื่อเปรียบเทียบกับกราฟของน้ำดินพบว่าส่วนที่มีโมเลกุลขนาดใหญ่ของน้ำดินหายไปเนื่องจากถูกทำการแยกขนาดโมเลกุลที่มีขนาดใหญ่กว่าขนาดครูพรุนของแผ่นเมมเบรนที่ใช้ออกไปโดยระบบอัลตราไฟลเตอร์ชัน



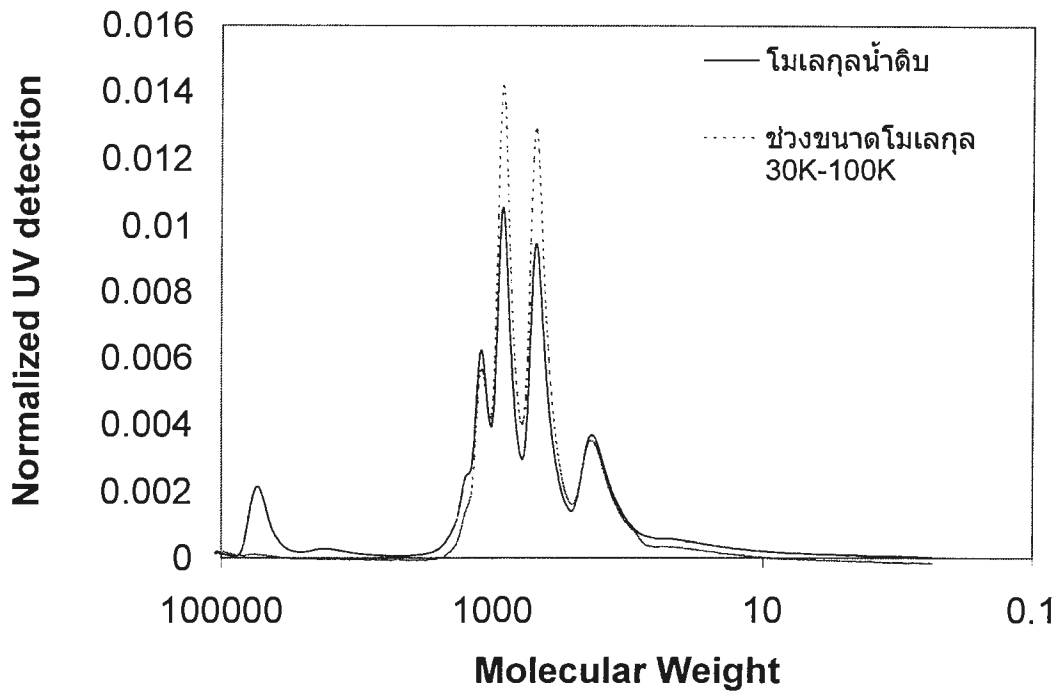
ภาพที่ 4.8 กราฟแสดงการเปรียบเทียบขนาดโนเมเลกุลของสารอินทรีธรรมชาติของน้ำดินกับช่วงขนาด 5K-10K

จากราฟภาพที่ 4.8 จะเห็นได้ว่ากราฟของขนาดโนเมเลกุลของสารอินทรีในช่วงขนาด 5K-10K จะมีช่วงความกว้างของกราฟที่แคบกว่าเส้นกราฟของน้ำดินแต่มีความกว้างของกราฟมากกว่าช่วงขนาดโนเมเลกุลที่น้อยกว่า 1K ซึ่งสอดคล้องกับค่าญี่ต่อค่าที่โอซีเท่ากับ 0.99 ตามตารางที่ 4.4 เพราะมีการกระจายตัวของสารอินทรีธรรมชาติน้อยกว่าในน้ำดินแต่มากกว่าช่วงโนเมเลกุลขนาด 3K-5K , ช่วงโนเมเลกุลขนาด 1K-3K และช่วงขนาดโนเมเลกุลน้อยกว่า 1K กับ ซึ่งดูได้จากมีค่าจำนวนโนเมเลกุลเฉลี่ยที่มีค่ามากกว่าทำให้กราฟมีการกระจายตัวมากกว่าและมีค่า M_w/M_n เท่ากับ 2.02 ซึ่งมีค่ามากกว่า 1 แสดงให้เห็นว่าค่าน้ำหนักโนเมเลกุลเฉลี่ยต่อค่าจำนวนโนเมเลกุลเฉลี่ยมีการกระจายตัวของสารอินทรีธรรมชาติค่อนข้างสูงกว่าช่วงโนเมเลกุลขนาด 5K-10K , ช่วงโนเมเลกุลขนาด 1K-3K และช่วงขนาดโนเมเลกุลน้อยกว่า 1K และเมื่อเปรียบเทียบกับกราฟของน้ำดินพบว่าส่วนที่มีโนเมเลกุลขนาดใหญ่ของน้ำดินนั้นหายไปเนื่องจากถูกทำการแยกขนาด โนเมเลกุลที่มีขนาดใหญ่กว่าขนาดพื้นฐานของแพ่นเมมเบรนที่ใช้ออกไปโดยระบบอัลตราไฟล์เตอร์ชัน



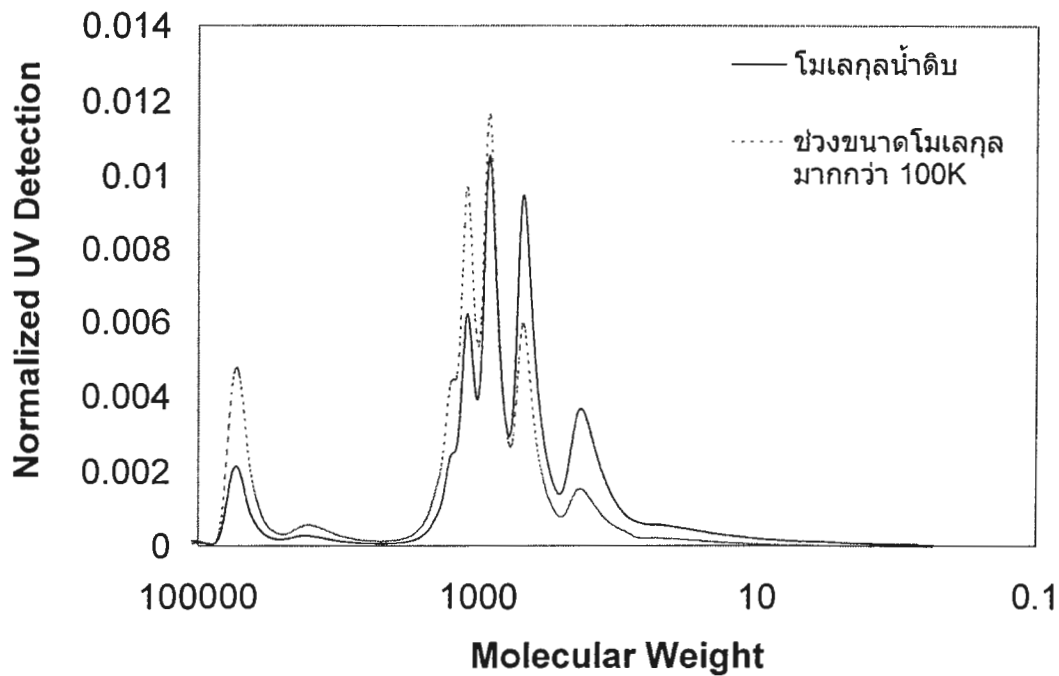
ภาพที่ 4.9 กราฟแสดงการเปรียบเทียบขนาดโนเมเลกุลของสารอินทรีย์ธรรมชาติของน้ำดินกับช่วงขนาด 10K-30K

จากราฟภาพที่ 4.9 จะเห็นได้ว่ากราฟของขนาดโนเมเลกุลของสารอินทรีย์ในช่วงขนาด 10K-30K จะมีช่วงความกว้างของกราฟที่แคบกว่าเส้นกราฟของน้ำดิน ซึ่งสอดคล้องกับค่า ζ ที่เท่ากับ 0.99 ตามตารางที่ 4.4 เพราะมีการกระจายตัวของสารอินทรีย์ธรรมชาติน้อยกว่าในน้ำดินเต็มากกว่าช่วงโนเมเลกุลขนาด 5K-10K , ช่วงโนเมเลกุลขนาด 3K-5K , ช่วงโนเมเลกุลขนาด 1K-3K และช่วงขนาดโนเมเลกุลน้อยกว่า 1K กับ ซึ่งดูได้จากมีค่าจำนวนโนเมเลกุลเฉลี่ยที่มีมากกว่าทำให้กราฟมีการกระจายตัวมากกว่าและมีค่า M_w/M_n เท่ากับ 0.95 ซึ่งมีค่าน้อยกว่า 1 แสดงให้เห็นว่าค่าน้ำหนักโนเมเลกุลเฉลี่ยต่อค่าจำนวนโนเมเลกุลเฉลี่ยมีการกระจายตัวของสารอินทรีย์ธรรมชาติค่อนข้างสูงกว่าช่วงโนเมเลกุลขนาด 5K-10K , ช่วงโนเมเลกุลขนาด 3K-5K , ช่วงโนเมเลกุลขนาด 1K-3K , ช่วงขนาดโนเมเลกุลน้อยกว่า 1K และเมื่อเปรียบเทียบกับกราฟของน้ำดินพบว่าส่วนที่มีโนเมเลกุลขนาดใหญ่ของน้ำดินนั้นหายไปเนื่องจากถูกทำการแยกขนาด โนเมเลกุลที่มีขนาดใหญ่กว่าขนาดครูพรุนของแพ่นเนมเบرنที่ใช้ออกไปโดยระบบอัลตราไฟลเตอร์ชัน



ภาพที่ 4.10 กราฟแสดงการเปรียบเทียบขนาดโนเมลกูลของสารอินทรีย์ธรรมชาติของน้ำดินกับช่วงขนาด 30K-100K

จากราฟภาพที่ 4.10 จะเห็นได้ว่ากราฟของขนาดโนเมลกูลของสารอินทรีในช่วงขนาด 30K-100K จะมีช่วงความกว้างของกราฟที่แคบกว่าส่วนกราฟของน้ำดิน ซึ่งสอดคล้องกับค่าญี่ว์ต่อค่าที่โอลีเท่ากับ 1.02 ตามตารางที่ 4.4 เพราะมีการกระจายตัวของสารอินทรีธรรมชาติน้อยกว่าในน้ำดินแต่มากกว่าช่วงโนเมลกูลขนาด 10K-30K , ช่วงโนเมลกูลขนาด 5K-10K , ช่วงโนเมลกูลขนาด 3K-5K , ช่วงโนเมลกูลขนาด 1K-3K และช่วงขนาดโนเมลกูลน้อยกว่า 1K กับ ซึ่งดูได้จากมีค่าจำนวนโนเมลกูลเฉลี่ยที่มีมากกว่าทำให้กราฟมีการกระจายตัวมากกว่าและมีค่า M_w/M_n เท่ากับ 0.57 ซึ่งมีค่าน้อยกว่า 1 แสดงให้เห็นว่าค่าน้ำหนักโนเมลกูลเฉลี่ยต่อค่าจำนวนโนเมลกูลเฉลี่ยมีการกระจายตัวของสารอินทรีธรรมชาติค่อนข้างสูงกว่าช่วงโนเมลกูลขนาด 10K-30K , ช่วงโนเมลกูลขนาด 5K-10K , ช่วงโนเมลกูลขนาด 3K-5K , ช่วงโนเมลกูลขนาด 1K-3K , ช่วงขนาดโนเมลกูลน้อยกว่า 1K และเมื่อเปรียบเทียบกับกราฟของน้ำดินพบว่าส่วนที่มีโนเมลกูลขนาดใหญ่ของน้ำดินน้ำหายไปเนื่องจากถูกทำการแยกขนาด โนเมลกูลที่มีขนาดใหญ่กว่าขนาดฐานะพูนของแผ่นเมมเบรนที่ใช้ออกไปโดยระบบอัลตราไฟลเตอร์ชัน



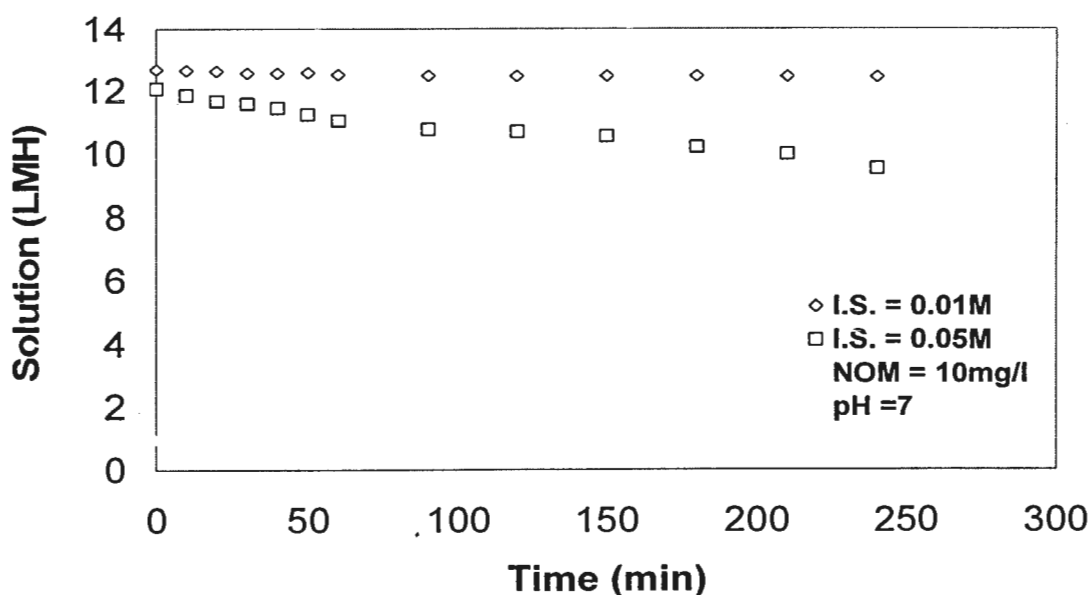
ภาพที่ 4.11 กราฟแสดงการเปรียบเทียบขนาดโนเมเลกุลของสารอินทรีชั้นมากกว่า 100K กับขนาดน้ำดิน

จากราฟภาพที่ 4.11 จะเห็นได้ว่าขนาดโนเมเลกุลของสารอินทรีในช่วงมากกว่า 100K จะมีช่วงความกว้างของ Graf พอติกับเส้นกราฟของน้ำดิน เพราะมีการกระจายตัวของสารอินทรีชั้นมากกว่า 100K ซึ่งสอดคล้องกับค่าบูวีต่อค่าที่ไอซีมีค่าเท่ากับ 1.10 ตามตารางที่ 4.4 และมีค่า M_w/M_n เท่ากับ 21.32 แสดงให้เห็นว่ามีการกระจายตัวของสารอินทรีชั้นมากโดยมีขนาดน้ำดินโนเมเลกุลเฉลี่ยของสารอินทรีมีค่ามากกว่าจำนวน โนเมเลกุลเฉลี่ยมากกว่ามากๆ และมีค่าจำนวน โนเมเลกุลเฉลี่ยเท่ากับ 877 แสดงให้เห็นว่ามีการกระจายตัวมากกว่าช่วงขนาดโนเมเลกุลอื่นๆ ทำให้กราฟมีขนาดกว้างและมีการกระจายมากกว่าช่วงขนาดโนเมเลกุลอื่นๆ ซึ่งจะพบว่าส่วนที่มีโนเมเลกุลขนาดใหญ่ของน้ำดินนั้นยังอยู่ในช่วงขนาดโนเมเลกุลสารอินทรีชั้นมาก มีขนาดใหญ่กว่าขนาดครูพรุนของแผ่นเมมเบรนที่ใช้ในการแยกขนาดโนเมเลกุลของสารอินทรีชั้นมากโดยการกรองแบบระบบอัลตราไฟลเตอร์ชัน

4.5 ผลการศึกษาปัจจัยต่างๆ ที่มีอิทธิพลต่อค่าฟลักซ์และความสามารถในการกำจัดสารอินทรีย์ทางธรรมชาติ

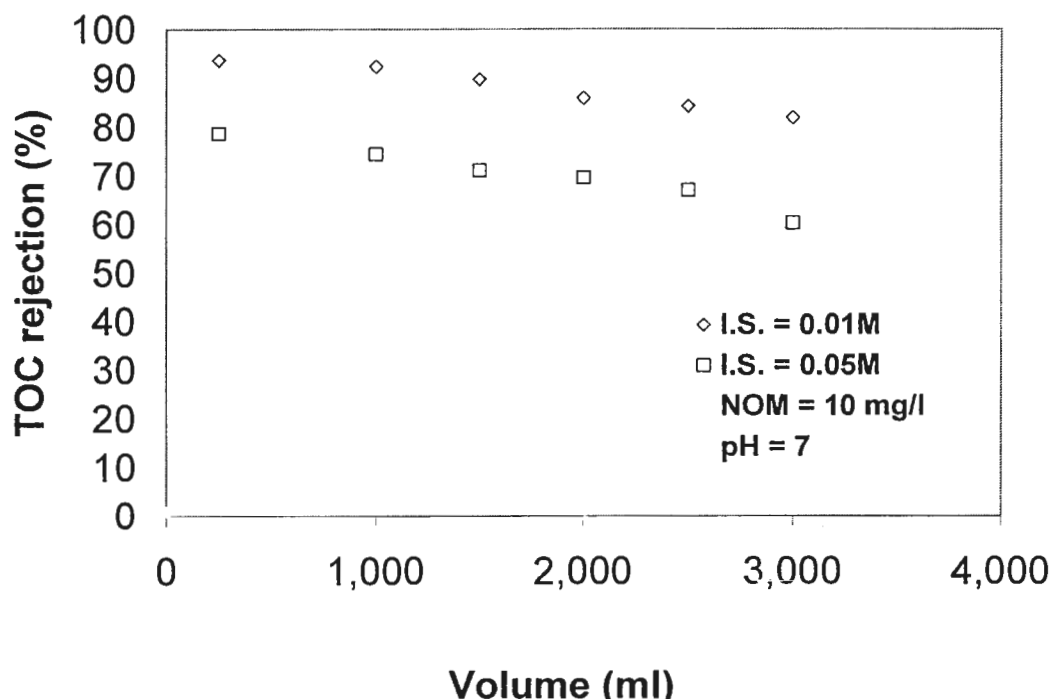
4.5.1 ผลของความแรงประจุ

ในการทดสอบผลของความแรงประจุต่อค่าเพอร์เมอฟลักซ์ โดยทดลองที่ความแรงประจุต่างๆ ซึ่งปรับความแรงประจุด้วยโซเดียมคลอไรด์ ที่มีสารอินทรีย์ทางธรรมชาติ 10 มิลลิกรัมต่อลิตร ผลการทดสอบการลดลงของฟลักซ์ แสดงในภาพที่ 4.12 จากการทดลองพบว่า ค่าความแรงของประจุที่สูงขึ้น มีผลทำให้ค่าฟลักซ์ของเพอร์เมอฟลัคต่ำลง การเพิ่มความแรงประจุเป็นการเพิ่มโซเดียมคลอไรด์ให้มีค่าสูงขึ้น อาจทำให้สารอินทรีย์ธรรมชาติมีขนาดเล็กลง เพราะความแรงของประจุจะทำให้โครงสร้างสารอินทรีย์ธรรมชาติเกิดการขาดตัวทำให้เกิดการอุดตันที่บริเวณผิวน้ำและรูของเยื่อกรองแบบอัลตราไฟลเตอร์ชัน ความเข้มข้นของเกลือที่เพิ่มขึ้น มีผลทำให้แรงดันอostenic มีค่าสูงขึ้น แต่เนื่องจากระหว่างการทดลองมีการควบคุมความดันให้มีค่าคงที่ตลอด จึงทำให้ผลต่างของแรงดันที่จะเอาชนะแรงดันอostenic ที่เกิดขึ้นในระบบมีค่าต่ำลง เป็นผลให้ฟลักซ์ของน้ำเพอร์เมอฟลัคที่ได้มีค่าที่ลดลง โดยปรากฏการณ์ดังกล่าวสามารถอธิบายได้โดยความสัมพันธ์ของ Londale ซึ่งมีสมการเป็นดังนี้ $J_v = L_p (\Delta P - \Delta \pi)$ โดยที่ J_v คือ ฟลักซ์ของน้ำที่ได้ ($L/m^2 \cdot hr$), L_p คือ ค่าคงตัวการไหลของน้ำ ($L/(m^2 \cdot hr \cdot kPa)$), ΔP คือ แรงดันน้ำ (kPa) และ $\Delta \pi$ คือ แรงดันอostenic (kPa)

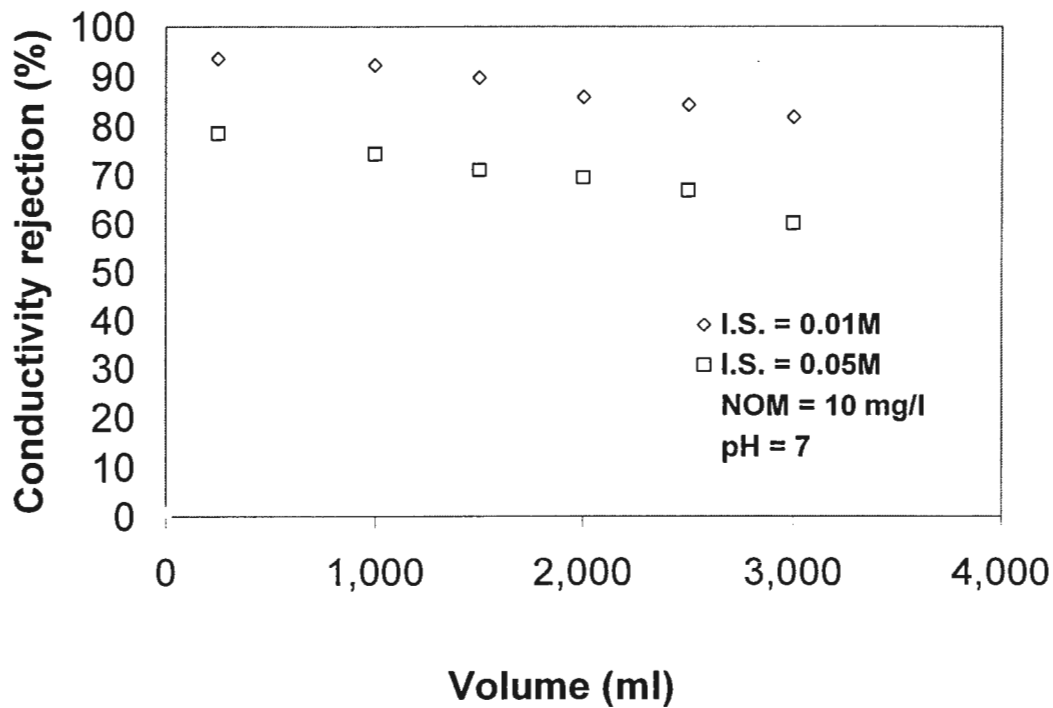


ภาพที่ 4.12 ผลของความแรงประจุที่มีต่อการลดลงของฟลักซ์

ความสามารถในการกำจัดสารอินทรีย์ธรรมชาติของเยื่อกรองแบบอัลตราฟิลเตอร์ชันที่ทดลองเพิ่มความแรงประจุเป็น 0.01 กับ 0.05 มิลลิโอลิตรปรับด้วยโซเดียมคลอไรด์ แสดงในภาพที่ 4.13 พนวจ ความสามารถในการกำจัดสารอินทรีย์ธรรมชาติของเยื่อกรองแบบอัลตราฟิลเตอร์ชัน มีค่าเบื้องต้นต่อการกำจัดลดลงเมื่อเพิ่มความแรงของประจุหรือเพิ่มความเข้มข้นของโซเดียมคลอไรด์ ทั้งนี้อาจมีสาเหตุมาจากการเกิดชั้นของเกลือที่ผิวของเมมเบรนทำให้เกิดการอุดตันของสารอินทรีย์ธรรมชาติที่สะสมที่ชั้นผิวน้ำของเมมเบรน ซึ่งจะเห็นได้จากกราฟภาพที่ 4.14 และพนวจเบื้องต้นต่อการกำจัดเกลือมีค่าลดลงเมื่อค่าความแรงของประจุนิ่มค่าเพิ่มชั้นทำให้ผ่านรูของเยื่อกรองแบบอัลตราออกมาได้มากขึ้น เมื่อเพิ่มความเข้มข้นของโซเดียมคลอไรด์เข้าสู่ระบบ ดังแสดงในภาพที่ 4.14



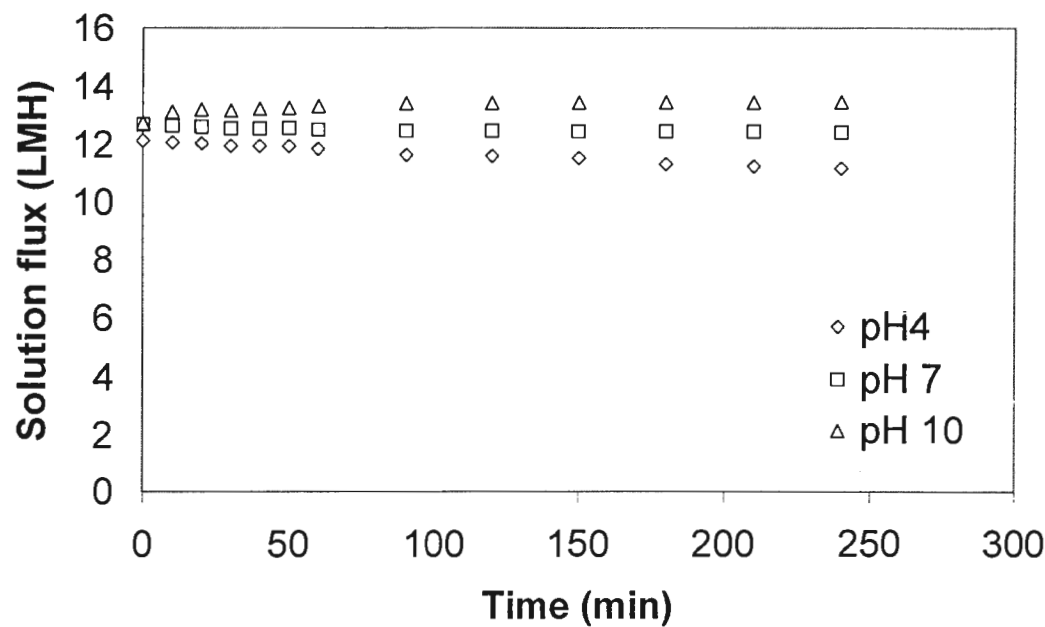
ภาพที่ 4.13 การเปรียบเทียบประสิทธิภาพการกำจัดสารอินทรีย์ของเมมเบรนอัลตราฟิลเตอร์ชัน
ขนาด 1K ที่ความแรงประจุ 0.01 กับความแรงประจุ 0.05



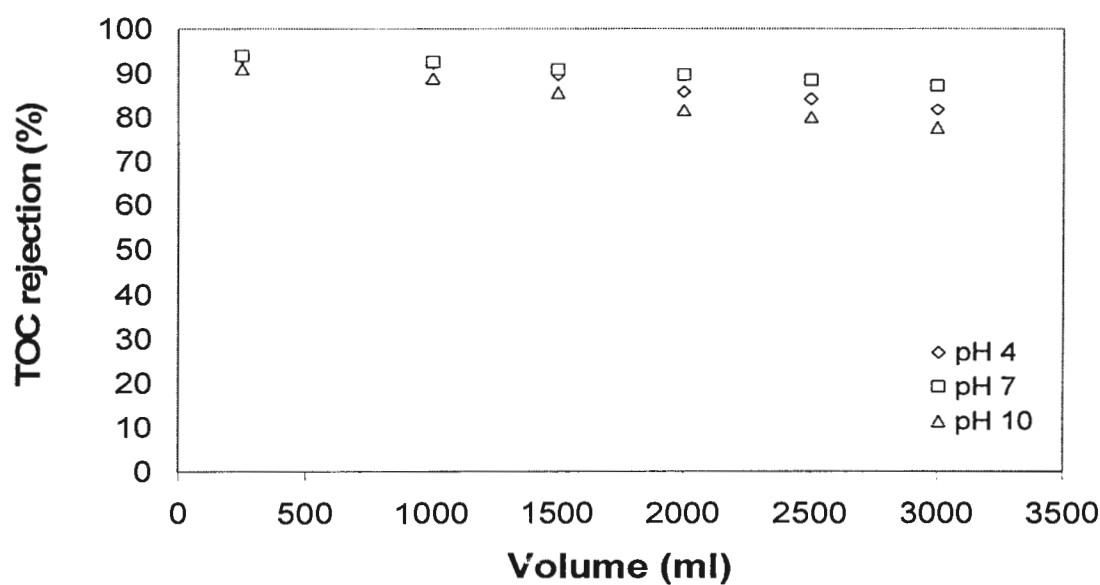
ภาพที่ 4.14 การเปรียบเทียบประสิทธิภาพการกำจัดเกลือของเมมเบรนอัลตราฟิลเตอร์ชั้นนาค 1K
ที่ความแรงประจุ 0.01 กับความแรงประจุ 0.05

4.5.2 ผลของค่าพีอีอช

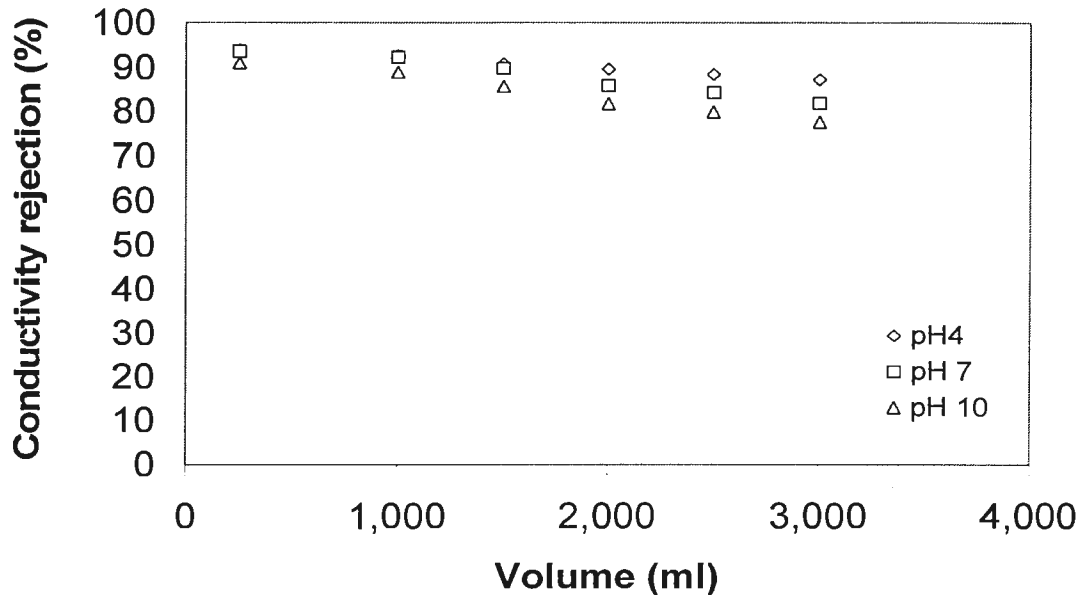
ในการทดลองผลของค่าพีอีอชต่อการลดลงของเพอร์มีเอกฟลักซ์ ใช้สารละลายน้ำมีความเข้มข้นของสารอินทรีย์ทางธรรมชาติ 10 มิลลิกรัมต่อลิตร ปรับพีอีอชเป็น 4, 7 และ 10 ปรับค่าความแรงประจุเป็น 0.01 ไมลต่อลิตรด้วยโซเดียมคลอไรด์ ภาพที่ 4.15 แสดงผลของพีอีอชที่มีต่อการลดลงของฟลักซ์ จากผลการทดลองพบว่า ฟลักซ์ของเพอร์มีเอกของน้ำตัวอย่างที่มีพีอีอชสูงขึ้นจะมีค่าเพิ่มขึ้น ก่าวกือ ที่ค่าพีอีอช 7 และ 10 ค่าฟลักซ์ที่วัดได้มีค่าสูงกว่าที่ค่าพีอีอช 4 ทั้งนี้อาจเป็นผลมาจากการที่พีอีอช 4 มีปริมาณของไฮโครเจนไอออนในน้ำตัวอย่างมีปริมาณสูงกว่าที่พีอีอช 7 และ 10 ซึ่งไฮโครเจนไอออนนี้ มีผลทำให้ไม่เกิดขุลของสารอินทรีย์ธรรมชาติรวมตัวกัน ได้มากขึ้นและทำให้ความหนาของชั้น Double layer ของผิวน้ำเปลี่ยนเพิ่มขึ้น เป็นผลให้เกิดการซึมผ่านออกมาน้ำได้มากกว่าและความเข้มข้นของโซเดียมคลอไรด์ที่ปริมาณผิวน้ำของเปลี่ยนจึงมีความเข้มข้นมากกว่าที่พีอีอช 7 และ 10 จึงทำให้น้ำสามารถซึมผ่านได้ด้วยอัตราที่น้อยกว่า



ภาพที่ 4.15 ผลของพีเอชที่มีต่อการ漉คลองของفلักซ์



ภาพที่ 4.16 ค่าการกำจัดสารอินทรีย์ธรรมชาติที่ pH 4, 7 และ 10



ภาพที่ 4.17 ค่าการกำจัดเกลือที่ pH 4, 7 และ 10

สำหรับความสามารถในการกำจัดสารอินทรีย์ธรรมชาติของสารละลายที่มีค่าพีเอช 4 7 และ 10 ภาพที่ 4.16 แสดงผลของค่าการกำจัดสารอินทรีย์ทางธรรมชาติของสารตัวอย่างโดยพิจารณาจากค่า TOC ที่ความแรงประจุ 0.01 ไมลิตอร์ ผลของค่าการกำจัดสารอินทรีย์ธรรมชาติค่าพีเอช ที่เพิ่มขึ้นจะทำให้ความสามารถในการกำจัดสารอินทรีย์ทางธรรมชาติลดลง เนื่องจากการที่สารอินทรีย์ธรรมชาติมีค่าเป็นประจุลบ เกิดแรงผลักกันเกิดช่องว่างระหว่างชั้นกับผิวของเมมเบรน ทำให้เกิดการสะสมของชั้นเกลือ ซึ่งดูได้จากการกำจัดเกลือที่มีค่าลดลงทำให้ประจุลบของสารอินทรีย์ธรรมชาติเกิดติดกับชั้นเกลือ ทำให้เกิดการอุดตันที่บนพื้นผิวของเมมเบรนเมื่อค่าพีเอชเพิ่ม ทำให้มีบางส่วนของสารอินทรีย์ธรรมชาติที่ติดบนผิวเมมเบรนผ่านรูเข้ากรองแบบอัลตราฟิลเตอร์ชันออกมากขึ้น และพบว่าค่าเบอร์เซ่นต์การกำจัดเกลือมีค่าลดลงเมื่อพีเอชมีค่าเพิ่มขึ้น ดังแสดงภาพที่ 4.17 จากผลการทดลองดังกล่าว เห็นว่าพีเอชที่เพิ่มมีผลต่อการกำจัดสารอินทรีย์

บทที่ 5

สรุปผลการวิจัยและข้อเสนอแนะ

5.1 สรุปผลการวิจัย

จากการทดลองเพื่อศึกษาการแยกขนาดไมเลกุลของสารอินทรีชั้นต่ำโดยใช้เยื่อกรองอัลตราฟิลเตอร์ชั้นและศึกษาประสิทธิภาพในการกำจัดสารอินทรีชั้นต่ำของเยื่อกรองแบบอัลตราฟิลเตอร์ชั้นที่ทำในงานวิจัยนี้สามารถสรุปผลการทดลองได้ดังต่อไปนี้

1) สามารถแยกขนาดไมเลกุลของสารอินทรีชั้นต่ำได้ในช่วงขนาดไมเลกุลต่างดังนี้คือ น้อยกว่า 1K, ในช่วง 1K-3K, ในช่วง 3K-5K, ในช่วง 5K-10K, ในช่วง 10K-30K, ในช่วง 30K-100K และ ขนาดใหญ่กว่า 100K โดยพบว่าตัวอย่างจากแหล่งน้ำที่ใช้ในการทำวิจัยครั้งนี้ขนาดของสารอินทรีชั้นต่ำที่พบมากที่สุดคือไมเลกุลที่มีขนาดใหญ่กว่า 100K มีปริมาณเปลี่ยนตัวลงของสารอินทรีค่ารับอนร่องลงมาประมาณ 18.2 เปอร์เซ็นต์และขนาดไมเลกุลของสารอินทรีชั้นต่ำ 30K-100K, 10K-30K, 5K-10K, 1K-3K และ 3K-5K มีปริมาณมีเปลี่ยนตัวลงของสารอินทรีค่ารับอนน้อยลงตามลำดับ โดยมีค่าประมาณ 10.9, 9, 7.2, 5.6 และ 4.7 เปอร์เซ็นต์ตามลำดับ

2) ผลของค่าบูร์ต่อค่าที่โอดีพบว่าช่วงขนาดไมเลกุลมากกว่า 100K มีค่ามากที่สุดมีค่าเท่ากับ 0.1102 รองลงมาได้แก่ช่วงขนาด 30K-100K, 10K-30K, 5K-10K, 3K-5K, 1K-3K และน้อยกว่า 1K มีค่าเท่ากับ 0.0102, 0.0099, 0.0099, 0.0097, 0.0081 และ 0.0074 ตามลำดับ ซึ่งการกระจายตัวของขนาดไมเลกุลของสารอินทรีชั้นต่ำจะมีค่ามากขึ้นตามค่าของบูร์ต่อค่าที่โอดี

3) ผลของค่าพีเอชของน้ำในช่วง 4 - 10 พบว่าประสิทธิภาพในการกำจัดค่า TOC มีค่าลดลงเมื่อพีเอชน้อยกว่าเพิ่มขึ้น โดยที่ค่าเปลี่ยนตัวการกำจัดที่พีเอช 4 มีค่ามากที่สุดรองลงมาคือที่พีเอช 7 และ 10 ตามลำดับและค่าฟลักซ์ของน้ำ Permeate ที่พีเอช 10 จะมีค่ามากที่สุดรองลงมาคือพีเอช 7 และ 4 ตามลำดับแต่ไม่ต่างกันมากนักซึ่งแสดงให้เห็นว่ากลไกการกรองติดผิวนเมมเบรนคือกลไกหลักในการกำจัดสารอินทรีชั้นต่ำของเยื่อกรองอัลตราฟิลเตอร์ชั้นเนื่องจากเมื่อพีเอชน้อยกว่าเพิ่มขึ้น จะทำให้สารอินทรีชั้นต่ำมีขนาดเล็กลง และทำให้สารอินทรีชั้นต่ำมีความสามารถในการละลายที่มากขึ้นทำให้สารอินทรีชั้นต่ำสามารถแพร่ผ่านเมมเบรนได้มากขึ้น ในขณะที่พีเอชต่ำลงประสิทธิภาพที่ผิวนเมมเบรนจะมีค่าน้อยลงด้วย ส่งผลให้อ่อนต่างๆ สามารถแพร่ผ่านเมมเบรนได้มากขึ้นด้วย

4) ผลของค่าความแรงของประจุในช่วง 0.01-0.05 โนลของโซเดียมคลอไรด์พบว่า ประสิทธิภาพในการกำจัดค่า TOC มีค่าลดลงเมื่อความแรงของประจุมีค่าเพิ่มขึ้น โดยที่ค่าเบอร์เซ็นต์ การกำจัดที่ความแรงของประจุมีค่า 0.01 จะมีค่ามากกว่าที่ความแรงของประจุ 0.05 โนลของ โซเดียมคลอไรด์เนื่องจากว่าความแรงของประจุจะไปทำให้โครงสร้างโมเลกุลของสารอินทรีย์ ธรรมชาติเกิดการขาดตัวเล็กลงทำให้เกิดการอุดตันที่ผิวของเมมเบรนมากขึ้นซึ่งทำให้โมเลกุลของ สารอินทรีย์ธรรมชาติหลุดผ่านเมมเบรนออกมายได้มากขึ้นทำให้ประสิทธิภาพการกำจัดสารอินทรีย์ ธรรมชาติมีค่าลดลงเมื่อความแรงของประจุมีค่าเพิ่มขึ้นและค่าฟลักซ์ของน้ำ Permeate ที่ความแรง ของประจุ 0.01 โนล โซเดียมคลอไรด์จะมีค่ามากกว่าค่าฟลักซ์ของน้ำ Permeate ที่ความแรงของ ประจุ 0.05 โนล โซเดียมคลอไรด์เนื่องมาจากสาเหตุที่เกิดจากการอุดตันของสารอินทรีย์ธรรมชาติ จะเพิ่มขึ้นเพราะความแรงประจุที่เพิ่มขึ้นทำให้ขนาดโมเลกุลเล็กลงจึงเกิดการอุดตันที่ผิวเมมเบรน ได้มากขึ้นดังนั้นจึงทำให้ค่า ฟลักซ์ของน้ำ Permeate ให้ผลผ่านเยื่อกรองเมมเบรนได้น้อยลง

5.2 ข้อเสนอแนะ

5.2.1 ควรทำการศึกษาคุณสมบัติของสารอินทรีย์ธรรมชาติเพิ่มเติมในแต่ละๆ คุณภาพ เนื่องจากว่าขนาดโมเลกุลของสารอินทรีย์ธรรมชาติเกิดจากการย่อยสลายของซากพืชซากสัตว์ที่อยู่ ในแหล่งน้ำและในดินที่อยู่บริเวณใกล้แหล่งน้ำเมื่อถึงฤดูฝนเมื่อฝนตกลงมาก็จะมีการชะล้างดิน บริเวณน้ำลงแหล่งน้ำด้วยทำให้ขนาดโมเลกุลและปริมาณความเข้มข้นของสารอินทรีย์ธรรมชาติ ในแหล่งน้ำนั้นเพิ่มขึ้นด้วยดังนั้นน้ำที่จะทำการศึกษาคุณสมบัติของสารอินทรีย์ธรรมชาติในแต่ละ คุณภาพเพิ่มเติม เนื่องจากขนาดโมเลกุลและปริมาณความเข้มข้นของสารอินทรีย์ธรรมชาติมีผลต่อ ประสิทธิภาพในการกำจัดของเยื่อกรองอัลตราไฟลเตอร์ชั้น

5.2.2 ควรศึกษาถึงคุณลักษณะของเยื่อกรองอัลตราไฟลเตอร์ชั้นชนิดอื่นที่นำมาผลิตใช้ใน การกำจัดสารอินทรีย์ธรรมชาติเพื่อเปรียบเทียบดูว่าเยื่อกรองอัลตราไฟลเตอร์ชั้นชนิดไหนมี ประสิทธิภาพในการกำจัดสารอินทรีย์ธรรมชาติได้ดีกว่ากันเนื่องจากว่าสัดส่วนที่นำมาผลิตเยื่อกรองอัล ตราไฟลเตอร์ที่ต่างชนิดกันถึงแม้ว่าเยื่อกรองอัลตราไฟลเตอร์ชั้นจะมีขนาดครูพูนเท่ากันแต่ประสิทธิภาพในการ กำจัดสารอินทรีย์ธรรมชาตินั้นไม่เท่ากัน เพราะอาจมีความแตกต่างชนิดของประจุที่ผิวน้ำเยื่อ กรองของเมมเบรนแต่ละประเภทจึงทำให้ประสิทธิภาพในการกำจัดสารอินทรีย์ธรรมชาติไม่เท่ากัน

5.2.3 ควรศึกษาประสิทธิภาพในการกำจัดสารอินทรีย์ธรรมชาติโดยกระบวนการกรอง แบบ อัลตราไฟลเตอร์ชั้นในระดับ Pilot scale เนื่องจากว่าการศึกษาในครั้งนี้เป็นการทำในระดับ Lab scale ทำให้สามารถเลือกใช้ค่าสภาวะในการคำนวณระบบที่เหมาะสม ดังนั้นจึงควรทำการศึกษาถึง ประสิทธิภาพของกระบวนการกรองการอัลตราไฟลเตอร์ชั้นในการกำจัดสารอินทรีย์ธรรมชาติออกจากน้ำดิบที่

ใช้ในการผลิตน้ำประปาในระดับ Pilot scale โดยใช้มคุลของเมมเบรนที่เหมาะสมในการผลิตน้ำบริโภค

เอกสารอ้างอิง

เอกสารอ้างอิง

- เกรียงศักดิ์ อุดมสิน ใจน์. 2535. วิศวกรรมประปา. พิมพ์ครั้งที่ 1 : มิตรนราการพิมพ์.
 ปฏิรูป ผลจันทร์. 2544. การกำจัดสารอินทรีย์ธรรมชาติออกจากน้ำโดยใช้กระบวนการ
นาโนฟิลเตอร์ชั้น. เอกสารวิทยานิพนธ์ระดับบัณฑิตศึกษา, มหาวิทยาลัยขุฬาลงกรณ์.
 ปรากรณ์ พาดิสุนทร. 2546. ระบบนาโนฟิลเตอร์ชั้นขนาดทดลองสำหรับการกำจัดสารอินทรีย์
ธรรมชาติในน้ำประปา. เอกสารวิทยานิพนธ์ระดับบัณฑิตศึกษา,
 มหาวิทยาลัยขุฬาลงกรณ์.
- Amy,G.L., Alleman, B.C. , and Cluff, C.B. (1990). Removal of dissolved organic matter by Nanofiltration. Journal of Environment Engineering.. Vol. 116; pp. 200-205.
- Anselme, C. , Mandra, V. , Baudin, I. and Mallevialla, J. (1993). Optimum use of membrane processes in drinking-water Treatment. Water Supply. Vol. 14, Nos.3/4, pp. 473-486.
- Chai, C-F., Lin, T-Y. and Hao, O.J. 2000. Effect of Humic Substances Characteristics on UF Performance. Wat. Res. 34(4) : 1097-1106.
- Christman, R.F. nad Ghassemi, M. (1966). Chemical nature of organic colour in water. Jounal AWWA. Vol. 58 : No. 6 : pp. 723-741.
- Chang, M.R., Amy, G.L. and King, P.H. (2001). Removal of Organic Matter in Water Treatment. J. Environ. Eng. 111(6) : 850-864.
- Costas Pelekani (1999). Characterization of Clean and Natural Organic Matter (NOM) Fouled NF and UF Membranes, and the Foulants Characterization. Desalination. 118 : 101– 108.
- Crozes, G. , White, P. < and Marshall, M. (1995). Enhanced coagulation: its effect on NOM Removal and chemical costs. Journal AWWA. Vol. 87 : NO 1 : pp. 78-89.
- Eaton, A. (1995). Measuring UV-absorbing organics : a standard method. Journal AWWA. Vol. 87 : No. 2 : pp. 86-90.
- Edzwald, J.K. , Becker, W.C. , and watties, K.L. (1985). Surrogate parameters for monitoring organic matter and THM precursors. Journal AWWA. Vol. 77 : N. 4 : pp. 122-132.
- Gassemi, M. and Chirstman, R.F. (1968). Properties of yellow organic acids of natural waters. Limna. Oceanog. Vol. 13 : p. 583.
- Gjessing, E.T. (1996). Humic substance in natural water : Method for separation and Characterization. Preceeding of IPB. Symopsis : Amsterdam : pp. 191.201.

- Goel, S. , Hozalski, R.M. , and Vouwer, E.J. (1995). Biogradation of NOM: effect of NOM source and ozone dose. Journal AWWA. Vol. 87 :No. 1 : pp. 90-105.
- Hanra, A.M. , Allgeier, S.C. , and Summers, R.S. (1996). Assessment of nanofiltration membrane for NOM and bromide removal from surface waters. USA. (Unpublished Manuscript).
- Hassett, J. J. , and Banwart, W. L. (1992). Soils and Their Environment. New Jersey : Prentice-Hall.
- Jacangelo, J.G. , DeMarco, J. , Owen, D.M., and Randtke, S.J. (1995). Selected processes for removing NOM : an overview. Journal AWWA, Vol. 87 : No. 1 : pp. 64-77.
- James kilduff and walter j. webber (1999). "Flux Decline During NanoFiltration of Naturally-Occurring Dissolved Organic Matter Effects of Osmotic Pressure, Membrane Permeability, and Cake Formation." J. Membrane. Sci. 239 : 39-53.
- Kavanaugh, M.C. (1978). Modified coagulation for improved removal of Trihalomethane Precursors. Journal AWWA. Vol. 70 : No. 11 : pp. 613-620.
- Kim, S. and Elimelech, M. (2005). Chemical and Physical Aspects of Natural Organic Matter (NOM) Fouling of Nanofiltration Membranes. J. Membr. Sci. 132 : 159-181.
- Mallevalle, J., Odendaal, P.E., Wiesner, M.R. (1996). Water Treatment Membrane Process. AWWARF, Lyonnaise des Eaux, Water Research Commission of South Africa, New York : McGraw-Hill.
- Marsono, B.D. (1996). Removal of Trihalomethane Precursors by Nanofiltration. Thesis of Master of Engineering, Asian Institute of Technology.
- Najm, I.N. , Patania, N.L. , Jacangelo, J.G. , and Krasner, S.W. (1994). Evaluating surrogates for disinfection by-products. Journal AWWA, Vol. 86 : No. 6 : pp. 98-106.
- Owen, D.M. , Amy G.L. , Chowdhury, Z.K. , Paode, R. McCoy, G. , and Viscosil, K. (1995). NOM characterization and treatability. Journal AWWA, Vol. 87 : No. 1 : pp. 46-63.
- Ripperger,S. Vigneswaran, S. and Ben Aim, R. (eds). (1989). Microfiltration. In : Water, Wastewater and Sludge Filtration. CRC Press, Florida, USA. pp. 173-190.
- Stevenson, F.J. 1982. Humus Chemistry : Genesisl composition. Reactions. New York : Wilery-Interscience.

- Symons, J.M. , Bellar, T.A. , Arswell, K. , Demarco, J. , Kropp, K.L. , Robeck, G.G. , Seeger, D.R. , Slocum, C.J. , Smith, B.L. , and Stevens, A.A. (1975). National Organics Reconnaissance survey for Halogenated organics. Journal AWWA, Vol. 67 : No. 11 : pp. 634-647.
- Tan, L. and Amy, G.L. (1991). Comparing Ozonation and Membrane Separation for Color Removal and Disinfection By Product Control. Journal AWWA, Vol. 83 : No. 5 : pp. 74-79.
- Taylor, J.S. , Thompson, D.M. , and Carswell, J.K. (1987). Applying Membrane Processes to Groundwater Sources for Trihalomethane Precursor Control. Journal AWWA, Vol. 79 : No. 8 : pp. 72-82.
- Zeman, L.J., Zydny, A.L. (1996). Microfiltration and Ultrafiltration : Principles and Applications. : Marcel Dekker.

ภาคผนวก

ភាគី
តារាងនៃការផ្តល់ជំនួយ

ตารางที่ ก.1 ตารางแสดงฟลักซ์ของสารละลายที่มีความเข้มข้นของสารอินทรีย์ธรรมชาติ
มิลลิกรัมต่อลิตร ปรับความแรงประจุ 0.01 โนลต์ต่อลิตรปรับด้วยโซเดียมคลอไรด์
ความดัน 15 psi พีอีช 4 เมมเบรนขนาด 1000 ดอลตัน

เวลา (min)	ปริมาตรตัวอย่างต่อเวลา (ml/min)	ปริมาตรตัวอย่างต่อเวลา (l/hr)	ค่าฟลักซ์ (l/hr/m ²)
0	12.64	0.758100	12.1296
10	12.57	0.753900	12.0624
20	12.53	0.751800	12.0288
30	12.45	0.747000	11.9520
40	12.46	0.747300	11.9568
50	12.43	0.745800	11.9328
60	12.33	0.739800	11.8368
90	12.11	0.726600	11.6256
120	12.07	0.724200	11.5872
150	12.01	0.720300	11.5248
180	11.78	0.706800	11.3088
210	11.71	0.702600	11.2416
240	11.63	0.697800	11.1648

ตารางที่ ก.2 ตารางแสดงผลลัพธ์ของสารละลายที่มีความเข้มข้นของสารอินทรีย์ธรรมชาติ มิลลิกรัมต่อลิตร ปรับความแรงประจุ 0.01 โมลต่อลิตรปรับด้วยโซเดียมคลอไรด์ ความดัน 15 psi พีเอช 7 เมมเบรนขนาด 1000 คอมลตัน

เวลา (min)	ปริมาตรตัวอย่างต่อเวลา (ml/min)	ปริมาตรตัวอย่างต่อเวลา (l/hr)	ค่าฟลักซ์ (l/hr/m ²)
0	13.21	0.792300	12.6768
10	13.17	0.789900	12.6384
20	13.13	0.787800	12.6048
30	13.08	0.784500	12.5520
40	13.07	0.784200	12.5472
50	13.08	0.784800	12.5568
60	13.03	0.781800	12.5088
90	12.99	0.779400	12.4704
120	12.98	0.778800	12.4608
150	12.97	0.778200	12.4512
180	12.98	0.778500	12.4560
210	12.96	0.777600	12.4416
240	12.95	0.776700	12.4272

ตารางที่ ก.3 ตารางแสดงฟลักซ์ของสารละลายที่มีความเข้มข้นของสารอินทรีย์ธรรมชาติ มิลลิกรัมต่อลิตร ปรับความเร่งประจุ 0.01 ไมลต่อลิตรปรับด้วยโซเดียมคลอไรด์ ความดัน 15 psi พีโอช 10 เมมเบรนขนาด 1000 ดอลตัน

เวลา (min)	ปริมาตรตัวอย่างต่อเวลา (ml/min)	ปริมาตรตัวอย่างต่อเวลา (l/hr)	ค่าฟลักซ์ (l/hr/m ²)
0	13.28	0.796800	12.7488
10	13.67	0.820200	13.1232
20	13.74	0.824400	13.1904
30	13.71	0.822600	13.1616
40	13.78	0.826800	13.2288
50	13.82	0.828900	13.2624
60	13.87	0.831900	13.3104
90	13.97	0.838200	13.4112
120	13.98	0.838500	13.4160
150	14.00	0.839700	13.4352
180	14.02	0.841200	13.4592
210	14.01	0.840300	13.4448
240	14.03	0.841800	13.4688

ตารางที่ ก.4 ตารางแสดงฟลักซ์ของสารละลายที่มีความเข้มข้นของสารอินทรีย์ธรรมชาติ มิลลิกรัมต่อลิตร ปรับความแรงประจุ 0.05 ไมลต่อลิตรปรับด้วยโซเดียมคลอไรด์ ความดัน 15 psi พีอีช 7 เมมเบรนขนาด 1000 ดอลตัน

เวลา (min)	ปริมาตรตัวอย่างต่อเวลา (mL/min)	ปริมาตรตัวอย่างต่อเวลา (l/hr)	ค่าฟลักซ์ (l/hr/m ²)
0	12.19	0.731100	11.6976
10	12.11	0.726300	11.6208
20	12.11	0.726600	11.6256
30	12.03	0.721500	11.5440
40	11.92	0.715200	11.4432
50	11.71	0.702600	11.2416
60	11.49	0.689400	11.0304
90	11.22	0.672900	10.7664
120	11.12	0.667200	10.6752
150	10.98	0.658500	10.5360
180	10.62	0.637200	10.1952
210	10.39	0.623400	9.9744
240	9.92	0.595200	9.5232

ภาคผนวก ข
ตารางแสดงความสามารถในการกำจัด
สารอินทรีย์ของเยื่อกรองแบบอัลตรา

ตารางที่ ข.1 ผลการกำจัดของสารละลายน้ำที่มีความเข้มข้นของสารอินทรีย์ทางธรรมชาติ 10 มิลลิกรัมต่อลิตร ความแรงประจุ 0.01 ไมลต่อลิตรปรับด้วยโซเดียมคลอไรด์ เมนเบรนขนาด 1000 ดอลตัน ปรับพีเอชเป็น 4, 7 และ 10

ปริมาณ (ml)	TOC ในน้ำ Permeate (mg/l)			ประสิทธิภาพการกำจัด NOM (%)		
	pH = 4	pH = 7	pH = 10	pH = 4	pH = 7	pH = 10
250	0.60	0.64	0.90	94.00	93.60	91.00
1,000	0.74	0.77	1.12	92.60	92.30	88.80
1,500	0.92	1.03	1.44	90.80	89.70	85.60
2,000	1.04	1.42	1.83	89.60	85.80	81.70
2,500	1.16	1.58	2.01	88.40	84.20	79.90
3,000	1.28	1.82	2.24	87.20	81.80	77.60

ตารางที่ ช.2 ผลการกำจัดของสารละลายน้ำที่มีความเข้มข้นของสารอินทรีย์ทางธรรมชาติ 10 มิลลิกรัมต่อลิตร ปรับพีเอชเป็น 4 ความแรงประจุ 0.01 และ 0.05 ไมลต่อลิตรปรับด้วยโซเดียมคลอไรด์ เมมเบรน ขนาด 1000 ดอลตัน

ปริมาตร (ml)	TOC ในน้ำ Permeate (mg/l)		ประสิทธิภาพการกำจัด NOM (%)	
	I = 0.01	I = 0.05	I = 0.01	I = 0.05
250	0.64	2.14	93.60	78.60
1,000	0.77	2.56	92.30	74.40
1,500	1.03	2.89	89.70	71.10
2,000	1.42	3.04	85.80	69.60
2,500	1.58	3.30	84.20	67.00
3,000	1.82	3.97	81.80	60.30

ภาคผนวก ค
ตารางแสดงการดำเนินระบบอัลตรา

ตารางที่ ค.1 ตารางแสดงผลการคำนวณระบบแบบอัตตราสารละลายน้ำที่มีปริมาตรของสารอินทรีย์ธรรมชาติ 10 ลิตร ปรับความแรงประจุ 0.01 ไมล์ต่อลิตรปรับด้วยโซเดียมคลอไรด์ ความดัน 15 psi พีเอช 7 เมมเบรนขนาด 1000 ดอลตัน

ตัวอย่าง	ปริมาตรที่ (ml)	TOC (mg/L)	UV (1/cm)	pH	Conductivity ($\mu\text{S}/\text{cm}$)
Vial 1	250	5.19	0.0453	7.3	338
Vial 2	1,000	5.24	0.0457	7.5	352
Vial 3	2,000	5.93	0.0518	7.6	390
Vial 4	5,000	6.96	0.0607	7.5	450
Vial 5	7,500	7.85	0.0685	7.6	512
Vial 6	8,500	8.31	0.0725	7.4	540
Dial 1	8,750	6.52	0.0574	7.5	430
Dial 2	9,250	5.02	0.0442	7.5	325
Dial 3	9,500	4.59	0.0404	7.4	300
Dial 4	10,000	3.95	0.0345	7.4	260

ตารางที่ ก.2 ตารางแสดงผลการดำเนินระบบแบบอัลตราสารละลายน้ำที่มีปริมาตรของสารอินทรีย์ธรรมชาติ 10 ลิตร ปรับความแรงประจุ 0.01 ไมครอนต่อลิตรปรับด้วยโซเดียมคลอไรด์ ความดัน 15 psi พีเอช 7 เมนเบรนขนาด 3000 ดอลตัน

ตัวอย่าง	ปริมาตรที่ (ml)	TOC (mg/L)	UV (1/cm)	pH	Conductivity ($\mu\text{S}/\text{cm}$)
Vial 1	250	8.07	0.0701	7.4	530
Vial 2	1,000	8.23	0.0718	7.5	536
Vial 3	2,000	9.43	0.0822	7.5	615
Vial 4	5,000	10.01	0.0873	7.5	625
Vial 5	7,500	10.48	0.0912	7.6	680
Vial 6	8,500	10.86	0.0948	7.5	709
Dial 1	8,750	9.87	0.0862	7.4	644
Dial 2	9,250	9.29	0.0811	7.4	610
Dial 3	9,500	8.88	0.0775	7.5	580
Dial 4	10,000	8.41	0.0734	7.4	548

ตารางที่ ก.3 ตารางแสดงผลการดำเนินระบบแบบอัลตราสารละลายน้ำที่มีปริมาตรของสารอินทรีย์ธรรมชาติ 10 ลิตร ปรับความแรงประจุ 0.01 ไมลต่อลิตรปรับด้วยโซเดียมคลอไรด์ ความดัน 15 psi พีเอช 7 เมมเบรนขนาด 5000 ดอลตัน

ตัวอย่าง	ปริมาตรที่ (ml)	TOC (mg/L)	UV (1/cm)	pH	Conductivity ($\mu\text{S}/\text{cm}$)
Vial 1	250	9.58	0.0836	7.4	625
Vial 2	1,000	10.53	0.0919	7.3	686
Vial 3	2,000	11.43	0.0997	7.4	746
Vial 4	5,000	12.43	0.1084	7.4	811
Vial 5	7,500	13.89	0.1211	7.4	906
Vial 6	8,500	14.03	0.1224	7.4	920
Dial 1	8,750	10.95	0.0956	7.3	714
Dial 2	9,250	10.78	0.0941	7.3	704
Dial 3	9,500	10.45	0.0912	7.3	680
Dial 4	10,000	10.18	0.0889	7.3	664

ตารางที่ ก.4 ตารางแสดงผลการดำเนินระบบแบบอัลตราสารละลายน้ำที่มีปริมาตรของสารอินทรีย์ธรรมชาติ 10 ลิตร ปรับความแรงประจุ 0.01 ไมลิตอลิตรปรับด้วยโซเดียมคลอไรด์ ความดัน 15 psi พีเอช 7 เมมเบรนขนาด 10000 ดอลตัน

ตัวอย่าง	ปริมาตรที่ (ml)	TOC (mg/L)	UV (1/cm)	pH	Conductivity ($\mu\text{S}/\text{cm}$)
Vial 1	250	14.58	0.1273	7.6	950
Vial 2	1,000	15.59	0.1361	7.6	1,016
Vial 3	2,000	16.43	0.1434	7.6	1,071
Vial 4	5,000	17.39	0.1518	7.6	1,134
Vial 5	7,500	18.76	0.1637	7.6	1,224
Vial 6	8,500	19.75	0.1741	7.6	1,288
Dial 1	8,750	13.58	0.1185	7.5	880
Dial 2	9,250	13.09	0.1142	7.5	853
Dial 3	9,500	12.58	0.1097	7.5	820
Dial 4	10,000	11.61	0.1013	7.5	757

**ตารางที่ ค.5 ตารางแสดงผลการดำเนินระบบแบบอัลตราสารละลายน้ำที่มีปริมาตรของสารอินทรีย์
ธรรมชาติ 10 ลิตร ปรับความแรงประจุ 0.01 ไมลิตอลิตรปรับด้วยโซเดียมคลอไรด์
ความดัน 15 psi พีเอช 7 เมมเบรนขนาด 30000 ดอลตัน**

ตัวอย่าง	ปริมาตรที่ (ml)	TOC (mg/L)	UV (1/cm)	pH	Conductivity ($\mu\text{S}/\text{cm}$)
Vial 1	250	5.77	0.0504	7.5	376
Vial 2	1,000	7.42	0.0648	7.5	484
Vial 3	2,000	8.93	0.0779	7.4	583
Vial 4	5,000	10.43	0.0909	7.5	680
Vial 5	7,500	11.13	0.0970	7.3	730
Vial 6	8,500	11.95	0.1043	7.4	779
Dial 1	8,750	8.64	0.0751	7.4	563
Dial 2	9,250	8.45	0.0739	7.5	550
Dial 3	9,500	7.99	0.0698	7.4	521
Dial 4	10,000	7.64	0.0657	7.4	498

ตารางที่ ก.6 ตารางแสดงผลการดำเนินระบบแบบอัลตราสารละลายน้ำที่มีปริมาตรของสารอินทรีย์ธรรมชาติ 10 ลิตร ปรับความแรงประจุ 0.01 ไมลิตอลิตรปรับด้วยโซเดียมคลอไรด์ ความคัน 15 psi พีเอช 7 เมนเบรนขนาด 100000 ดอลตัน

ตัวอย่าง	ปริมาตรที่ (ml)	TOC (mg/L)	UV (1/cm)	pH	Conductivity ($\mu\text{S}/\text{cm}$)
Vial 1	250	5.36	0.0468	7.5	349
Vial 2	1,000	5.47	0.0477	7.4	356
Vial 3	2,000	5.93	0.0517	7.4	386
Vial 4	5,000	6.24	0.0544	7.4	407
Vial 5	7,500	6.43	0.0560	7.5	420
Vial 6	8,500	6.61	0.0577	7.4	435
Dial 1	8,750	4.35	0.0380	7.4	285
Dial 2	9,250	4.01	0.0350	7.4	260
Dial 3	9,500	3.78	0.0329	7.4	246
Dial 4	10,000	3.50	0.0305	7.4	228

ภาคผนวก ง

วิธีการเตรียมสารละลายและตัวอย่างการคำนวณ

1. การเตรียมความเข้มข้นของสารอินทรีย์ธรรมชาติ 10 มิลลิกรัมต่อลิตร

ตัวอย่างเช่น การเตรียมตัวอย่างของ NOM 10 mg/L ปรับที่ pH7 และ I.S. 0.01 M as NaCl มีขั้นตอนและวิธีการคำนวณดังนี้

(1) เจือจางสารอินทรีย์ธรรมชาติที่มีความเข้มข้นสูงด้วยน้ำประชาจากไอโอดิน(D.I. Water) โดยที่ความเข้มข้นของ NOM ที่ต้องการ (C_1) = 10 mg/L

ความเข้มข้นของ NOM จากแหล่งน้ำธรรมชาติ (C_2) = 241 mg/L

ปริมาตรของน้ำ D.I. (V_1) = 10 L

ปริมาตรของ NOM จากแหล่งน้ำธรรมชาติที่ต้องการ (V_2)

$$\text{จากสมการ } C_1V_1 = C_2V_2$$

$$\text{จะได้ } V_2 = \frac{C_1V_1}{C_2} = \frac{(10\text{ mg/L}) \times (10\text{ L})}{(241\text{ mg/L})} = 0.414L(414mL)$$

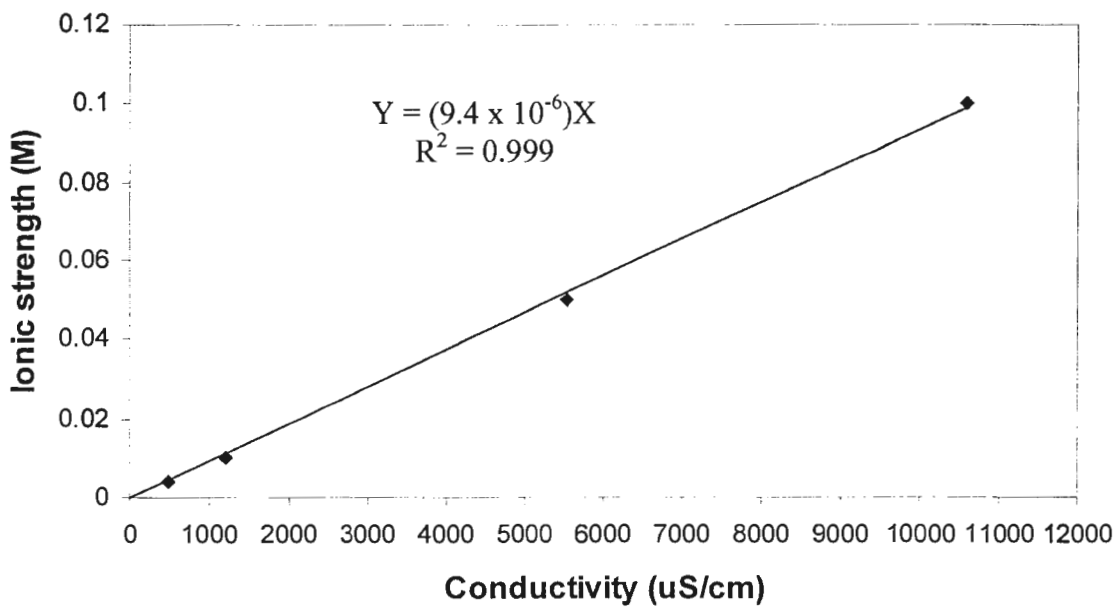
(2) นำน้ำตัวอย่างที่เจือจางในข้อ (1) ไปวัดค่าความนำไฟฟ้า(Conductivity) ซึ่งวัดค่าได้เท่ากับ $625 \mu\text{S.cm}^{-1}$ ที่อุณหภูมิ 26.1°C และทำการคำนวณหาค่าความนำไฟฟ้าที่ 25°C ดังนี้

$$\text{จากสมการ } \text{Conductivity}(25^\circ\text{C}) = \frac{\text{Conductivity}(T)}{(1 + 0.01090(T - 25))}$$

$$= \frac{625 \mu\text{S.cm}^{-1}}{(1 + 0.01909(26.1 - 25))}$$

$$\text{จะได้ } \text{ค่าความนำไฟฟ้าที่ } 25^\circ\text{C} = 612.17 \mu\text{S.cm}^{-1}$$

(3) ทำการคำนวณหาความเข้มข้นของ NaCl ในตัวอย่างน้ำที่มีค่าการนำไฟฟ้า 612.17 $\mu\text{S.cm}^{-1}$ คำนวณให้เป็นโมลต่อลิตร โดยเปรียบเทียบกับกราฟมาตรฐานในภาพที่ ง-1

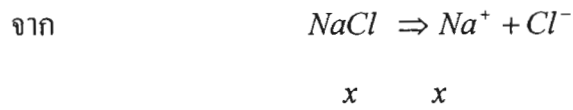


ภาพที่ 1. กราฟมาตรฐานเปรียบเทียบระหว่างค่าความแรงประจุกับค่าการนำไฟฟ้า

สามารถคำนวณได้ดังต่อไปนี้

$$I.S. = (9.4 \times 10^{-6}) \times 612.17$$

$$= 5.75 \times 10^{-3} M$$



จากสมการการคำนวณค่าความแรงประจุ

$$I.S. = \frac{1}{2} \sum Z_i^2 [i]$$

ความเข้มข้นของ NaCl ในตัวอย่างที่เตรียมเท่ากับ 0.00575 M ซึ่งคำนวณได้จาก NaCl standard

ดังนั้นการคำนวณความแรงประจุแสดงได้ดังนี้

$$I.S. = \frac{1}{2} \left\{ (1)^2 [Na^+] + (1)^2 [Cl^-] + 0.00575 + 0.00575 \right\}$$

$$0.01M = \frac{1}{2} \{ x + x + 0.00575 + 0.00575 \}$$

$$x = 0.01 - 0.00575$$

$$x = 4.25 \times 10^{-3} M$$

น้ำหนักของ $NaCl$ ที่จะต้องเติมเพิ่มคำนวณได้ดังนี้

$$X = 4.25 \times 10^{-3} mol/L \times 58.48 g/mol$$

$$X = 0.25 g/L$$

(4) เมื่อเติมสารโซเดียมคลอไรด์ลงในน้ำตัวอย่างแล้วให้ทำการปรับค่าพีเอชให้ได้เท่ากับ 7 และเมื่อศึกษาพีเอชอื่นๆ ก็ทำการปรับพีเอชให้ได้ตามที่เราต้องการศึกษาที่พีเอช 4 และพีเอช 10

(5) การศึกษาผลของความแรงของประจุก์ทำการปรับค่าความแรงประจุตามข้อ (3) ปรับความแรงประจุเป็น 0.05

ประวัติผู้วิจัย

ชื่อ-นามสกุล	นายไชยคณ์ ใจเอ็นดู
วัน เดือน ปีเกิด	1 ตุลาคม 2520
ที่อยู่	171 หมู่ 2 ตำบลผักปัง อำเภอภูเขียว จังหวัดชัยภูมิ 36110 โทร. 044-861472

ประวัติการศึกษา

2542	วิทยาศาสตรบัณฑิต สาขาวิชาเทคโนโลยีชีวภาพ มหาวิทยาลัยขอนแก่น
2548	วิศวกรรมศาสตรบัณฑิต สาขาวิศวกรรมสิ่งแวดล้อม มหาวิทยาลัยอุบลราชธานี